





دانشکده مهندسی برق و رباتیک

رشته مهندسی برق گرایش کنترل

پایان نامه کارشناسی ارشد

کنترل مود لغزشی تطبیقی یک کوادروتور با جرم نامشخص محموله در حضور اغتشاش باد

نگارنده: علی متحدی

استاد راهنما

دکتر علی کبرزاده کلات

شهریور ۱۳۹۵

تقدیر و تشکر

سپاس و ستایش خدای یگانه را که آثار قدرت او بر چهره روز روشن، تابان و انوار حکمت او در دل شب تار، دُرفشان. آفریدگاری که خویشتن را به ما شناساند و درهای علم را بر ما گشود و عمری و فرصتی عطا فرمود تا بدان، بنده ضعیف خویش را در طریق علم و معرفت بیازماید. از پدر و مادر مهربان و دلسوزم که لحظه لحظه زندگی خود را بی هیچ چشمداشتی وقف فرزندانشان کرده‌اند تشکر می‌کنم. پدر و مادری که دعا خیرشان همواره محافظ و پشتیبان اینجانب در مسیر سخت زندگی است. از همسر مهربانم که همیشه در سختی‌های زندگی در کنار من بوده و هست کمال تشکر و سپاسگذاری را دارم. امید که در آینده‌ای نزدیک پاسخگوی این همه محبت آنان باشم. از جناب آقای دکتر علی اکبرزاده کلات به خاطر راهنمایی‌های شایسته ایشان در تهیه و تدوین این مجموعه بسیار متشکرم. از جناب آقای دکتر فاتح و دکتر مهدیزاده که زحمت داوری این پایان‌نامه را متقبل شده‌اند سپاس گذارم. همچنین از تمام معلمان و اساتید بزرگواری که در طی سال‌های گذشته اینجانب را یاری کرده و علم و معرفت را به من آموختند سپاسگزارم، امید که در پناه خداوند منان ادامه دهنده راه آنان باشم.

چکیده

در این پایان نامه، یک کوادروتور بدون سرنشین با استفاده از روش نیوتن اویلر مدل سازی و یک سیستم در این پایان نامه، یک کوادروتور بدون سرنشین با استفاده از روش نیوتن اویلر مدل سازی و یک سیستم کنترل ردگیری مقاوم تطبیقی برای آن طراحی شده است. کوادروتور یک وسیله با شش درجه آزادی و چهار عملگر می باشد و در دسته سیستم های کم عملگر قرار می گیرد. کنترل کننده پیشنهادی در این پایان نامه شامل دو حلقه کنترل داخلی و خارجی است. حلقه داخلی زوایای اویلر را کنترل می کند و حلقه خارجی مربوط به کنترل موقعیت کوادروتور و محاسبه زوایای مطلوب برای ردگیری مسیر مرجع است ابتدا با استفاده از روش خطی سازی پسخورد کنترل کننده ای برای حلقه های داخلی و خارجی طراحی می شود، از آنجاییکه مدل سیستم غیرخطی، ناپایدار و همراه با اغتشاش می باشد، به منظور پایداری و ردگیری مناسب نیازمند طراحی یک سیستم کنترل مقاوم است. این سیستم باید توانایی حفظ تعادل کوادروتور در حضور اغتشاش و نیروهای آیرودینامیکی نامطلوب را داشته باشد. در این پژوهش با بکارگیری روش مد لغزشی تطبیقی، کنترل کننده ای طراحی شده است که نیاز به معلوم بودن محدوده عدم قطعیت ندارد و حد بالای اندازه آن به صورت یک عدد اسکالر تخمین زده می شود. جهت جلوگیری از واگرایی پارامترها در قوانین تطبیق از روش اصلاحی سیگما استفاده شده است و بعلاوه بمنظور عملکرد مناسب سیستم در بار محموله های متفاوت، جرم کل مجموعه نیز بصورت تطبیقی تخمین زده میشود. طراحی کنترل بر اساس تئوری پایداری لیپانوف انجام شده و پایداری مقاوم سیستم در حضور اغتشاش نشان داده شده است.

کلمات کلیدی: کنترل لغزشی ، قانون تطبیق ، کوادروتور، زوایای اویلر

فهرست مطالب

فصل ۱ آشنایی با کوادروتور.....	۱
مقدمه	۲
۱-۱ آشنایی با وسایل پروازی بدون سرنشین.....	۳
۲-۱ طبقه بندی وسایل پرنده بدون سرنشین	۴
۳-۱ هواپیماهای بدون سرنشین بال چرخان	۵
۴-۱ کوادروتور	۶
۵-۱ اجزای سخت افزاری کوادروتورها	۸
۶-۱ تاریخچه	۱۰
۷-۱ مروری بر کارها و تحقیقات گذشته	۱۲
۸-۱ مروری بر فصل های پایان نامه	۱۵
فصل ۲ مدل سازی کوادروتور.....	۱۷
مقدمه	۱۸
۲-۱ توصیف کوادروتور	۱۸
۲-۲ سینماتیک	۲۲
۱-۲-۲ چارچوب مرجع ثابت زمین	۲۲
۲-۲-۲ چارچوب مرجع ثابت بدنه	۲۲
۳-۲ نیروها و گشتاورهای اعمالی به کوادروتور	۲۵
۱-۳-۲ نیرو و گشتاور تولید شده توسط هر گردنده	۲۵
۲-۳-۲ نیروی گرانشی	۲۷
۳-۳-۲ نیرو و گشتاور اصطکاک آیرودینامیکی	۲۸

۲۸.....	۲-۳-۴ گشتاور ژيروسکوپي
۲۹.....	۲-۴ ديناميك
۲۹.....	۲-۴-۱ معادلات انتقالی حرکت
۳۰.....	۲-۴-۲ معادلات حرکت چرخشی
۳۳.....	۲-۴-۳ انتقال معادلات به دستگاه متصل به زمین
۳۳.....	۲-۴-۳-۱ معادلات ديناميكي حرکت انتقالی
۳۵.....	۲-۴-۳-۲ معادلات ديناميكي حرکت چرخشی
۳۶.....	۲-۴-۴ تقريب زاويه کوچک
۳۷.....	فصل ۳ طراحی کنترل کننده
۳۸.....	مقدمه
۴۰.....	۳-۱ بردار ورودی کنترل
۴۰.....	۳-۲ کنترل به روش خطی سازی پسخورد
۴۱.....	۳-۲-۱ کنترل کننده حرکت چرخشی
۴۲.....	۳-۲-۲ کنترل کننده حرکت انتقالی
۴۲.....	۳-۲-۲-۱ روش اول
۴۵.....	۳-۲-۲-۲ روش دوم
۴۸.....	۳-۳ کنترل به روش لغزشی تطبیقی
۴۸.....	۳-۳-۱ کنترل کننده حرکت چرخشی
۵۲.....	۳-۳-۲ کنترل کننده حرکت انتقالی
۵۵.....	۳-۳-۳ بررسی پایداری
۵۷.....	فصل ۴ نتایج و شبیه سازی

مقدمه	۵۸
۱-۴ مدل دینامیکی عملگرها	۵۸
۲-۴ نتایج شبیه‌سازی با استفاده از خطی‌سازی پس‌خورد.....	۵۹
۱-۲-۴ شبیه‌سازی اول	۵۹
۱-۱-۲-۴ تنظیم.....	۵۹
۲-۱-۲-۴ ردگیری.....	۶۱
۲-۲-۴ شبیه‌سازی دوم.....	۶۴
۳-۴ شبیه‌سازی با استفاده از کنترل‌کننده مد لغزشی تطبیقی	۶۷
۴-۴ پارامترهای شبیه‌سازی.....	۷۶
نتیجه‌گیری و پیشنهادات.....	۷۹
مراجع	۸۰

فهرست شکل‌ها

شکل (۱-۱) هواپیمای ساخته شده توسط برادران رایت.....	۳
شکل (۲-۱) انواع هواپیماهای بال چرخان	۶
شکل (۳-۱) جاپروپلن یک	۱۰
شکل (۴-۱) کواد گردنده امیشن.....	۱۱
شکل (۵-۱) کوادروتور جرج دی بوتزارت.....	۱۲
شکل (۱-۲) ساختار یک کوادروتور	۲۰
شکل (۲-۲) نمایش چهار حرکت اصلی کوادروتور	۲۱

- شکل (۳-۲) چارچوب های مرجع ثابت زمین و بدنه ۲۳
- شکل (۴-۲) دورانهای سه گانه حول محورهای اصلی ۲۴
- شکل (۱-۳) بلوک دیاگرام کوادروتور به همراه کنترل کننده ۳۸
- شکل (۲-۳) بلوک دیاگرام مربوط به عملگرها ۳۹
- شکل (۱-۴) بلوک دیاگرام مشتق گیری نرم و هموار ۵۹
- شکل (۲-۴) زوایای اوپلر و ارتفاع به همراه خطای تنظیم با خطی سازی پسخورد ۶۰
- شکل (۳-۴) ورودی های کنترل برای تنظیم $(\varphi, \theta, \psi, z)$ با خطی سازی پسخورد ۶۱
- شکل (۴-۴) سرعت چرخش گردنده ها برای تنظیم $(\varphi, \theta, \psi, z)$ با خطی سازی پسخورد ۶۱
- شکل (۵-۴) زوایای (φ, θ, ψ) و ارتفاع به همراه خطای ردگیری خطی سازی پسخورد ۶۲
- شکل (۶-۴) ورودی های کنترل ردگیری $(\varphi, \theta, \psi, z)$ با خطی سازی پسخورد ۶۳
- شکل (۷-۴) سرعت چرخش گردنده ها در حالت ردگیری $(\varphi, \theta, \psi, z)$ با خطی سازی پسخورد ۶۳
- شکل (۸-۴) موقعیت مکانی و زاویه های کوادروتور در حالت ردگیری با خطی سازی پسخورد ۶۴
- شکل (۹-۴) ورودی های کنترلی (ux, uy) ۶۵
- شکل (۱۰-۴) خطای ردگیری حرکت چرخشی و انتقالی کوادروتور با خطی سازی پسخورد ۶۵
- شکل (۱۱-۴) قوانین کنترل ردگیری با خطی سازی پسخورد ۶۶
- شکل (۱۲-۴) سرعت چرخش گردنده ها در حالت ردگیری با خطی سازی پسخورد ۶۶
- شکل (۱۳-۴) تغییرات سرعت چرخش گردنده ها برای ردگیری ۶۷
- شکل (۱۴-۴) جهت گیری زوایای اوپلر تحت تاثیر اغتشاش با خطی سازی پسخورد ۶۸
- شکل (۱۵-۴) ردگیری زوایای (φ, θ, ψ) و ارتفاع به همراه خطا کنترل کننده لغزشی تطبیقی ۶۹

- شکل (۴-۱۶) قوانین کنترل مربوط به کنترلکننده لغزشی تطبیقی در حضور اغتشاش ۷۰
- شکل (۴-۱۷) سرعت چرخش گردنده‌ها با کنترلکننده لغزشی تطبیقی در حضور اغتشاش ۷۰
- شکل (۴-۱۸) تخمین حد بالای عدم قطعیت ۷۱
- شکل (۴-۱۹) ردگیری مسیر توسط کوادروتور در حضور اغتشاش با استفاده از کنترل کننده لغزشی تطبیقی ۷۲
- شکل (۴-۲۰) خطای ردگیری حرکات چرخشی و انتقالی در حضور اغتشاش با استفاده از کنترل کننده لغزشی تطبیقی ۷۳
- شکل (۴-۲۱) ورودی‌های کنترلی برای حالت ردگیری در حضور اغتشاش با استفاده از کنترل کننده لغزشی تطبیقی ۷۴
- شکل (۴-۲۲) سرعت‌های زاویه‌ای برای حالت ردگیری در حضور اغتشاش با استفاده از کنترل کننده لغزشی تطبیقی ۷۴
- شکل (۴-۲۳) ورودی‌های مجازی (ux, uy, uz) ۷۵
- شکل (۴-۲۴) پارامترهای تخمین زده شده توسط کنترل کننده لغزشی تطبیقی ۷۵

فهرست جداول

- جدول (۴-۱) پارامترهای بکار رفته در خطی ساز پسخورد ۷۶
- جدول (۴-۲) پارامترهای بکار رفته در کنترل کننده لغزشی تطبیقی ۷۷
- جدول (۴-۳) پارامترهای مربوط به شبیه سازی کوادروتور ۷۸

فهرست علائم

Ω_H	سرعت هر گردنده در حالت شناور
Ω_i	سرعت i امین گردنده
C_T	ضریب آیرودینامیکی رانش
C_d	ثابت آیرودینامیکی پسا
I_{XX}	لختی حول محور X
I_{YY}	لختی حول محور Y
I_{ZZ}	لختی حول محور Z
I_r	لختی گردنده‌ها
K_M	ثابت آیرودینامیکی گشتاور چرخشی
K_f	ثابت آیرودینامیکی نیرو
K_r	ماتریس ضرایب چرخشی آیرودینامیکی
K_t	ماتریس ضرایب انتقالی آیرودینامیکی
M_B	گشتاور اعمالی بر کوادروتور در دستگاه بدنه
M_B	گشتاور اعمالی بر کوادروتور در دستگاه بدنه
K_{d1}	ماتریس بهره مشتقی خطی ساز پسخورد حرکت چرخشی
K_{d2}	ماتریس بهره مشتقی خطی ساز پسخورد حرکت انتقالی
K_{p1}	ماتریس بهره تناسبی خطی ساز پسخورد حرکت چرخشی
K_{p2}	ماتریس بهره تناسبی خطی ساز پسخورد حرکت انتقالی
k_{d1}	ماتریس بهره مشتقی حرکت چرخشی
k_{d2}	ماتریس بهره مشتقی حرکت انتقالی
s_1	سطح لغزش حرکت چرخشی
s_2	سطح لغزش حرکت انتقالی
\mathbf{v}	سرعت خطی در دستگاه بدنه
A	مساحت پره‌های گردنده
R	ماتریس دوران
T	ماتریس انتقال
U	بردار ورودی کنترل
g	شتاب گرانشی زمین
l	طول هر بازو تا مرکز

m	وزن کوادروتور
r	شعاع
θ	زاویه فراز
ρ	غلظت هوا
φ	زاویه سمت
ψ	زاویه جهت
η	بردار موقعیت زاویه‌ای
ξ	بردار موقعیت مکانی
ω	نرخ زاویه‌ای بدنه

فصل ۱

آشنایی با کوادروتور

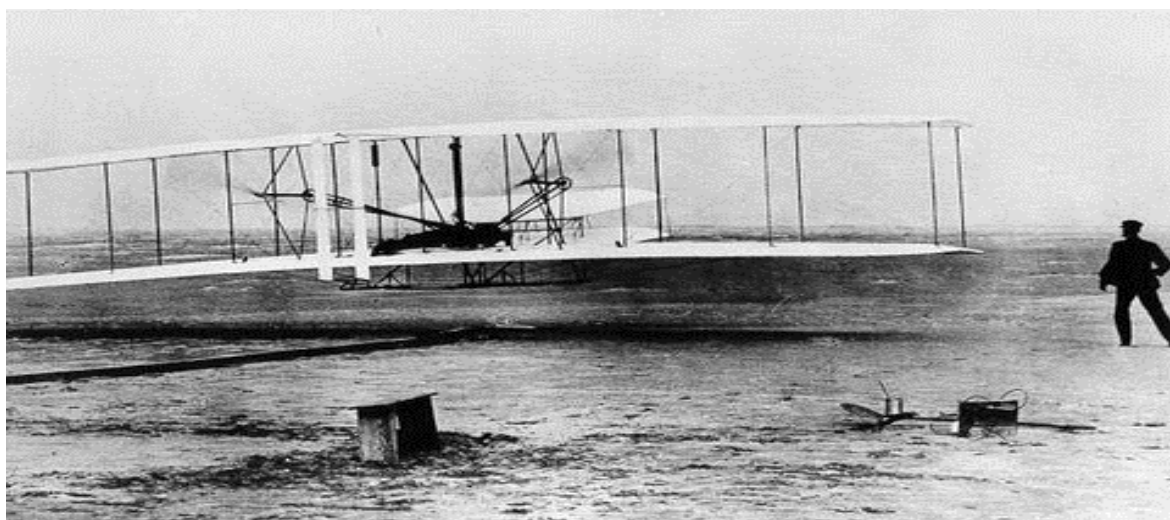
مقدمه:

انسان از همان ابتدا با دیدن پرندگان رویای پرواز را در ذهن خود تداعی کرد و فکر می‌کرد که با تقلید حرکات آنها می‌تواند پرواز کند. در واقع انسان نمی‌دانست که بدن پرندگان از چه مکانیزم پیچیده‌ای بهره می‌برد. آرزوی پرواز چنان ذهن آدمی را به خود درگیر کرده بود که با ورق زدن کتاب تاریخ می‌بینیم که افسانه‌های زیادی در مورد پرواز وجود دارد که یکی از معروف ترین آنها داستان پرواز ایکاروس است. در افسانه‌های یونان باستان آمده است که ایکاروس به همراه پدرش دیدالوس که در جزیره ای زندانی بودند به این فکر افتادند که با پرواز کردن از آنجا فرار کنند. آنها برای این کار بال‌هایی از پر پرندگان ساختند و آنها را با موم به خود چسبانند. ایکاروس که جوانی بی پروا بود توانست تا نزدیک خورشید پرواز کند اما به دلیل گرمای خورشید موم‌ها آب شدند و بال‌ها از او جدا شد و در دریا سقوط کرد.

چنین افسانه‌هایی نشان می‌دهد که دغدغه پرواز در زمان‌های مختلف تاریخ در ذهن انسان بوده است. لئوناردو داوینچی که اغلب او را به خاطر نقاشی‌های مشهورش می‌شناسند. یکی از افرادی است که برای دستیابی به رویای پرواز سختی‌ها و مشقت‌های فراوانی را متحمل شده است. در حقیقت او یک مهندس خلاق بود که طرح‌ها و ایده‌هایش بسیار جلوتر از زمان خود بود. داوینچی اولین کسی است که به ماهیت هوا و آیرودینامیک پی‌برده بود که به واسطه‌ی آن طرح گلایدر، چتر نجات و طرحی همانند هلیکوپتر امروزی را ارائه کرد. بد نیست بدانید که این نابغه ایتالیایی در زمینه‌های دیگر علم نیز دست داشته است که از مهم ترین آنها می‌توان به لباس غواصی، تانک، ربات و غیره اشاره کرد.

از زمانی که اسحاق نیوتن فیزیکدان انگلیسی، نیروی جاذبه را کشف کرد، فکر پرواز و غلبه بر نیروی جاذبه در انسان شدت بیشتری یافت. در طول تاریخ افراد زیادی وجود داشتند که به نوعی توانستند به رویای پرواز دست یابند. اما اولین کسانی که توانستند پرواز را به معنی واقعی خود به انجام برسانند، برادران رایت بودند. در واقع آنها تعمیر کاران دوچرخه بودند که در راه رسیدن به هدف خود با شکست

های بسیاری روبرو شدند، اما این شکست ها باعث نشد که آنها دست از تلاش خود بردارند. آنها با ساخت یک تونل باد مقدار نیروها و تنش های وارد بر جسم پرنده خود را محاسبه کردند و بقیه مسیر را کاملاً حساب شده طی کردند. اوج هنر برادران در به کارگیری موتور گردنده دار برای تولید نیروی جلوبرنده بود که توانستند اولین پرواز کنترل شده و مورد تایید جهان را به نام خود ثبت کنند شکل (۱-۱). برادران رایت توانستند با استفاده از نبوغ و خلاقیت خود در دهم دسامبر ۱۹۰۳ که آرزوی دیرینه بشر را که پرواز بود تحقیق بخشند.



شکل (۱-۱) هواپیمای ساخته شده توسط برادران رایت

۱-۱ آشنایی با وسایل پروازی بدون سرنشین :

در ۲۰ سال گذشته هواپیماهای بدون سرنشین تاثیر بسزایی بر صنعت هوانوردی نهاده اند. عدم نیاز به وجود خلبان در موقعیت های خطرناکی که امکان آسیب دیدن نیروی انسانی وجود دارد، هواپیماهای بدون سرنشین را تبدیل به وسیله ای توانمند کرده است [۱]. وسایل هوایی بدون سرنشین دارای کاربردهای متفاوتی در زمینه های گوناگون نظامی، تجاری، علمی و خدماتی می باشند در حالت کلی کاربردهای این وسایل پروازی به دو گروه نظامی و غیر نظامی تقسیم می گردد :

کاربردهای نظامی :

- شناسایی و گشت هوایی در اطراف مرزها و مواضع دشمن
- حمل تجهیزات و تسلیحات نظامی
- تعقیب هواپیماهای متهاجم

کاربردهای غیر نظامی :

- عکس برداری هوایی و نقشه برداری
- نظارت بر مناطق حساس : سدها ، کانال ها ، خطوط لوله و خطوط فشار قوی برق
- نظارت بر ترافیک
- هواشناسی
- امداد و نجات در زمان وقوع بلایای طبیعی

۱-۲ طبقه بندی وسایل پرنده بدون سرنشین :

هواپیماهای بدون سرنشین را می توان در دسته بندی های گوناگونی از جمله محدوده عملیاتی، پیکره بندی فیزیکی، اندازه و محموله قابل حمل طبقه بندی کرد. اما در این بخش به بررسی پیکره بندی فیزیکی می-پردازیم. این تقسیم بندی دو گروه اصلی را پوشش می دهد [۱] :

الف- هواپیماهای بدون سرنشین بال ثابت :

این وسایل پروازی قابلیت پرواز مستقیم رو به جلو با سرعت بالا را همراه با پایداری بیشتر در زمان پرواز را دارا می باشند.

ب- هواپیماهای بدون سرنشین بال چرخان :

این دسته از وسایل پروازی توانایی ثابت ماندن در یک نقطه خاص از فضا و فرود و صعود عمودی را دارند. سرعت پرواز مستقیم و پایداری کمتری نسبت به بال ثابت دارند.

این تقسیم بندی یکی از عمومی ترین رده بندی ها می باشد، با توجه به اینکه موضوع اصلی این پژوهش پرنده های با بال چرخان می باشد تنها به توضیح این دسته می پردازیم [۲].

۳-۱ هواپیماهای بدون سرنشین بال چرخان :

این دسته از هواپیماهای بدون سرنشین عملیات برخاستن و نشستن را به صورت عمودی انجام می دهند، پس اولین مزیت آنها عدم نیاز به وجود باند فرودگاه طولانی و هموار می باشد ، لذا در مناطقی که محدودیت و پیچیدگی برای حضور وسایل پروازی بال ثابت وجود دارد، کارایی و مانورپذیری بالایی دارند. یکی دیگر از مهمترین مزیت های بال چرخان توانایی شناور ماندن در موقعیتی مشخص در هوا برای عکس گرفتن، نقشه برداری، یا عملیات امداد و نجات می باشد. اما در برابر تمامی این فواید این دسته از هواپیماهای بدون سرنشین دارای معایبی می باشند از جمله سرعت پایین و زمان پروازی کوتاه، نداشتن کارایی آیرودینامیکی موثرتر نسبت به بال ثابت را می توان نام برد. انواع هواپیماهای بدون سرنشین بال چرخان شکل (۳-۱) عبارتند از [۲] :

الف- تک گردنده^۱ :

همان هلیکوپتر معمول است که شامل یک گردنده اصلی در بالا و یکی در قسمت دم برای پایداری می باشد.

ب- هم محور:

این دسته دارای دو گردنده شده بر روی یک محور که در جهت عکس یکدیگر می چرخند می باشد.

ج- چهار گردنده:

دارای چهار گردنده که بر روی یک ساختار شبه صلیب یا به شکل علامت ضرب نصب شده اند. در این بخش تنها به توضیح ساختمان و نحوه کارکرد این دسته از وسایل پروازی بال چرخان پرداخته می شود.

د- چند گردنده:

این دسته از هوابیماهای بال چرخان دارای شش یا هشت گردنده می‌باشند، چابکی در پرواز و حفظ تعادل حتی در زمان از دست دادن یک گردنده از خصوصیات این دسته می‌باشد.



ب- (دو محور)



الف- (تک گردنده)



د- (چهار گردنده)



ج- (چند گردنده)

شکل (۱-۲) انواع هوابیماهای بال چرخان [۲]

۱-۴ کوادروتور^۱

امروزه کوادروتورها یکی از پر کاربردترین وسایل پرنده بدون سرنشین می‌باشند، که به عنوان مثال می‌توان به کاربردهای گسترده تصویر برداری هوایی، نقشه برداری، جاسوسی، تفریحی سایر کاربردها اشاره نمود. با گسترده‌تر شدن روز افزون جلوه‌های بصری در تبلیغات و فیلم‌های سینمایی و تلویزیونی، استفاده از وسایل پرنده و تصویر برداری هوایی بیش از پیش مورد توجه قرار گرفته است. پیش از وجود کوادروتورها به صورت صنعتی از هلیکوپترهای رادیو کنترلی به عنوان وسایلی برای حمل دوربین‌ها و

1- Quadrotor

تجهیزات تصویر برداری استفاده می‌شد. با پیشرفت وسایل پرنده و بوجود آمدن چند گردنده‌ها^۱ این وظیفه به عهده این دستگاه قرار گرفت. کوادروتورها به دلیل داشتن تعادل پروازی بسیار بالا برای این کار مناسب تر هستند. با به وجود آمدن کنترل‌کننده‌های پروازی پیشرفته و تحقیقات صورت گرفته بر روی این کنترل‌کننده‌ها پرواز با کوادروتورها بسیار آسان شده لذا تصویر برداران می‌توانند با تمرکز بیشتر بر تصویر برداری، تصاویر بهتری را تهیه کنند. همچنین با وجود سیستم موقعیت یاب جهانی^۲، پرواز این وسایل به صورت کاملاً امن و هوشمند صورت می‌گیرد. علاوه بر کاربردهای تصویر برداری، کوادروتورها به تازگی یکی از لوازم سرگرمی و تفریحی به حساب می‌آیند. ساختار اصلی کوادروتور که با نامهای دیگری مانند کوادکوپتر^۳ یا بالگرد چهارروتور^۴ شناخته می‌شود به صورت علامت ضرب و با به صورت شبه صلیبی می‌باشد که چهار موتور در چهار گوشه بدنه نصب شده است، در فصل بعد به طور کامل شرح داده می‌شود در این بخش به طور خلاصه به مزایا و معایب کوادروتور نسبت به سایر هواپیماهای بال چرخان پرداخته می‌شود.

• مزایا

۱- ساختار مکانیکی ساده :

برخلاف هلیکوپترهای معمول که برای حرکت طولی و عرضی نیاز به تغییر زاویه گردنده اصلی نسبت به بدنه را دارد، در کوادروتور نیاز به تغییر زاویه گردنده‌ها نیست و تنها با کم و زیاد کردن سرعت گردنده‌ها می‌توان انواع مانورها را انجام داد.

۲- ظرفیت حمل بار بیشتر :

با توجه به اینکه کوادروتور دارای چهار موتور می‌باشد، نیروی بالابر بیشتری نسبت به بال‌گردهای هم-سایز برای حمل بار تولید می‌کند.

1 - Multi rotor

2- GPS

3 Quad copter

4 Four-Rotor Helicopter

۳- کاهش اثرات ژيروسکوپی^۱

در کوادروتور به دلیل اینکه گردنده‌ها دو به دو خلاف جهت یکدیگر می‌چرخند در هنگام تغییر زاویه بدنه اصلی کوادروتور گشتاور ژيروسکوپی ناشی از گردش محور گردنده‌ها تقریباً نزدیک به صفر می‌رسد.

• معایب

۱- وزن بالاتر

به دلیل استفاده از چهار موتور وزن پرنده نسبت به بالگردهای هم سایز بیشتر بوده، با این وجود ظرفیت حمل بار آن نسبت به سایر بالگردها بیشتر است

۲- مصرف توان بیشتر

با توجه به استفاده از چهار عملگر توان مصرفی کوادروتور بسیار بالاتر از انواع دیگر می‌باشد و یکی از مهمترین دلایل عدم استفاده گسترده از این وسیله می‌باشد

۱-۵ اجزای سخت افزاری کوادروتورها :

کنترل پرواز^۲ :

مرکز فرماندهی و قسمت اصلی یک کوادروتور که وظیفه حفظ تعادل و کنترل کوادروتور را دارد. حسگرهای اندازه گیری سرعت و شتاب به این قسمت وارد می‌شوند، و براساس آنها دور مورد نیاز موتورهای توسط پردازنده محاسبه می‌شود.

موتور:

بیشتر کوادروتورهای پیشرفته از موتورهای بدون جاروبک^۳ برای حرکت استفاده می‌کنند. این نوع موتورها بسیار کوچک، سبک و پر قدرت می‌باشند. دلیل این امر هم این است که بخاطر عدم وجود جاروبک یا

1-Gyroscopic Effect

2-Flight Control

3-Brushless motor

همان زغال در این نوع موتورها هم اصطکاک بسیار کم بوده و نیز می‌توان توان و جریان بالایی را به موتور اعمال کرد. این موتورها به دونوع داخل چرخ^۱ (قسمت داخلی موتور می‌چرخد) و خارج چرخ^۲ (قسمت خارجی یا پوسته می‌چرخد) تقسیم بندی می‌شوند که در کوادرتورها بیشتر از نوع خارج چرخ استفاده می‌شود

کنترل سرعت الکترونیکی^۳ (ESC) :

کنترل سرعت وظیفه راه‌اندازی و کنترل سرعت موتورهای بدون جاروبک را با استفاده از روش مدولاسیون پهنای پالس^۴ (PWM) بر عهده دارد. به طوریکه هر موتور دارای یک کنترل سرعت می‌باشد.

گردنده :

در انتخاب گردنده دو فاکتور از بقیه پر اهمیت تر است و آن طول و گام گردنده است که معمولاً به اینچ و به صورت پیوسته بروی گردنده نوشته میشود. برای مثال گردنده ۸*۶ گردنده‌ای است با طول ۸ اینچ و گام ۶ اینچ. گام یا همان میزان پیشروی به میزان پیشروی گردنده در هر دور در واحد اینچ نیز اطلاق می‌شود. البته گردنده‌ها از منظر نوع موادی که در ساخت آن به کار رفته هم به چند دسته تقسیم بندی می‌شوند که از آن جمله می‌توان به گردنده‌های چوبی پلاستیکی و مواد مرکب یا کربنی نیز اشاره کرد.

باتری :

شاید دغدغه اصلی سازندگان وسایل پرنده الکتریکی تامین انرژی این نوع از پرنده ها است. شاید در گذشته‌ای نه چندان دور این امر تا حدودی غیر ممکن می‌نمود اما با ورود و عرضه باتری‌های لیتیوم پلیمر یا همان لیپو دنیای پرنده‌های الکتریکی وارد مرحله جدیدی از زندگی خویش شد. چون باتری‌های لیپو با دارا بودن وزن کم، قدرت زیاد و قدرت تخلیه جریان بسیار بالا میزان ساعت پروازی به مراتب بالاتری را به پرنده می‌دهد.

1-Out Runner
2-In Runner

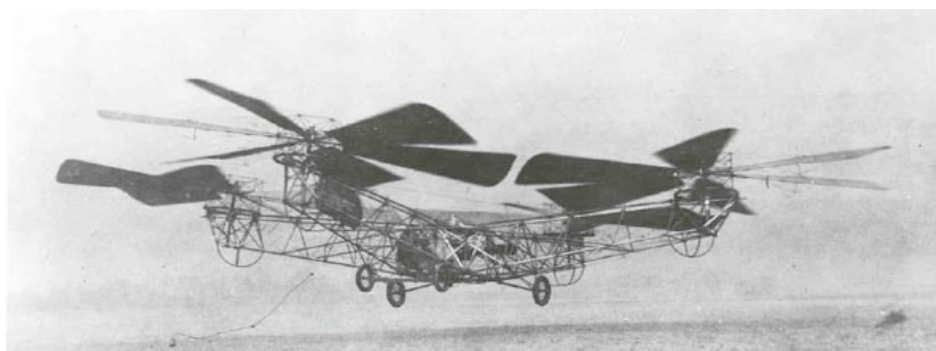
3-Electronic Speed Control
4-Pulse-width modulation

بدنه :

بدنه کوادروتورها اغلب به صورت علامت جمع و یا علامت ضرب می‌باشد. برای ساخت بدنه پرنده می‌توان بیشتر از مواد سبک وزن استفاده کرد، اما در پرنده های حرفه ای تا نیمه حرفه ای اکثرا از الیاف کربن برای ساخت بدنه کوادروتورها استفاده می‌شود، چون الیاف کربن با دارا بودن مقاومت بسیار بالا وزن بسیار کمی را به خود اختصاص می‌دهند .

۱-۶ تاریخچه :

مفهوم کوادروتور مدت زیادی است که شکل گرفته است. در سال ۱۹۰۷ برادران برگویت^۱ اولین نمونه از این وسیله را ساختند که دارای موتوری با ۴۰ اسب بخار بود. اولین کوادروتور ساخته شده توسط آنها که جاپروپلن یک^۲ نامگذاری شد یک نمونه ناموفق بود ساختار آن شامل چهار میله نگهدارنده بود که گردنده ها در انتهای هر یک از این میله ها قرار می‌گرفتند شکل (۱-۴). از تصاویر ثبت شده در زمان پرواز آزمایشی مشخص است که چند نفر از زیر کوادروتور را نگاه می‌داشتند تا تعادل آن را حفظ نمایند. به دلیل عدم پایداری و نداشتن اجزای کنترلی این وسیله در حد یک نمونه آزمایشی باقی ماند [۲].

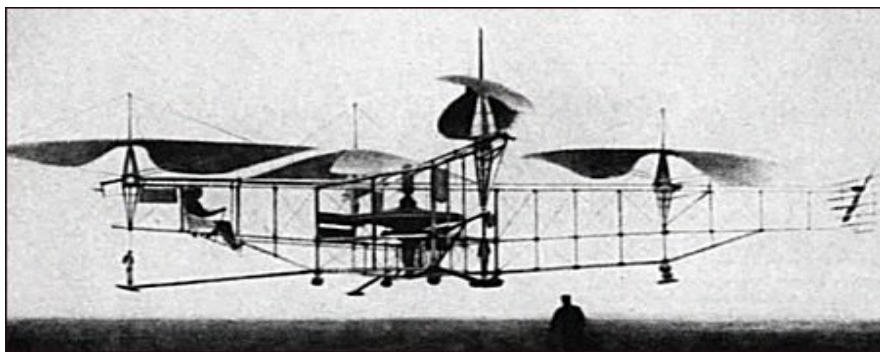


شکل (۱-۳) جاپروپلن یک [۳]

1- Breguet

2- Gyroplane No.1

در سال ۱۹۲۴ امیشن^۱ یک کوادروتور با نام امیشن که در آن از یک بالن هیدروژنی جهت پایداری و تولید نیروی رانش بیشتر استفاده شده بود ساخت. همچنین هشت گردنده اضافی در اطراف کوادروتور به جهت تولید نیروی رانش و ساده تر کردن هدایت این وسیله استفاده کرد شکل (۱-۵). در سال ۱۹۲۴ او به یک پرواز موفق آمیز بدون بالن هیدروژنی دست یافت [۲].

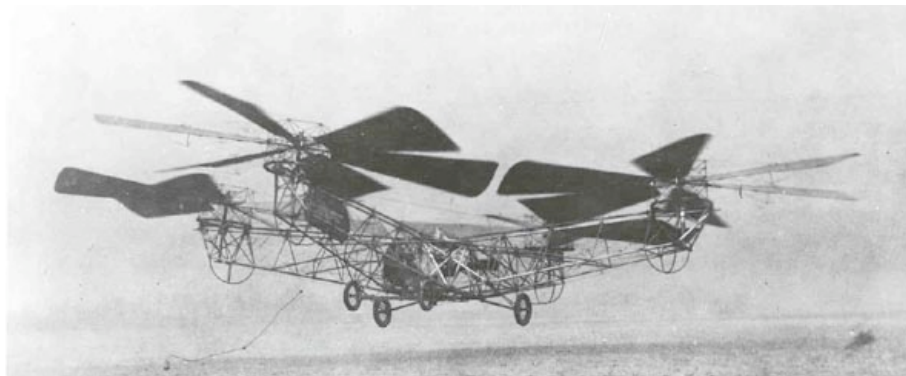


شکل (۱-۴) کواد گردنده امیشن [۳]

اما در سال ۱۹۲۲ جرج دی بوتزارت^۲ در ایالات متحده اولین نوع از بزرگترین بالگردهای زمان خودش را ساخت. این وسیله در واقع یک کوادروتور بود که بدنه آن از یک سازه خربایی ساخته شده بود و سیستم پیشرانیش و گردنده‌ها در انتهای هر یک از چهار سازه اصلی پرنده قرار می‌گرفت. هر گردنده شامل شش پره بود شکل (۱-۶). اولین پرواز موفق این کوادروتور در سال ۱۹۲۲ انجام شد [۱]. اما نمونه‌های با سرنشین ساخته شده دارای معایبی مانند وزن بالا مصرف انرژی و توان زیاد، عدم کارایی بالا و ضعف در تکنولوژی ساخت بودند. به همین دلیل استقبالی برای استفاده و یا ساخت این وسیله نشان داده نشد. تا اینکه در اوایل قرن ۲۱ با توجه به پیشرفت‌های زیادی که در حوزه علم کنترل و فناوری روی داد. ساخت وسایل پروازی کوچک و بدون سرنشین، توجه به این نوع پرنده رو به گسترش نهاد که در ادامه بحث به طور خلاصه به چند نمونه از این کارها اشاره می‌شود.

1- Emichen

2- George de Bothezat



شکل (۵-۱) کوادروتور جرج دی بوتزارت [۳]

جهت کنترل کوادروتور در دهه اول و دوم قرن بیست و یکم پژوهش‌ها و تحقیقات فراوانی در سرتاسر جهان صورت گرفته و انواع مختلفی از این پرنده با ساختار فیزیکی متفاوت در دانشگاه‌های مطرح جهان طراحی و ساخته شده‌اند.

۱- ۷مروری بر کارها و تحقیقات گذشته :

روش‌های کنترلی زیادی جهت کنترل کوادروتور برای ردگیری و تنظیم پیشنهاد شده است. بسیاری از کارهای گذشته در رابطه با کنترل کوادروتور از روش‌های کنترل خطی بوسیله خطی‌سازی دینامیک حول نقاط کار که معمولاً حالت شناور انتخاب می‌شده است، استفاده کرده‌اند. اما افزایش وسعت و محدوده پروازی و عملکرد بهتر پرواز با استفاده از روش‌های کنترل غیرخطی امکان پذیر می‌باشد.

در [۴] با استفاده از دو عدد دوربین که یکی متصل به زمین و دیگری بر روی کوادروتور نصب شده بود، استفاده کرد و با استفاده از تصاویر ارسالی از این دوربین‌ها اقدام به کنترل کوادروتور گردید.

در مرجع [۵] برای اولین بار با استفاده از روش اویلر لاگرانژ^۱ اقدام به مدل‌سازی کوادروتور شد مدل استخراج شده فاقد اثرات آیرودینامیکی و دینامیک عملگرها بود، و تنها پایدارسازی کوادروتور در شرایط شناور در هوا را به همراه کنترل ارتفاع بررسی کرده بود.

1 - Euler-Lagrange

مرجع [۶] با بکارگیری کنترل کننده‌های PID و LQR نسبت به پایدارسازی یک کوادروتور داخلی کوچک برای حالت شناور در هوا پرداخت. کنترل کننده کلاسیک PID برای کنترل موقعیت و دوران یک کوادروتور در مرجع [۷] مورد استفاده قرار گرفت. در [۸] به عنوان یک رساله دکتری کوادروتور به طور کامل مدل‌سازی و با خطی سازی معادلات دینامیکی حول نقطه شناور در هوا اقدام به پایدارسازی کوادروتور با انواع روش‌های کنترل خطی از جمله روش LQR و مقاوم و فیلتر کالمن پرداخت شده است. استفاده از شبکه‌های عصبی در تنظیم کنترل کننده‌های PID در [۹] مورد توجه قرار گرفته است.

خطی سازی پس‌خورد به عنوان یک روش کنترلی جهت تبدیل سیستم غیر خطی به یک سیستم خطی ساده در مراجع [۱۰ و ۱۱] مورد استفاده قرار گرفته است، همچنین در مرجع [۱۲] مقایسه‌ای ما بین خطی سازی پس‌خورد و روش تطبیقی لغزشی انجام داده است.

در مرجع [۱۳] با استفاده از روش کنترلی پس‌گام و بر پایه تئوری پایداری لیاپانوف جهت ردگیری مسیر مرجع برای حرکات چرخشی و انتقالی با تقسیم مدل کوادروتور به سه زیر سیستم زیر تحریک، تحریک کامل و سیستم گردنده‌ها اقدام به کنترل کوادروتور شده است. مرجع [۱۴] با استفاده از کنترل کننده PID برای بدست آوردن زوایای مرجع جهت حرکت انتقالی و از کنترل کننده پس‌گام برای کنترل زوایای سه گانه اویلر استفاده کرده است.

ترکیب روش پس‌گام با روش تطبیقی برای غلبه بر نامعینی‌ها جهت کاهش فراجش پاسخ زمانی سیستم و کاهش خطای ردگیری در [۱۵] بکار رفته است. در [۱۶] با بکارگیری روش پس‌گام و با کمک الگوریتم بهینه سازی PSO در محاسبه ضرایب کنترل کننده یک مسیر مرجع مارپیچ ردگیری شده است. به طوریکه پارامترهای کنترل کننده توسط الگوریتم بهینه سازی به روز رسانی می‌شود دینامیک عملگرها در این پژوهش سریع در نظر گرفته شده و از تاثیر دینامیک عملگرها صرف نظر شده است.

مرجع [۱۷] با استفاده از ترکیب روشهای مد لغزشی و پسگام برای داشتن عملکرد بهتر در حضور اغتشاش از ارائه یک مدل دینامیکی اولیه از کوادروتور به کنترل وضعت چرخشی این وسیله و نگاه داشتن آن در حالت شناور در هوا پرداخت. در این پژوهش جهت پایداری و وضعیت چرخشی پرنده از تئوری پایداری لیاپانوف و برای حفظ تعادل پرنده در حالت شناور از کنترل کننده تناسبی مشتقی استفاده شده است. به دلیل صرف نظر کردن از اثرات ژيروسکوپي و آیرودینامیکی مدل دینامیکی ارائه شده ناقص بوده است. پایداری و وضعیت چرخشی کوادروتور بر پایه بردار زوایای چهارگانه به عنوان روشی جدید در مرجع [۱۸] پیشنهاد شد. در این پژوهش با استخراج کامل معادلات دینامیکی حرکت چرخشی، تنها پایداری و وضعیت حرکت چرخشی کوادروتور مدنظر قرار داده شده و سیستم حرکت انتقالی پرنده در نظر گرفته نشده است. مقادیر اولیه زوایای چرخشی غیر صفر در نظر گرفته شده و کارایی کنترل کننده جهت به صفر رساندن زوایای چرخشی بررسی شده است. در مرجع [۱۹] یک روش تطبیقی با استفاده از تعریف ترکیب خطا و مشتق خطا به صورت یک سطح دینامیکی و تقسیم مدل کوادروتور به دو زیر سیستم زیر تحریک و تحریک کامل و بر پایه تئوری پایداری لیاپانوف نسبت به تطبیق پارامترهای سیستم و ردگیری مسیر ارائه شده است. در مرجع [۲۰] یک روش تطبیقی غیر مرکزی جهت حفظ تعادل و پایداری کوادروتور و در مرجع [۲۱] روش تطبیقی غیرخطی بر پایه پایداری لیاپانوف برای ردگیری مسیر مرجع در حضور نامعینی‌ها و اغتشاش تابع متغیرهای سیستم معرفی شده است. مراجع [۲۲]، [۲۳] و [۲۴] با استفاده از خصوصیات مد لغزشی جهت مقابله با نامعینی‌ها اقدام به کنترل و پایداری کوادروتور نمودند مرجع [۲۵] با استفاده از یک الگوریتم فازی تطبیقی و ترکیب آن با مد لغزشی سعی در کنترل و کاهش خطای ردگیری در برابر اغتشاش و نامعینی‌ها داشته است. روش مد لغزشی و استفاده از خواص شبکه‌های عصبی در [۲۶] مورد استفاده قرار گرفته است. در مرجع [۲۷] با استفاده از روش

LQR قانون کنترل بهینه‌ای جهت کاهش خطای ردگیری و تنظیم ارائه شده است. از کنترل کننده های مقاوم H_∞ به جهت مقاوم بودن در برابر غتشاش در مراجع [۲۸] ، [۲۹] مورد توجه قرار گرفته است.

۸-۱ مروری بر فصل های پایان نامه:

در این پایان نامه در فصل یک به معرفی کوادروتور و کاربردها و همچنین تاریخچه و تحقیقات گذشته به طور مختصر پرداخته شد. در فصل دوم پیکره‌بندی کوادروتور به همراه نحوه حرکت آن و نیروها و گشتاورهای موثر بر حرکت کوادروتور و مدل سازی دینامیکی و سینماتیکی کوادروتور شرح داده شده است. فصل سوم مربوط به طراحی کنترل کننده می‌باشد که قسمت اول آن طراحی کنترل کننده به روش خطی سازی پس‌خورد برای حرکت انتقالی و حرکت چرخشی کوادروتور و قسمت دوم آن مربوط به طراحی روش کنترل مد لغزشی تطبیقی در حضور اغتشاش دینامیک مدل نشده و عدم قطعیت پارامتری است در واقع نوآوری این پایان نامه محاسبه حد بالای بردار عدم قطعیت از روی قانون تطبیق می‌باشد در فصل چهارم نتایج شبیه‌سازی روی کوادروتور با اعمال کنترل کننده‌های طراحی شده در فصل سوم بررسی شده است.

فصل ۲:

مدل سازی کوادروتور

مقدمه :

در این بخش معادله دینامیکی کوادروتور با استفاده از روش نیوتن اویلر^۱ بدست می‌آید. در بخش اول ساختار کوادروتور به همراه سینماتیک و چارچوب‌های مرجع شرح داده می‌شود. در بخش بعد نیروها و گشتاورهای خارجی اعمال شده به بدنه کوادروتور توضیح داده می‌شود، و در نهایت معادله دینامیکی کامل کوادروتور با استفاده از روش نیوتن اویلر استخراج خواهد شد. مدل دینامیکی بدست آمده جهت تست کنترلر طراحی شده در فصل سوم استفاده می‌شود به علاوه معادله دینامیکی غیر خطی استخراج شده برای بدست آوردن قوانین کنترل ساده سازی خواهد شد.

در این فصل فرضیات زیر را جهت یافتن معادله دینامیکی به کار می‌بریم [۳۰]:

(۱) کوادروتور یک جسم صلب^۲ با توزیع جرم متقارن می‌باشد.

(۲) مرکز ثقل و چارچوب متصل به بدنه بر هم منطبق می‌باشند.

(۳) میدان گرانشی زمین (g)، جرم کوادروتور (m) و ماتریس لختی^۳ بدنه کوادروتور (I) ثابت می‌باشند.

(۴) ضرایب نیروی رانش^۴ و گشتاور پسا^۵ موتورها ثابت می‌باشند.

۱-۲ توصیف کوادروتور

همانطور که در فصل قبل گفته شد کوادروتور وسیله‌ای پروازی با بال چرخان دارای ساختاری شبه صلیبی یا به صورت علامت \times می‌باشد، که نیروی رانش آن توسط چهار گردنده که در انتهای هر یک از چهار گوشه آن قرارداد تولید می‌شود. هر کدام از گردنده‌ها شامل موتور، گردنده و دنده‌های کاهش دنده می‌باشند، به علاوه گردنده‌ها به صورت گام ثابت^۶ استفاده می‌شوند، در گردنده‌های با گام ثابت زاویه حمله^۷ گردنده ثابت می‌باشد. نیروی تولید شده توسط هر گردنده متناسب با مجذور سرعت زاویه‌ای است. با

1 Newton euler
2 Rigid body
3 Inertia matrice

4 Trust
5 Drag
6 fixed pitch

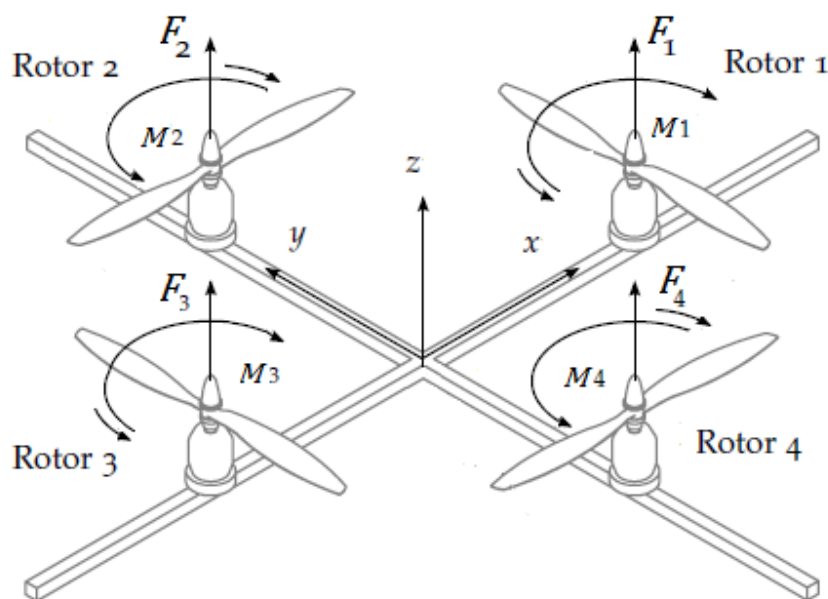
7 Angel of attack

تنظیم ولتاژ و یا از روش PWM می‌توان سرعت هر یک از موتورها را به میزان مورد نیاز کنترل کرد. یکی از مزایای اصلی استفاده از گردنده‌ها با گام ثابت این است که از لحاظ ساختار مکانیکی و آیرودینامیکی^۱ طراحی و عملکرد ساده‌تری دارند، تولید و عیب‌یابی این نوع هزینه بسیار کمتری نسبت به گام متغیر^۲ دارد، ولی از طرفی گردنده‌های با گام متغیر با وجود طراحی پیچیده‌تر مکانیکی و آیرودینامیکی دارای قابلیت مانور دهی بالاتری نسبت به گام ثابت می‌باشند، اما برای کوادروتورهای کوچک می‌توان با وجود گردنده گام ثابت هم قابلیت مانور پذیری مناسبی داشت به این دلیل که کوادروتورهای کوچک دارای لختی کمتری می‌باشند از این رو می‌توانند به میزان سریع تری شتاب بگیرند و انواع ماموریت‌های پروازی را با موفقیت انجام دهند.

برای داشتن نیروی بالابر جریان هوای چهار گردنده به سمت پایین می‌باشد. با تغییر دور این گردنده‌ها می‌توان کنترل و پایداری وسیله را تضمین نمود. شکل (۱-۲) یک طرح ساده از ساختار کوادروتور را نشان می‌دهد. گردنده شماره ۱ و ۳ در جهت حرکت عقربه‌های ساعت و در راستای محور x و گردنده شماره ۲ و ۴ در جهت خلاف حرکت عقربه‌های ساعت و در راستای محور y می‌چرخند. این ساختار به خاطر حفظ تعادل و حذف اثرات نامطلوب گردنده‌ها به صورت دو زوج در نظر گرفته می‌شود، و نیاز به داشتن گردنده دم که در هلیکوپترهای معمول یک قسمت مهم به شمار می‌رود را برطرف می‌سازد. برای شناور^۳ ماندن در هوا و غلبه بر نیروی جاذبه زمین تمامی گردنده‌ها در سرعت ثابت Ω_H می‌چرخند، در نتیجه کوادروتور پرواز ساکن را بدون برهم خوردن وضعیتش حفظ می‌کند. [۳۱]

1 - Aerodynamic
2- Variable pitch

3- Hover



شکل (۱-۲) ساختار یک کوادروتور

هر گردنده همراه با سه پیکان نمایش داده شده است، پیکان منحنی بزرگ نشان دهنده جهت چرخش، پیکانی که سمت بالا را نشان می‌دهد، معرف نیروی تولید شده و پیکان منحنی کوچکتر معرف جهت گشتاور پسای تولید شده توسط هر گردنده است. [۳۲]

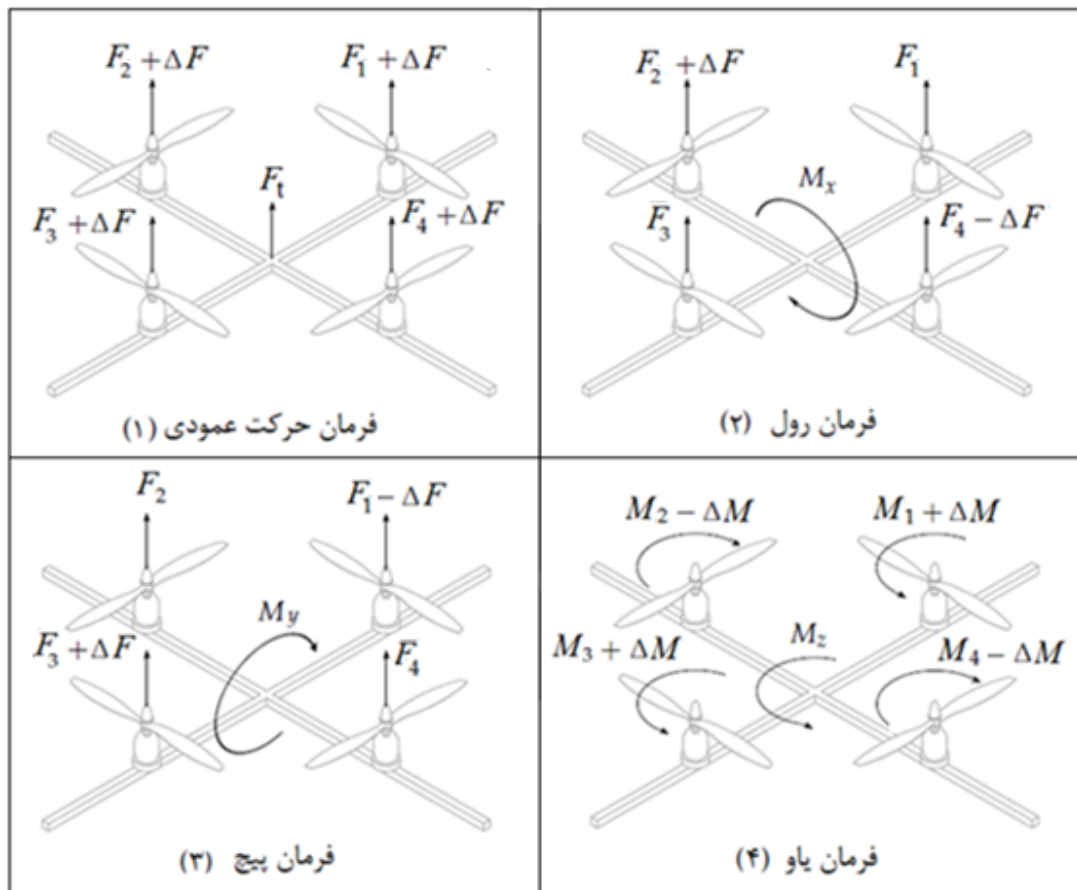
به طوری که :

$$M_i, F_i \propto \Omega_i^2 \quad (۲-۱)$$

کوادروتور وسیله‌ای با شش درجه آزادی حرکت شامل سه حرکت چرخشی و سه حرکت انتقالی می‌باشد، از آنجا که تنها چهار عملگر در دسترس می‌باشد، حداکثر امکان کنترل چهار درجه آزادی به طور مستقیم وجود دارد و کنترل دو درجه آزادی دیگر به صورت غیر مستقیم است. چهار متغیر در دسترس شامل حرکت عمودی کوادروتور و چرخش حول محورهای x ، y ، z هستند. در شکل (۲-۲) حرکت‌های اصلی کوادروتور نمایش داده شده است. در صورتی که نیروی تولید شده توسط گردنده‌ها برابر باشند. اگر نیروی هر گردنده به اندازه ΔF افزایش پیدا کند تا جایی که برآیند نیروی تولید شده کل بر نیروی وزن

کوادروتور غلبه کند، کوادروتور به سمت بالا حرکت می‌کند و اگر نیروی تولید شده توسط گردنده‌ها به

اندازه ΔF کاهش یابد کوادروتور شروع به کم کردن ارتفاع می‌کند. [۳۱]



شکل (۲-۲) نمایش چهار حرکت اصلی کوادروتور

گشتاورهای چرخشی M_x ، M_y و M_z باعث چرخش کوادروتور حول محورهای سه گانه می‌شوند اگر نیروی گردنده ۱ به اندازه ΔF کاهش و نیروی تولیدی گردنده ۳ به اندازه ΔF افزایش یابد و نیروی گردنده‌های ۲ و ۴ بدون تغییر و برابر با هم باشند (M_x حرکت چرخش^۱) و اگر نیروی گردنده ۲ به اندازه ΔF کاهش و نیروی تولیدی گردنده ۴ به اندازه ΔF افزایش یابد و نیروی گردنده‌های ۱ و ۳ بدون تغییر و

^۱ Pitch

برابر با هم باشند M_y (حرکت فراز^۱) و در نهایت اگر گشتاور پسا گردنده‌های ۱ و ۳ به اندازه ΔM کاهش و گشتاور پسا گردنده‌های ۲ و ۴ به اندازه ΔM افزایش یابد M_z (حرکت سمت) تولید می‌شود. [۳۰]

۲-۲ سینماتیک :

سینماتیک شاخه‌ای از علم مکانیک می‌باشد، که به مطالعه و بررسی حرکت یک جسم و یا سیستمی متشکل از چند جسم بدون در نظر گرفتن نیرو و گشتاور اعمالی به آن جسم یا سیستم می‌پردازد، برای توصیف حرکت یک جسم صلب با شش درجه آزادی معمولاً دو چارچوب مرجع تعریف می‌شود [۳۲]، که در شکل (۲-۳) قابل مشاهده است

۱-۲-۲ چارچوب مرجع ثابت زمین ($E-frame$) :

چارچوب مرجع ثابت زمین بر روی مکانی مشخص بر روی سطح زمین در نظر گرفته می‌شود. ناظر در این چارچوب قرار دارد و حرکت جسم را می‌سنجد. در این دستگاه صفحه xy در راستای افق و محور z در راستای عمود بر آن و در خلاف جاذبه زمین قرار می‌گیرد موقعیت خطی $\xi[m]$ و زاویه‌ای $\eta[rad]$ در این چارچوب تعریف می‌شوند. [۳۱]

$$\eta = [\varphi \quad \theta \quad \psi]^T$$

$$\xi = [x \quad y \quad z]^T$$

۲-۲-۲ چارچوب مرجع ثابت بدنه ($B-frame$) :

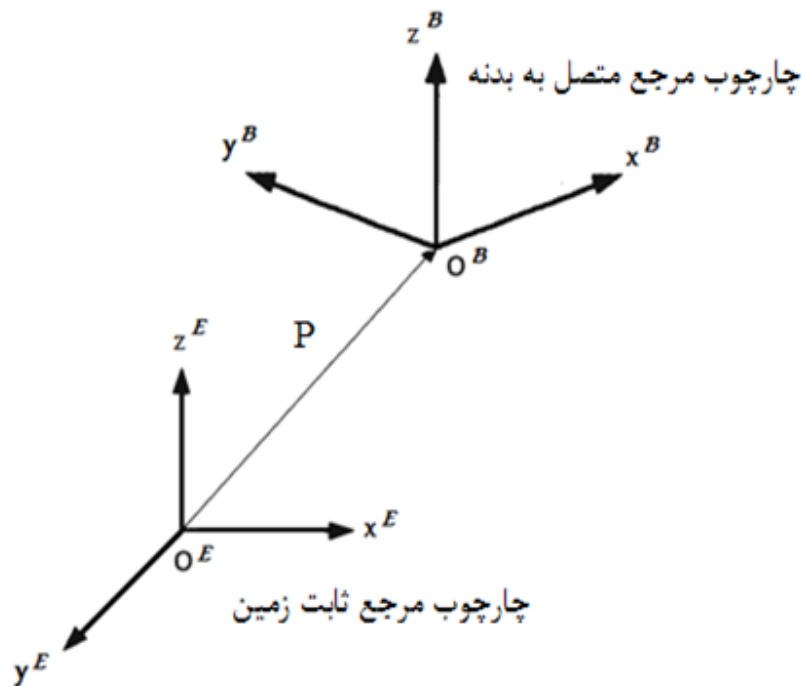
چارچوب ثابت بدنه متصل بر بدنه کوادروتور فرض می‌شود و همراه با کوادروتور دوران و حرکت می‌کند به طوری که مرکز آن بر مرکز کوادروتور منطبق می‌باشد، محور x در راستای محور اتصال گردنده-های ۱ و ۳ و محور y در راستای محور اتصال گردنده‌های ۲ و ۴ می‌باشد. همچنین محور z عمود بر محورهای x, y و به سمت بالا می‌باشد. سرعت خطی ($v[m/s]$) و سرعت زاویه‌ای ($\omega[rad/s]$) کوادروتور

نسبت به چارچوب مرجع زمین در این چارچوب بیان می‌شوند. همچنین نیروها و گشتاورهای اعمالی به

کوادراتور در این چارچوب مدل می‌شود. [۳۱]

$$\mathbf{v} = [u \quad v \quad w]^T$$

$$\boldsymbol{\omega} = [p \quad q \quad r]^T$$



شکل (۳-۲) چارچوب های مرجع ثابت زمین و بدنه

معادلات سینماتیکی یک جسم صلب با شش درجه آزادی به صورت روابط (۲-۲) و (۳-۲) می‌باشد [۲۰]:

$$\mathbf{v} = \mathbf{R}^{-1} \dot{\boldsymbol{\xi}} \quad (۲-۲)$$

$$\boldsymbol{\omega} = \mathbf{T}^{-1} \dot{\boldsymbol{\eta}} \quad (۳-۲)$$

دو ماتریس \mathbf{R} و \mathbf{T} را به ترتیب ماتریس‌های دوران و انتقال می‌نامند که ارتباط بین دو دستگاه مرجع را

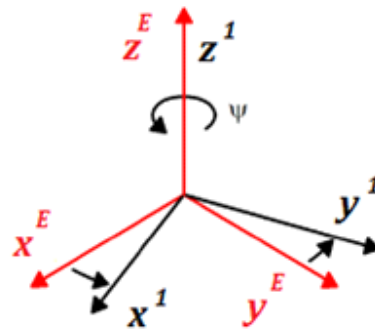
امکان پذیر می‌کنند. به وسیله سه چرخش پیاپی به صورت شکل (۴-۲) ما می‌توانیم ماتریس دوران بین

دو چارچوب مرجع را بدست آوریم [۳۱]. ترتیب این دوران‌ها مهم می‌باشد، در این پایان‌نامه به ترتیب

زوایای سمت (φ) ، فراز (θ) و چرخش (ψ) نسبت به مرجع ثابت می‌باشد.

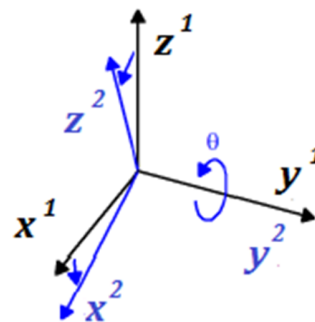
دوران حول محور Z:

$$R(z, \psi) = \begin{bmatrix} c_\psi & 0 & -s_\psi \\ s_\psi & c_\psi & 0 \\ 0 & 0 & 1 \end{bmatrix}$$



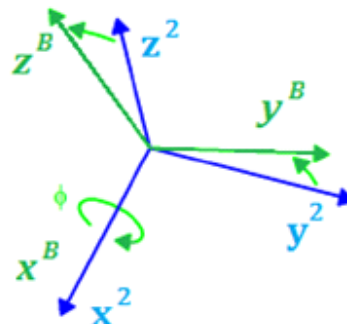
چرخش حول محور Y:

$$R(y, \theta) = \begin{bmatrix} c_\theta & 0 & s_\theta \\ 0 & 1 & 0 \\ -s_\theta & 0 & c_\theta \end{bmatrix}$$



دوران حول محور X:

$$R(x, \varphi) = \begin{bmatrix} 1 & 0 & 0 \\ 0 & c_\varphi & -s_\varphi \\ 0 & s_\varphi & c_\varphi \end{bmatrix}$$



شکل (۲-۴) دوران‌های سه گانه حول محوره‌های اصلی

با ضرب سه ماتریس بالا در یکدیگر ماتریس R به دست می‌آید:

$$R = R(\psi, z) R(\theta, y) R(\varphi, x)$$

$$R = \begin{bmatrix} c_\psi c_\theta & -s_\psi c_\theta + c_\psi s_\theta s_\varphi & s_\psi s_\varphi + c_\psi s_\theta c_\varphi \\ s_\psi c_\theta & c_\psi c_\theta + s_\psi s_\theta s_\varphi & -c_\psi s_\varphi + s_\psi s_\theta c_\varphi \\ -s_\theta & c_\theta s_\varphi & c_\theta c_\varphi \end{bmatrix} \quad (4-2)$$

برای محاسبه ماتریس انتقال بین سرعت زوایه‌ای بدنه و مشتق زوایای اوایلر به صورت زیر عمل می‌کنیم [۲]:

$$\begin{bmatrix} p \\ q \\ r \end{bmatrix} = \begin{bmatrix} \dot{\varphi} \\ 0 \\ 0 \end{bmatrix} + R(\varphi, x)^{-1} \begin{bmatrix} 0 \\ \dot{\theta} \\ 0 \end{bmatrix} + R(\varphi, x)^{-1} R(\theta, y)^{-1} \begin{bmatrix} 0 \\ 0 \\ \dot{\psi} \end{bmatrix} = T^{-1} \begin{bmatrix} \dot{\varphi} \\ \dot{\theta} \\ \dot{\psi} \end{bmatrix}$$

$$T^{-1} = \begin{bmatrix} 1 & 0 & -s_\theta \\ 0 & c_\varphi & c_\theta s_\varphi \\ 0 & -s_\varphi & c_\theta c_\varphi \end{bmatrix}, \quad T = \begin{bmatrix} 1 & s_\varphi t_\theta & c_\varphi t_\theta \\ 0 & c_\varphi & -s_\varphi \\ 0 & s_\varphi / c_\theta & c_\varphi / c_\theta \end{bmatrix} \quad (5-2)$$

۳-۲ نیروها و گشتاورهای اعمالی به کوادروتور:

در این بخش نیروها و گشتاورهای خارجی اعمال شده بر بدنه کوادروتور تعریف خواهند شد. این نیروها و گشتاورها در استخراج معادلات دینامیکی که در بخش بعد ارائه خواهد شد استفاده می‌شود.

۱-۳-۲ نیرو و گشتاور تولید شده توسط هر گردنده:

همانطور که گفته شد نیرو و گشتاور تولید شده توسط هر یک از گردنده‌ها متناسب با مجذور سرعت گردنده می‌باشد، که معمولاً با عنوان نیروی برآ یا نیروی آیرودینامیکی و گشتاور آیرودینامیکی شناخته می‌شوند، معادلات (۶-۲) و (۷-۲) نیرو و گشتاور تولید شده توسط i امین گردنده را نشان می‌دهند:

$$F_i = \frac{1}{2} \rho A C_T r^2 \Omega_i^2 \quad (6-2)$$

$$M_i = \frac{1}{2} \rho A C_D r^2 \Omega_i^2 \quad (7-2)$$

این نیرو و گشتاور وابسته به ساختار هندسی گردنده‌ها و غلظت هوا می‌باشند، از آنجا که ارتفاع پروازی کوادروتور معمولاً محدود می‌باشد، غلظت هوا و سایر پارامترها را ثابت در نظر می‌گیریم. در نتیجه معادلات (۶-۲) و (۷-۲) به صورت زیر ساده می‌شوند [۸]:

$$F_i = K_f \Omega_i^2 \quad (۸-۲)$$

$$M_i = K_M \Omega_i^2 \quad (۹-۲)$$

حال که رابطه بین سرعت گردنده‌ها و نیرو و گشتاور تولید شده توسط هر گردنده بدست آمد می‌توان نیرو و گشتاورهایی که موجب پرواز کوادروتور می‌شوند را به صورت زیر توصیف کرد [۲]:

- حرکت عمودی :

حرکت عمودی (برخاستن و فرود) کوادروتور به وسیله اعمال رابطه (۲-۱۰) که از جمع نیروی تولید شده توسط گردنده‌ها می‌باشد U نیروی رانش یا برای کل می‌باشد:

$$U = K_f (\Omega_1^2 + \Omega_2^2 + \Omega_3^2 + \Omega_4^2) \quad (۱۰-۲)$$

- حرکت چرخش (φ) :

چرخش کوادروتور حول محور x را حرکت چرخش می‌نامند، که از اختلاف گشتاور تولیدی موتور ۲ و ۴ بدست می‌آید. l طول بازوی کوادروتور تا مرکز آن می‌باشد.

$$\begin{aligned} M_x &= -F_2 l + F_4 l = -(K_f \Omega_2^2) l + (K_f \Omega_4^2) l \\ &= K_f l (\Omega_2^2 - \Omega_4^2) \end{aligned} \quad (۱۱-۲)$$

- حرکت فراز (θ) :

چرخش کوادروتور حول محور y را حرکت فراز می‌نامند، که از اختلاف گشتاور تولیدی موتور ۱ و ۳ بدست می‌آید.

$$\begin{aligned} M_y &= -F_1 l + F_3 l = -(K_f \Omega_1^2) l + (K_f \Omega_3^2) l \\ &= K_f l (-\Omega_1^2 + \Omega_3^2) \end{aligned} \quad (۱۲-۲)$$

- حرکت سمت (ψ) :

چرخش کوادروتور حول محور Z به وسیله جمع جبری گشتاورهای مقاوم تولید شده توسط هر گردنده به صورت رابطه (۲-۱۳) بدست می‌آید :

$$\begin{aligned} M_z &= M_1 - M_2 + M_3 - M_4 \\ &= (K_M \Omega_1^2) - (K_M \Omega_2^2) + (K_M \Omega_3^2) - (K_M \Omega_4^2) \\ &= K_M (\Omega_1^2 - \Omega_2^2 + \Omega_3^2 - \Omega_4^2) \end{aligned} \quad (۲-۱۳)$$

با توجه به روابط (۲-۱۰) تا (۲-۱۱) بردار نیرو و گشتاور تولید شده توسط گردنده‌ها به صورت زیر می‌باشد [۱۳]:

$$\mathbf{F}_{p,B} = \begin{bmatrix} 0 \\ 0 \\ K_f(\Omega_1^2 + \Omega_2^2 + \Omega_3^2 + \Omega_4^2) \end{bmatrix} = \begin{bmatrix} 0 \\ 0 \\ U_1 \end{bmatrix} \quad (۲-۱۴)$$

$$\mathbf{M}_{p,B} = \begin{bmatrix} K_f l (\Omega_2^2 - \Omega_4^2) \\ K_f l (-\Omega_1^2 + \Omega_3^2) \\ K_M (\Omega_1^2 - \Omega_2^2 + \Omega_3^2 - \Omega_4^2) \end{bmatrix} = \begin{bmatrix} U_2 \\ U_3 \\ U_4 \end{bmatrix} \quad (۲-۱۵)$$

۲-۳-۲ نیروی گرانشی $(\mathbf{F}_{g,B})$:

این نیروی برداری ناشی از شتاب جاذبه زمین و دارای جهت مثبت در راستای محور Z در دستگاه ثابت زمین و منطبق بر مرکز دستگاه متصل به بدنه می‌باشد (۲-۱۵)، از آنجا که این نیرو بر مرکز جسم واقع می‌شود گشتاوری تولید نمی‌کند و تنها دارای خاصیت نیرویی می‌باشد [۱۹] :

$$\mathbf{F}_{g,E} = - \begin{bmatrix} 0 \\ 0 \\ mg \end{bmatrix} \quad (۲-۱۶)$$

با استفاده از ماتریس \mathbf{R} نیروی گرانشی بیان شده در دستگاه مرجع بدنه را می‌توان به صورت زیر نوشت :

$$\mathbf{F}_{g,B} = \mathbf{R}^{-1} \mathbf{F}_{g,E} = -\mathbf{R}^T \begin{bmatrix} 0 \\ 0 \\ mg \end{bmatrix} \quad (۱۷-۲)$$

که در آن $\mathbf{F}_{g,E}$ بردار نیروی گرانشی در دستگاه ثابت زمین و $\mathbf{F}_{g,B}$ بردار نیرو گرانشی در دستگاه متصل به بدنه می باشد.

۳-۳-۲ نیرو و گشتاور اصطکاک آیرودینامیکی $(\mathbf{F}_{a,B}, \mathbf{M}_{a,B})$:

نیرو و گشتاور اصطکاک در حالت کلی تابعی از سرعت کوادروتور می باشند در مراجع مختلف مدل های زیادی چه از دیدگاه دستگاه بدنه و چه از دیدگاه دستگاه ثابت زمین معرفی شده است [۱۴]:

$$\mathbf{F}_{a,B} = -\mathbf{K}_t \mathbf{v} \quad (۱۸-۲)$$

$$\mathbf{M}_{a,B} = -\mathbf{K}_r \boldsymbol{\omega} \quad (۱۹-۲)$$

ماتریس \mathbf{K}_r ، \mathbf{K}_t ماتریس های قطری شامل ضرایب ثابت و مثبت اصطکاک می باشند.

۴-۳-۲ گشتاور ژيروسکوپی (\mathbf{M}_G) :

در کوادروتور دو گردنده در جهت عقربه های ساعت و دو گردنده دیگر در خلاف عقربه ها می چرخند، لذا اثر جایروسکوپی نسبت به سایر وسایل پروازی تاثیر کمتری دارد، با این وجود در هنگام تغییر زاویه بدنه کوادروتور در صورتی که جمع جبری سرعت ها برابر صفر نباشد یک عدم تعادل سراسری رخ می دهد. در رابطه (۲۰-۲) I_r لختی چرخشی حول محور گردنده ها و $\boldsymbol{\Omega}_r$ جمع جبری سرعت گردنده ها می باشد [۱۶].

$$\mathbf{M}_{G,B} = \sum_{i=k}^4 I_r \left(\boldsymbol{\omega} \times \begin{bmatrix} 0 \\ 0 \\ 1 \end{bmatrix} (-1)^k \Omega_k \right) , \quad \boldsymbol{\Omega}_r = -\Omega_1 + \Omega_2 - \Omega_3 + \Omega_4$$

$$\mathbf{M}_{G,B} = \boldsymbol{\omega} \times \left(I_r \begin{bmatrix} 0 \\ 0 \\ 1 \end{bmatrix} \boldsymbol{\Omega}_r \right) , \quad \mathbf{M}_G = I_r \begin{bmatrix} q \\ -p \\ 0 \end{bmatrix} \boldsymbol{\Omega}_r \quad (20-2)$$

۴-۲ دینامیک :

شاخه‌ای از علم مکانیک می‌باشد، که به مطالعه اثرات نیروها و گشتاورها بر روی حرکت یک جسم می‌پردازد. برای استخراج معادلات دینامیکی یک جسم صلب با شش درجه آزادی چندین روش مدل‌سازی وجود دارد، که در این پژوهش از روش نیوتن اولیئر استفاده شده است. معادلات حرکت به دلایل زیر در چارچوب متصل به بدنه مدل‌سازی می‌شوند :

۱- ماتریس لختی تغییر ناپذیر با زمان است.

۲- تقارن موجود در بدنه کوادروتور دستیابی به معادلات را ساده‌تر می‌کند.

۳- اندازه گیرها بر روی خود کوادروتور نصب شده‌اند.

۴- نیروهای کنترل در چارچوب مرجع متصل به بدنه داده می‌شوند.

۱-۴-۲ معادلات انتقالی حرکت :

معادلات انتقالی حرکت کوادروتور را در دستگاه متصل به بدنه را به صورت زیر در نظر می‌گیریم [۸،۲]:

$$m\dot{\mathbf{v}} + \boldsymbol{\omega} \times (m\mathbf{v}) = \mathbf{F}_B \quad (21-2)$$

به طوری که :

$m[kg]$ جرم کوادروتور

$\boldsymbol{\omega} = [p \quad q \quad r]$ سرعت زاویه‌ای کوادروتور در $B - frame$

$\mathbf{v} = [u \quad v \quad w]$ سرعت خطی مرکز جرم کوادروتور در $B - frame$

\mathbf{F}_B نیروهای اعمالی به کوادروتور در $B - frame$

F_B را می‌توان به صورت رابطه (۲۲-۲) نوشت :

$$F_B = F_{g,B} + F_{p,B} + F_{a,B} \quad (۲۲-۲)$$

ضرب برداری معادله (۲۱-۲) را که اثر کولریوس می‌نامند ، می‌توان به صورت (۲۳-۲) نوشت :

$$\omega \times (m\mathbf{v}) = \begin{bmatrix} p \\ q \\ r \end{bmatrix} \times \left(m \begin{bmatrix} u \\ v \\ w \end{bmatrix} \right) = m \begin{bmatrix} qw - rv \\ ru - pw \\ pv - qu \end{bmatrix} \quad (۲۳-۲)$$

با جایگذاری (۲۳-۲) در معادله (۲۱-۲) داریم :

$$F_B = m \left(\begin{bmatrix} \dot{u} \\ \dot{v} \\ \dot{w} \end{bmatrix} + \begin{bmatrix} qw - rv \\ ru - pw \\ pv - qu \end{bmatrix} \right) = \begin{bmatrix} m(\dot{u} + qw - rv) \\ m(\dot{v} + ru - pw) \\ m(\dot{w} + pv - qu) \end{bmatrix} \quad (۲۴-۲)$$

۲-۴-۲ معادلات حرکت چرخشی :

معادلات چرخشی حرکت از دیدگاه چارچوب بدنه با استفاده از روش نیوتن اوایلر به صورت (۲۵-۲) می-

باشد [۸،۲]:

$$I\dot{\omega} + \omega \times (I\omega) = M_B \quad (۲۵-۲)$$

به طوری که :

ماتریس قطری لختی کوادروتور $I[Nms^2]$

سرعت زاویه‌ای کوادروتور در $B - frame$ $\omega = [p \quad q \quad r]$

گشتاورهای اعمالی به کوادروتور در $B - frame$ M_B

$M_{r,B}$ را می‌توان به صورت رابطه (۲۸-۲) نوشت :

$$M_B = M_{a,B} + M_{G,B} + M_{p,B} \quad (۲۸-۲)$$

به دلیل تقارن موجود در کوادروتور ماتریس لختی یک ماتریس قطری می‌باشد و I_{XX}, I_{YY}, I_{ZZ} لختی محورهاى اصلی کوادروتور در دستگاه بدنه می‌باشند.

$$\mathbf{I} = \begin{bmatrix} I_{XX} & 0 & 0 \\ 0 & I_{YY} & 0 \\ 0 & 0 & I_{ZZ} \end{bmatrix}$$

عبارت $\boldsymbol{\omega} \times (\mathbf{I}\boldsymbol{\omega})$ نیروهای مرکز گرا در دستگاه مختصات بدنه می‌باشند. که بصورت معادله (۲-۲۶)

(۲۶) نشان داده می‌شود :

$$\boldsymbol{\omega} \times (\mathbf{I}\boldsymbol{\omega}) = \begin{bmatrix} p \\ q \\ r \end{bmatrix} \times \left(\mathbf{I} \cdot \begin{bmatrix} p \\ q \\ r \end{bmatrix} \right) = \begin{bmatrix} (I_{ZZ} - I_{YY})qr \\ (I_{XX} - I_{ZZ})pr \\ (I_{YY} - I_{XX})pq \end{bmatrix} \quad (26-2)$$

با قرار دادن رابطه (۲-۲۶) در رابطه (۲-۲۵) خواهیم داشت :

$$\mathbf{M}_B = \begin{bmatrix} I_{XX} & 0 & 0 \\ 0 & I_{YY} & 0 \\ 0 & 0 & I_{ZZ} \end{bmatrix} \begin{bmatrix} \dot{p} \\ \dot{q} \\ \dot{r} \end{bmatrix} + \begin{bmatrix} (I_{ZZ} - I_{YY})qr \\ (I_{XX} - I_{ZZ})pr \\ (I_{YY} - I_{XX})pq \end{bmatrix}$$

$$\mathbf{M}_B = \begin{bmatrix} I_{XX}\dot{p} + (I_{ZZ} - I_{YY})qr \\ I_{YY}\dot{q} + (I_{XX} - I_{ZZ})pr \\ I_{ZZ}\dot{r} + (I_{YY} - I_{XX})pq \end{bmatrix} \quad (27-2)$$

اکنون تمامی معادلات مربوط به دینامیک و سینماتیک کوادروتور را به صورت مجموعه روابط (۲-۲۹)

گسترده و مرتب می‌کنیم :

$$\dot{u} = rv - qw + gS_\theta - \frac{k_{t1}u}{m}$$

$$\dot{v} = pw - ru - gC_\theta S_\varphi - \frac{k_{t2}v}{m}$$

$$\dot{w} = qu - pv - gC_\theta C_\varphi - \frac{k_{t3}w}{m} + \frac{U_1}{m}$$

$$\dot{x} = (C_\psi C_\theta)u + (C_\psi S_\theta S_\varphi - S_\psi C_\theta)v + (C_\psi S_\theta C_\varphi + S_\psi S_\varphi)w$$

$$\dot{y} = (S_\psi C_\theta)u + (S_\psi S_\theta S_\varphi + C_\psi C_\theta)v + (S_\psi S_\theta C_\varphi - C_\psi S_\varphi)w$$

$$\dot{z} = (-S_\theta)u + (C_\theta S_\varphi)v + (C_\theta C_\varphi)w$$

$$\dot{p} = \left(\frac{I_{YY} - I_{ZZ}}{I_{XX}}\right)qr - \frac{I_r}{I_{XX}}q\Omega_r - \frac{k_{r1}p}{I_{XX}} + \frac{U_2}{I_{XX}}$$

$$\dot{q} = \left(\frac{I_{ZZ} - I_{XX}}{I_{YY}}\right)pr + \frac{I_r}{I_{YY}}p\Omega_r - \frac{k_{r2}q}{I_{YY}} + \frac{U_3}{I_{YY}}$$

$$\dot{r} = \left(\frac{I_{XX} - I_{YY}}{I_{ZZ}}\right)pq - \frac{k_{r3}r}{I_{ZZ}} + \frac{U_4}{I_{ZZ}}$$

$$\dot{\varphi} = p - (S_\varphi t_\theta)q + (C_\varphi t_\theta)r$$

$$\dot{\theta} = C_\varphi q - S_\varphi r$$

$$\dot{\psi} = \left(\frac{S_\varphi}{C_\theta}\right)q + \left(\frac{C_\varphi}{C_\theta}\right)r$$

(۲-۲۹)

۳-۴-۲ انتقال معادلات به دستگاه متصل به زمین :

با استفاده از روابطی که بین دو دستگاه مختصات مرجع در دسترس است، می‌توان تعداد معادلات رابطه (۲-۲۹) را کاهش داد. از آنجا که کوادروتور دارای چرخش و حرکت آزادانه در فضا می‌باشد و نیروها و گشتاورها در چارچوب بدنه به کوادروتور اعمال می‌شوند و سنسورهای اندازه‌گیری روی بدنه کوادروتور نصب شده‌اند قانون دوم نیوتن به دستگاه متصل به بدنه تعمیم داده شد تا معادلات دینامیکی استخراج شود ولی ردگیری مسیر توسط کوادروتور و همچنین موقعیت کوادروتور نسبت به نقطه‌ای مبنا در روی زمین در نظر گرفته می‌شود. به همین دلیل معادلات را به دستگاه ثابت زمین منتقل می‌کنیم [۱]:

۱-۳-۴-۲ معادلات دینامیکی حرکت انتقالی :

معادله سینماتیکی مربوط به حرکت انتقالی به صورت (۲، ۳۰) است :

$$\dot{\xi} = Rv \quad (۲-۳۰)$$

از معادله (۲-۳۰) مشتق می‌گیریم :

$$\ddot{\xi} = \frac{d}{dt}(Rv) \longrightarrow \dot{R}v + R\dot{v} = \ddot{\xi} \quad (۲-۳۱)$$

مشتق زمانی ماتریس R با استفاده از خواص متعامد ماتریس R به صورت زیر به دست می‌آید [۲]:

$$\dot{R} = R\hat{\omega} \quad (۲-۳۲)$$

که در آن :

$$\hat{\omega} = \begin{bmatrix} 0 & -r & q \\ r & 0 & -p \\ -q & p & 0 \end{bmatrix}, \quad \hat{\omega}S = \omega \times S, \quad S \in \mathbb{R}^3 \quad (۲-۳۳)$$

در رابطه (۲-۳۳) " \times " نماد ضرب برداری و ω بردار سرعت زاویه‌ای کوادروتور در چارچوب بدنه و S هر

بردار دلخواه در فضای \mathbb{R}^3 می‌باشد. حال معادلات (۲-۳۲) و (۲-۳۳) را در (۲-۳۱) قرار می‌دهیم :

$$\ddot{\xi} = R(\omega \times v) + R\dot{v} \quad (34-2)$$

رابطه (34-2) به صورت رابطه (35-2) مرتب می‌کنیم :

$$\dot{v} = R^{-1}\ddot{\xi} - (\omega \times v) \quad (35-2)$$

اگر معادله (35-2) را در (21-2) جایگزاری کنیم به رابطه (36-2) خواهیم رسید :

$$m[R^{-1}\ddot{\xi} - (\omega \times v)] + \omega \times (mv) = F_B \quad (36-2)$$

با ساده سازی رابطه (36-2) داریم :

$$mR^{-1}\ddot{\xi} - (\omega \times mv) + (\omega \times mv) = F_B$$

$$mR^{-1}\ddot{\xi} = F_B \quad (37-2)$$

با ضرب R در طرفین معادله (37-2) خواهیم داشت :

$$mRR^{-1}\ddot{\xi} = RF_B \quad (38-2)$$

اکنون معادلات انتقالی در چارچوب ثابت زمین به صورت روابط زیر بدست می‌آید :

$$m\ddot{\xi} = F_E$$

$$m\ddot{\xi} = F_{g,E} + F_{a,E} + RF_{p,B} \quad (39-2)$$

با گسترده کردن معادلات بالا به روابط (40-2) می‌رسیم :

$$\begin{aligned} \ddot{x} &= -\frac{k_{t1}}{m}\dot{x} + (c_\psi s_\theta c_\varphi + s_\psi s_\varphi) \frac{U_1}{m} \\ \ddot{y} &= -\frac{k_{t2}}{m}\dot{y} + (s_\psi s_\theta c_\varphi - c_\psi s_\varphi) \frac{U_1}{m} \\ \ddot{z} &= -\frac{k_{t3}}{m}\dot{z} - g + (c_\theta c_\varphi) \frac{U_1}{m} \end{aligned} \quad (40-2)$$

۲-۳-۴-۲ معادلات دینامیکی حرکت چرخشی :

معادله سینماتیکی مربوط به حرکت چرخشی به صورت (۴۱-۲) است :

$$\omega = T^{-1}\dot{\eta} \quad (41-2)$$

با مشتق گیری از رابطه بالا خواهیم داشت :

$$\dot{\omega} = \frac{d}{dt}(T^{-1})\dot{\eta} + T^{-1}\ddot{\eta} \quad (42-2)$$

معادل سازی زیر را جهت راحتی در ادامه کار در نظر می گیریم:

$$T^{-1} = W \quad \frac{d}{dt}(T^{-1}) = \dot{W}$$

(۴۱-۲) و (۴۲-۲) در (۲۵-۲) قرار می دهیم :

$$I(\dot{W}\dot{\eta} + W\ddot{\eta}) + (W\dot{\eta}) \times (I W\dot{\eta}) = M_r$$

$$I W\ddot{\eta} + (I\dot{W}\dot{\eta} + (W\dot{\eta}) \times (I W\dot{\eta})) = M_r \quad (43-2)$$

عبارت W^T را در معادله (۴۳-۲) ضرب می کنیم :

$$(W^T I W)\ddot{\eta} + W^T (I\dot{W}\dot{\eta} + (W\dot{\eta}) \times (I W\dot{\eta})) = W^T M_r \quad (44-2)$$

در نهایت رابطه بالا به فرم کلی (۴۵-۲) بدست می آید:

$$H(\eta, \dot{\eta})\ddot{\eta} + C(\eta, \dot{\eta}) + G(\eta, \dot{\eta}, \Omega) + B_r(\dot{\eta}) = \tau \quad (45-2)$$

به طوریکه :

$$H(\eta, \dot{\eta}) = W^T I W$$

$$C(\eta, \dot{\eta}) = W^T (I \dot{W}\dot{\eta} + (W\dot{\eta}) \times (I W\dot{\eta}))$$

$$G(\eta, \dot{\eta}, \Omega) = W^T M_{G,B} = W^T ((W\dot{\eta}) \times [0 \quad 0 \quad I_r \Omega_r]^T)$$

$$B_r(\dot{\eta}) = W^T M_{a,B} = W^T (-K_{ar}(W\dot{\eta}))$$

$$\tau = W^T M_{p,B}$$

۲-۴-۴ تقریب زاویه کوچک :

همانطور که قبلا اشاره شد قوانین کنترلی از مدل دینامیکی کوادروتور بدست می‌آیند. برای ساده شدن قوانین کنترل، می‌توان مدل دینامیکی که از آن قوانین کنترلی بدست می‌آید را ساده‌تر کرد. معادلات دینامیکی انتقالی بدست آمده در (۲-۴۱) شامل تداخل و پیچیدگی خاصی نیست و احتیاجی به ساده سازی ندارند. ولی معادله دینامیکی حرکت چرخشی بدست آمده در (۲-۴۵) را می‌توان ساده‌تر در نظر گرفت، این معادلات دارای تداخل زیاد و شامل ترم‌های مثلثاتی و مشتقات آنها می‌باشد، با این فرض که زوایای اوایلر کوچک در نظر گرفته شوند [۱]، ماتریس T برابر ماتریس واحد $I_{3 \times 3}$ می‌شود و نرخ تغییرات سرعت زاویه‌ای دستگاه بدنی با مشتق زوایای اوایلر برابر می‌شود در نتیجه خواهیم داشت :

$$\begin{bmatrix} \dot{p} \\ q \\ r \end{bmatrix} \cong \begin{bmatrix} \dot{\phi} \\ \dot{\theta} \\ \dot{\psi} \end{bmatrix}, \quad \begin{bmatrix} \dot{p} \\ \dot{q} \\ \dot{r} \end{bmatrix} \cong \begin{bmatrix} \ddot{\phi} \\ \ddot{\theta} \\ \ddot{\psi} \end{bmatrix} \quad (۲-۴۶)$$

با جایگذاری معادلات بالا در (۲-۲۹) مدل دینامیکی ساده شده برای حرکت چرخشی بدست می‌آید :

$$\begin{aligned} \ddot{\phi} &= \left(\frac{I_{YY} - I_{ZZ}}{I_{XX}} \right) \dot{\theta} \dot{\psi} - \frac{k_{r1}}{I_{XX}} \dot{\phi} - \frac{I_r}{I_{XX}} \Omega_r \dot{\theta} + \frac{1}{I_{XX}} U_2 \\ \ddot{\theta} &= \left(\frac{I_{ZZ} - I_{XX}}{I_{YY}} \right) \dot{\psi} \dot{\phi} - \frac{k_{r2}}{I_{YY}} \dot{\theta} + \frac{I_r}{I_{YY}} \Omega_r \dot{\phi} + \frac{1}{I_{YY}} U_3 \\ \ddot{\psi} &= \left(\frac{I_{XX} - I_{YY}}{I_{ZZ}} \right) \dot{\phi} \dot{\theta} - \frac{k_{r3}}{I_{ZZ}} \dot{\psi} + \frac{1}{I_{ZZ}} U_4 \end{aligned} \quad (۲-۴۷)$$

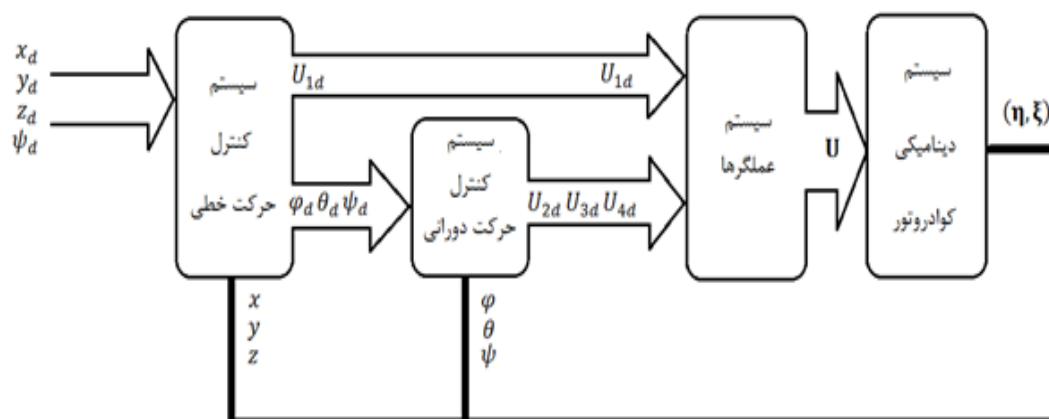
فصل ۳

طراحی کنترل کننده

مقدمه :

سیستم کنترلی که در این فصل معرفی می‌شود، در حالت کلی شامل دو حلقه داخلی و خارجی می‌باشد، حلقه خارجی وظیفه کنترل موقعیت کوادروتور را دارد، و زوایای مطلوب جهت حرکت کوادروتور در راستای محورهای افقی را محاسبه می‌کند، حلقه داخلی حلقه مربوط به کنترل زوایای اوایلر می‌باشد. در این فصل ابتدا ساختار کلی سیستم کنترل کوادروتور شرح داده می‌شود. در بخش (۱-۳) بردار ورودی کنترل معرفی می‌شود و ارتباط ما بین سرعت‌های زوایه‌ای و ورودی‌های کنترل بررسی می‌شود. در بخش (۲-۳) با استفاده از روش خطی‌سازی پس‌خورد کنترل‌کننده‌ای برای حرکت چرخشی و حرکت انتقالی طراحی می‌شود، همچنین دو روش برای محاسبه زوایای مطلوب φ_d, θ_d معرفی شده است. در بخش (۳-۳) کنترل‌کننده مد لغزشی تطبیقی برای حرکت‌های انتقالی و چرخشی در حضور اغتشاش و دینامیک مدل نشده و عدم قطعیت پارامتری معرفی می‌شود. در بخش (۴-۳) پایداری سیستم کوادروتور با اعمال کنترل‌کننده لغزشی تطبیقی بررسی می‌شود.

بلوک دیاگرام کنترلی کوادروتور به صورت شکل (۱-۳) می‌باشد که در ادامه هر یک از قسمت‌های آن شرح داده خواهد شد :



شکل (۱-۳) بلوک دیاگرام کوادروتور به همراه کنترل‌کننده

- کنترل کننده حرکت انتقالی :

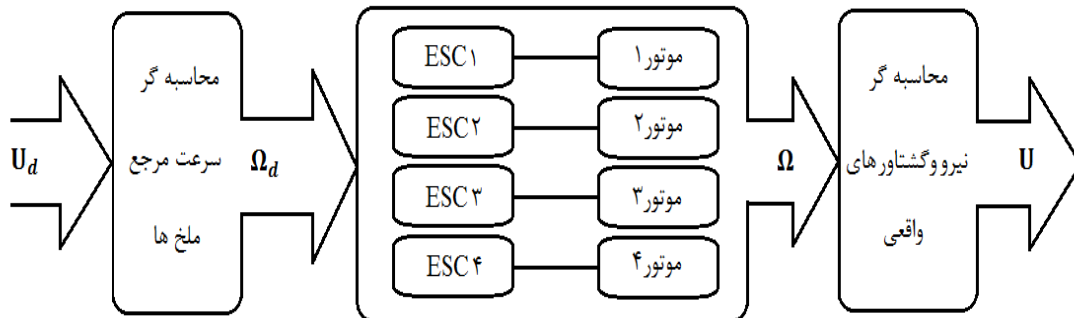
در این بلوک نیروی بالابر کوادروتور به همراه زوایای مطلوب اویلر جهت حرکت انتقالی کوادروتور بدست می‌آیند.

- کنترل کننده حرکت چرخشی:

در این قسمت گشتاورهای کنترلی جهت رسیدن زوایای اویلر به زوایای مطلوب محاسبه می‌شود.

- سیستم عملگرها:

سیستم عملگرها شامل سه قسمت می‌باشد شکل (۳-۲)، در قسمت اول از روی سیگنال‌های کنترل سرعت‌های مرجع محاسبه می‌شود، سرعت‌های مرجع بدست آمده به چهارکنترل کننده سرعت الکترونیکی که به صورت حلقه باز و با روش مدولاسیون پهنای پالس دور موتورها را کنترل می‌کنند اعمال می‌شوند و در قسمت پایانی سیگنال‌های کنترلی واقعی که با در نظر گرفتن دینامیک موتورها بدست آمده به سیستم اعمال می‌گردد.



شکل (۳-۲) بلوک دیاگرام مربوط به عملگرها

۱-۳ بردار ورودی کنترل :

بردار ورودی کنترل که شامل U_1 تا U_4 می باشد، به صورت (۱-۳) تعریف می شود [۲۲] :

$$\begin{aligned} \mathbf{U} &= [U_1 \quad U_2 \quad U_3 \quad U_4]^T \\ U_1 &= K_f(\Omega_1^2 + \Omega_2^2 + \Omega_3^2 + \Omega_4^2) \\ U_2 &= K_f l(-\Omega_2^2 + \Omega_4^2) \\ U_3 &= K_f l(\Omega_1^2 - \Omega_3^2) \\ U_4 &= K_M(\Omega_1^2 - \Omega_2^2 + \Omega_3^2 - \Omega_4^2) \end{aligned} \quad (1-3)$$

روابط بالا را به فرم ماتریسی (۲-۳) تبدیل می کنیم.

$$\mathbf{U} = \mathbf{K} \boldsymbol{\Omega}^2 \quad (2-3)$$

$$\mathbf{K} = \begin{bmatrix} K_f & K_f & K_f & K_f \\ 0 & -lK_f & 0 & K_f \\ lK_f & 0 & -lK_f & 0 \\ K_M & -K_M & K_M & -K_M \end{bmatrix}$$

اگر نیاز به داشتن سرعت زاویه ای موتورها بود می توان از رابطه (۳-۳) استفاده کرد.

$$\boldsymbol{\Omega}^2 = \mathbf{K}^{-1} \mathbf{U} \quad (3-3)$$

$$\mathbf{K}^{-1} = \begin{bmatrix} \frac{1}{4K_f} & 0 & \frac{1}{2lK_f} & \frac{1}{4K_M} \\ \frac{1}{4K_f} & -\frac{1}{2lK_f} & 0 & -\frac{1}{4K_M} \\ \frac{1}{4K_f} & 0 & -\frac{1}{2lK_f} & \frac{1}{4K_M} \\ \frac{1}{4K_f} & \frac{1}{2lK_f} & 0 & -\frac{1}{4K_M} \end{bmatrix}$$

۲-۳ کنترل به روش خطی سازی پسخور

در این بخش روش کنترل کوادروتور با استفاده از خطی سازی پسخور برای مدل کوادروتور طراحی می-شود. روش خطی سازی پسخور با حذف عوامل غیر خطی سیستم دینامیکی مورد نظر را به یک سیستم دینامیکی خطی ساده تبدیل می کند، سپس سیستم بدست آمده کنترل می شود.

۱-۲-۳ کنترل کننده حرکت چرخشی :

معادلات دینامیکی حرکت چرخشی کوادروتور که در فصل قبل بدست آمده را به صورت زیر می نویسم :

$$I\ddot{\eta} + F(\dot{\eta}) + G(\dot{\eta}, \Omega) + B_r(\dot{\eta}) = \tau \quad (۴-۳)$$

به طوریکه :

$$\dot{\eta} = \begin{bmatrix} \dot{\phi} \\ \dot{\theta} \\ \dot{\psi} \end{bmatrix} \quad F(\dot{\eta}) = \begin{bmatrix} (I_{ZZ} - I_{YY})\dot{\theta}\dot{\psi} \\ (I_{XX} - I_{ZZ})\dot{\phi}\dot{\psi} \\ (I_{YY} - I_{XX})\dot{\phi}\dot{\theta} \end{bmatrix} \quad G(\dot{\eta}, \Omega) = \begin{bmatrix} I_r\Omega_r\dot{\theta} \\ -I_r\Omega_r\dot{\phi} \\ 0 \end{bmatrix}$$

$$B_r(\dot{\eta}) = \begin{bmatrix} k_{r1}\dot{\phi} \\ k_{r2}\dot{\theta} \\ k_{r3}\dot{\psi} \end{bmatrix} \quad \tau = \begin{bmatrix} U_2 \\ U_3 \\ U_4 \end{bmatrix} = \begin{bmatrix} lb(\Omega_4^2 - \Omega_2^2) \\ lb(\Omega_1^2 - \Omega_3^2) \\ d(\Omega_1^2 + \Omega_3^2 - \Omega_2^2 - \Omega_4^2) \end{bmatrix}$$

قانون کنترل را به صورت (۵-۳) پیشنهاد می دهیم :

$$\tau = Iu_1 + F(\dot{\eta}) + G(\dot{\eta}, \Omega) + B_r(\dot{\eta}) \quad (۵-۳)$$

$u_1 \in R^3$ به صورت یک ورودی جدید تعریف می شود با اعمال τ به معادله دینامیکی (۴-۳) داریم :

$$\ddot{\eta} = u_1 \quad (۶-۳)$$

سیستم دینامیکی حاصل شده خطی و بدون تزویج می باشد، حال به کنترل این سیستم می پردازیم که

آسان تر از کنترل سیستم دینامیکی (۴-۳) می باشد. برای ردگیری مسیر مرجع η_d ، u_1 را به صورت

(۷-۳) پیشنهاد می دهیم :

$$\mathbf{u}_1 = \ddot{\boldsymbol{\eta}}_d + \mathbf{K}_{d1}(\dot{\boldsymbol{\eta}}_d - \dot{\boldsymbol{\eta}}) + \mathbf{K}_{p1}(\boldsymbol{\eta}_d - \boldsymbol{\eta}) \quad (7-3)$$

\mathbf{K}_{d1} و \mathbf{K}_{p1} ماتریس‌های قطری مثبت شامل پارامترهای طراحی کنترل‌کننده می‌باشند. در نهایت خواهیم داشت :

$$(\ddot{\boldsymbol{\eta}} - \ddot{\boldsymbol{\eta}}_d) + \mathbf{K}_{d1}(\dot{\boldsymbol{\eta}}_d - \dot{\boldsymbol{\eta}}) + \mathbf{K}_{p1}(\boldsymbol{\eta}_d - \boldsymbol{\eta}) = 0 \quad (8-3)$$

اگر خطای ردگیری را به صورت زیر تعریف کنیم رابطه (8-3) به صورت زیر تبدیل می‌شود :

$$\mathbf{e}_1 = \boldsymbol{\eta}_d - \boldsymbol{\eta}$$

$$\ddot{\mathbf{e}}_1 + \mathbf{K}_{d1}\dot{\mathbf{e}}_1 + \mathbf{K}_{p1}\mathbf{e}_1 = 0 \quad (9-3)$$

در صورتی که \mathbf{K}_{d1} و \mathbf{K}_{p1} مثبت انتخاب شوند پایداری سیستم تضمین و خطا به صورت نمایی به سمت صفر همگرا می‌شود.

۳-۲-۲ کنترل‌کننده حرکت انتقالی :

همانطور که در بخش‌های قبلی ذکر شد کوادروتور یک سیستم کم‌عملگر می‌باشد و تنها می‌توان چهار متغیر ارتفاع ، چرخش ، فراز و سمت را به طور مستقیم با عملگرهای موجود کنترل نمود. اما با دقت در معادلات حرکت انتقالی می‌توان به این نکته رسید که حرکت کوادروتور در راستای محورهای افقی (x, y) وابسته به زوایای اوایلر و نیروی U_1 می‌باشد. در صورتی که کوادروتور حول یکی از محورهای خود چرخش داشته باشد و نیروی بالابر کل بر وزن کوادروتور غلبه کند کوادروتور شروع به حرکت در راستای آن محور می‌کند. در ادامه دو روش محاسبه زوایای مرجع توضیح داده می‌شود :

۳-۲-۲-۱ روش اول :

در این روش با استفاده از خطی سازی پس‌خورد معادله دینامیکی مربوط به ارتفاع، ورودی کنترل U_1 را بدست می‌آوریم :

$$m\ddot{z} + f(\dot{z}) = \beta_z U_1 \quad (10-3)$$

$$f(\dot{z}) = k_{t3}\dot{z} + mg$$

$$\beta_z = C_\varphi C_\theta$$

قانون کنترل U_1 را به صورت (۱۱-۳) پیشنهاد می‌دهیم :

$$U_1 = \frac{1}{\beta_z} (mu_z + f(\dot{z})) = \frac{r_z}{\beta_z} \quad (۱۱-۳)$$

$u_z \in R$ به صورت یک ورودی جدید تعریف می‌شود و به معادله دینامیکی (۱۱-۳) اعمال می‌شود، نتیجه یک سیستم دینامیکی خطی به صورت (۱۲-۳) می‌باشد.

$$\ddot{z} = u_z \quad (۱۲-۳)$$

برای ردگیری مسیر مطلوب z_d ، u_z به صورت (۱۳-۳) پیشنهاد می‌شود ، k_{pz} و k_{dz} پارامترهای کنترل کننده می‌باشند.

$$u_z = \ddot{z}_d + k_{dz}(\dot{z}_d - \dot{z}) + k_{pz}(z_d - z) \quad (۱۳-۳)$$

با تعریف خطا به صورت زیر و اعمال قانون کنترل (۱۳-۳) به معادله دینامیکی خطی (۱۲-۳) به رابطه (۱۴-۳) می‌رسیم که با مثبت انتخاب شدن پارامترهای کنترل کننده پایداری تضمین می‌شود.

$$e_z = z_d - z$$

$$\ddot{e}_z + k_{dz}\dot{e}_z + k_{pz}e_z = 0 \quad (۱۴-۳)$$

اکنون با معرفی بردار X به صورت زیر معادلات حرکت کوادروتور در صفحه $x-y$ به صورت (۱۵-۳) در می‌آید :

$$X = [x \quad y]^T$$

$$m\ddot{X} + f(\dot{X}) = U_v \quad (۱۵-۳)$$

U_v ورودی کنترل مجازی و $f(\dot{X})$ به صورت زیر می‌باشند :

$$U_v = \begin{bmatrix} u_x \\ u_y \end{bmatrix} = \begin{bmatrix} \beta_x U_1 \\ \beta_y U_1 \end{bmatrix} , \quad f(\dot{X}) = \begin{bmatrix} k_{t1}\dot{x} \\ k_{t2}\dot{y} \end{bmatrix}$$

$$m\ddot{X} + f(\dot{X}) = U_v \quad (۱۶-۳)$$

به طوریکه β_x و β_y صورت زیر می باشند :

$$\beta_x = c_\psi s_\theta c_\varphi + c_\psi s_\varphi$$

$$\beta_y = s_\psi s_\theta c_\varphi - c_\psi s_\varphi$$

قانون کنترل U_v را به صورت (۱۷-۳) پیشنهاد می دهیم :

$$U_v = m\mathbf{u}_2 + f(\dot{X}) \quad (۱۷-۳)$$

با اعمال U_v به (۱۶-۳) به معادله (۱۸-۳) می رسیم :

$$\ddot{X} = \mathbf{u}_2 \quad (۱۸-۳)$$

مانند قسمت های قبل $\mathbf{u}_2 \in R^2$ را به صورت (۱۹-۳) انتخاب می کنیم و با اعمال آن به معادله دینامیکی

خطی (۱۸-۳) دینامیک خطا به صورت (۲۰-۳) بدست می آید.

$$\mathbf{e}_X = X_d - X$$

$$\mathbf{u}_2 = \ddot{X}_d + K_{d2}(\dot{X}_d - \dot{X}) + K_{p2}(X_d - X) \quad (۱۹-۳)$$

$$\ddot{\mathbf{e}}_X + K_{d2}\dot{\mathbf{e}}_X + K_{p2}\mathbf{e}_X = 0 \quad (۲۰-۳)$$

با انتخاب K_{p2} و K_{d2} که ماتریس های قطری با ضرایب مثبت می باشند. پایداری سیستم تضمین می شود.

اکنون U_1 را به صورت (۲۱-۳) در می آوریم :

$$U_1 = \frac{(mu_z + f(\dot{z}))}{\beta_z} = \frac{r_z}{\beta_z} \quad (۲۱-۳)$$

رابطه (۲۱-۳) را در U_v قرار می دهیم :

$$U_v = \begin{bmatrix} (\beta_x/\beta_z)r_z \\ (\beta_y/\beta_z)r_z \end{bmatrix} \quad (۲۲-۳)$$

با ساده کردن ترم های کسری در (۲۲-۳) خواهیم داشت :

$$\frac{\beta_x}{\beta_z} = \frac{c_\psi s_\theta c_\varphi + c_\psi s_\varphi}{c_\theta c_\varphi} = \frac{s_\psi}{c_\theta} t_\varphi + c_\psi t_\theta$$

$$\frac{\beta_y}{\beta_z} = \frac{s_\psi s_\theta c_\varphi - c_\psi s_\varphi}{c_\theta c_\varphi} = s_\psi t_\theta - \frac{c_\psi}{c_\theta} t_\varphi \quad (23-3)$$

اگر چرخش حول محور عمود را صفر در نظر بگیریم روابط بدست آمده در بالا به صورت (24-3) ساده می‌شوند :

$$\psi = 0 \longrightarrow \begin{cases} \sin\psi = 0 \\ \cos\psi = 1 \end{cases}$$

$$\frac{\beta_x}{\beta_z} = t_\theta$$

$$\frac{\beta_y}{\beta_z} = -\frac{t_\varphi}{c_\theta} \quad (24-3)$$

با قرار دادن روابط (24-3) را در (22-3) داریم :

$$u_x = t_\theta r_z$$

$$u_y = -\frac{t_\varphi}{c_\theta} r_z \quad (25-3)$$

در نهایت زوایای مرجع θ_d و φ_d جهت ردگیری مسیر x_d و y_d به صورت (26-3) بدست می‌آیند:

$$t_\theta = \frac{u_x}{u_z} \longrightarrow \theta_d = \tan^{-1} \left(\frac{u_x}{r_z} \right)$$

$$t_\varphi = -c_\theta \frac{u_y}{u_z} \longrightarrow \varphi_d = \tan^{-1} \left(-c_\theta \frac{u_y}{r_z} \right) \quad (26-3)$$

۲-۳-۲-۳ روش دوم :

این روش تقریباً مشابه حالت قبل می‌باشد با این تفاوت که قانون کنترل U_1 به صورت غیر مستقیم

محاسبه می‌شود. ابتدا بردار ورودی کنترل جدید U_v را به صورت زیر معرفی می‌کنیم [32] :

$$U_v = RU_1 e_z \longrightarrow RU_1 e_z = \begin{bmatrix} u_x \\ u_y \\ u_z \end{bmatrix} \quad (27-3)$$

معادله دینامیکی حرکت انتقالی به صورت زیر می باشد :

$$m\ddot{\xi} + m\mathbf{g}_z + \mathbf{B}_t(\dot{\xi}) = U_v \quad (28-3)$$

به طوریکه :

$$\ddot{\xi} = \begin{bmatrix} \ddot{x} \\ \ddot{y} \\ \ddot{z} \end{bmatrix}, \mathbf{g}_z = \begin{bmatrix} 0 \\ 0 \\ g \end{bmatrix}, \mathbf{B}_t(\dot{\xi}) = \begin{bmatrix} k_{t1}\dot{x} \\ k_{t2}\dot{y} \\ k_{t3}\dot{z} \end{bmatrix}, U_v = \begin{bmatrix} (c_\psi s_\theta c_\phi + s_\psi s_\phi)U_1 \\ (s_\psi s_\theta c_\phi - s_\psi s_\phi)U_1 \\ (c_\theta c_\phi)U_1 \end{bmatrix}$$

قانون کنترل U_v به صورت (29-3) پیشنهاد داده می شود :

$$U_v = m\mathbf{u}_2 + m\mathbf{g}_z + \mathbf{B}_t(\dot{\xi}) \quad (29-3)$$

با اعمال (28-3) به معادله دینامیکی حرکت انتقالی به سیستم دینامیکی خطی (30-3) می رسیم :

$$\ddot{\xi} = \mathbf{u}_2 \quad (30-3)$$

$$\mathbf{u}_2 = \ddot{\xi}_d + \mathbf{K}_{d2}\dot{\mathbf{e}}_2 + \mathbf{K}_{p2}\mathbf{e}_2 \quad (31-3)$$

در صورت مثبت انتخاب شدن ضرایب ماتریس های قطری \mathbf{K}_{d2} و \mathbf{K}_{p2} در قانون کنترل جدید \mathbf{u}_2 پایداری سیستم تضمین می شود.

اکنون از روی ورودی های کنترلی مجازی u_x, u_y, u_z به روشی که در ادامه توضیح داده می شود، U_1

، θ_d و φ_d محاسبه می شوند. عبارت $RU_1 e_z$ به صورت رابطه ماتریسی (32-3) باز نویسی می شود :

$$\begin{bmatrix} u_x \\ u_y \\ u_z \end{bmatrix} = \begin{bmatrix} C_\psi C_\theta & c_\psi s_\theta s_\varphi - c_\varphi s_\psi & s_\psi s_\varphi + c_\psi s_\theta c_\varphi \\ s_\psi c_\theta & c_\psi C_\varphi + S_\psi S_\theta S_\varphi & s_\psi s_\theta c_\varphi - c_\psi s_\varphi \\ -s_\theta & c_\theta s_\varphi & c_\theta c_\varphi \end{bmatrix} \begin{bmatrix} 0 \\ 0 \\ U_1 \end{bmatrix} \quad (32-3)$$

در نتیجه :

$$\begin{bmatrix} u_x \\ u_y \\ u_z \end{bmatrix} = \begin{bmatrix} f_1 U_1 \\ f_2 U_1 \\ f_3 U_1 \end{bmatrix}$$

$$u_x = f_1 U_1 = (s_\psi s_\varphi + c_\psi s_\theta c_\varphi) U_1 \quad (33-3)$$

$$u_y = f_2 U_1 = (s_\psi s_\theta c_\varphi - c_\psi s_\varphi) U_1 \quad (34-3)$$

$$u_z = f_3 U_1 = (c_\theta c_\varphi) U_1 \quad (35-3)$$

از (35-3) U_1 را به صورت (36-3) به دست می آوریم :

$$U_1 = \frac{u_z}{f_3} \quad (36-3)$$

رابطه (36-3) را به جای U_1 در (33-3) قرار می دهیم :

$$u_x = \frac{f_1}{f_3} u_z = \left(\frac{s_\psi s_\varphi + c_\psi s_\theta c_\varphi}{c_\theta c_\varphi} \right) u_z$$

$$u_x = \left(\frac{s_\psi}{c_\theta} \cdot t_\varphi + c_\psi \cdot t_\theta \right) u_z \quad (37-3)$$

در صورتی که (36-3) را در رابطه (34-3) هم قرار دهیم، نتیجه بدست آمده دقیقا مانند روش اول می شود.

اگر زاویه مرجع سمت (ψ_d) را صفر در نظر بگیریم روابط (37-3) و (38-3) به صورت زیر بدست می آیند:

$$\psi_d = 0$$

$$u_x = \tan(\theta_d) u_z$$

$$u_y = -\sin(\varphi_d) U_1 \quad (38-3)$$

روابط (33-3) تا (35-3) را به توان ۲ رسانده و با هم جمع می کنیم :

$$(f_1^2 + f_2^2 + f_3^2)U_1^2 = u_x^2 + u_y^2 + u_z^2$$

$$(S_{\psi_d}S_{\varphi_d} + C_{\psi_d}S_{\theta_d}C_{\varphi_d})^2 + (S_{\psi_d}S_{\theta_d}C_{\varphi_d} - C_{\psi_d}S_{\varphi_d})^2 + (C_{\theta_d}C_{\varphi_d})^2 = 1$$

$$U_1^2 = u_x^2 + u_y^2 + u_z^2$$

در نهایت زوایای مطلوب θ_d و φ_d و قانون کنترل U_1 به صورت مجموعه روابط (۳۹،۳) بدست می آیند:

$$U_1 = \sqrt{u_x^2 + u_y^2 + u_z^2}$$

$$\theta_d = \arctan\left(\frac{u_z}{u_x}\right)$$

$$\varphi_d = \arcsin\left(\frac{-u_y}{U_1}\right)$$

$$\psi_d = 0$$

(۳۹-۳)

۳-۳ کنترل به روش لغزشی تطبیقی

مدل ریاضی که بتواند سیستم دینامیکی کوادروتور را به طور دقیق توصیف کند بسیار پر محاسبه و پیچیده می باشد. چنین مدلی ممکن است قابلیت پیاده سازی به منظور کنترل بر مبنای مدل را نداشته باشد. اغتشاش خارجی یک ورودی ناخواسته به سیستم و یک عامل مستقل است. پارامترهای ثابت به خاطر خطای اندازه گیری ممکن است، اطلاعی که از آنها داریم دقیق نباشد، بدست آوردن مدل دقیق اثرات آیرودینامیکی به راحتی مقدور نیست، در نتیجه با توجه به موارد ذکر شده استفاده از کنترل کننده خطی ساز پس خورد قابلیت کنترل و پایدار سازی سیستم را ندارد. لذا برای مقاوم سازی سیستم در برابر عدم قطعیت می توان از روش مد لغزشی استفاده کرد، در این روش با داشتن حد بالای عدم قطعیت می توان عملکرد مطلوب سیستم را تا حد قابل قبولی برآورده نمود و همچنین می توان با ترکیب روش لغزشی با تطبیقی مقدار مناسب حد بالای عدم قطعیت را تخمین زده و در قانون کنترل قرار داد.

۱-۳-۳ کنترل کننده حرکت چرخشی

معادلات حرکت چرخشی کوادروتور که در فصل قبل بدست آمده به صورت زیر می باشد :

$$I\ddot{\eta} + F(\dot{\eta}) + G(\dot{\eta}, \Omega) + B_r(\dot{\eta}) + d_1(t) = \tau \quad (40-3)$$

$d_1(t)$ بردار اغتشاش ورودی می باشد ، با فرض اینکه محدود به D_1 باشد.

$$\|d_1(t)\| < D_1$$

همچنین مدل نامی و پیشنهاد شده برای معادله دینامیکی حرکت چرخشی به صورت زیر است، گشتاور ژيروسکوپی و گشتاور اصطکاک ، به عنوان دینامیک مدل نشده در نظر گرفته شده است :

$$\hat{I}\ddot{\eta} + \hat{F}(\dot{\eta}) + \Gamma_{m2} = \tau$$

\hat{I} و \hat{F} مقادیر محاسباتی و تخمین زده شده ، دارای اختلاف با مقادیر واقعی می باشند.

Γ_{m2} عدم قطعیت مجتمع می باشد:

$$\Gamma_{m2} = (I - \hat{I})\ddot{\eta} + (F - \hat{F}) + G(\dot{\eta}, \Omega) + B_r(\dot{\eta}) + d_1(t)$$

ابتدا بردار خطا و سطح لغزش s_1, e_1 را به صورت روابط زیر تعریف می شود :

$$e_1 = \eta_d - \eta = [\varphi_d - \varphi, \theta_d - \theta, \psi_d - \psi]^T$$

$$s_1 = \dot{e}_1 + \Lambda_1 e_1 \quad (41-3)$$

با توجه به اینکه ماتریس Λ_1 مثبت معین می باشد، پس مولفه های بردار s_1 هرویتز می باشند و e_1 و

\dot{e}_1 هر یک به صورت نمایی به سمت صفر همگرا می شوند:

$$\Lambda_1 = \begin{bmatrix} \lambda_{11}^1 & 0 & 0 \\ 0 & \lambda_{22}^1 & 0 \\ 0 & 0 & \lambda_{33}^1 \end{bmatrix}, \quad s^1_i = \dot{e}^1_i + \lambda_{ii}^1 e^1_i, \quad \lambda_{ii}^1 > 0, \quad \lambda_{ij}^1 = 0$$

$$e_1, \dot{e}_1 \rightarrow 0 \quad \text{as } t \rightarrow \infty$$

با مشتق گیری از s_1 خواهیم داشت :

$$\dot{s}_1 = \ddot{e}_1 + \Lambda_1 \dot{e}_1$$

$$\dot{s}_1 = \ddot{\eta}_d - \ddot{\eta} + \Lambda_1 \dot{e}_1 \quad (42-3)$$

$\ddot{\eta}_r$ را به صورت رابطه (43-3) تعریف می‌کنیم :

$$\ddot{\eta}_r = \ddot{\eta}_d + \Lambda_1 \dot{e}_1 \quad (43-3)$$

در نتیجه \dot{s}_1 را می‌توان به صورت زیر نوشت :

$$\dot{s}_1 = \ddot{\eta}_r - \ddot{\eta} \quad (44-3)$$

از رابطه بالا $\ddot{\eta}$ را به صورت (45-3) بدست می‌آید :

$$\ddot{\eta} = \ddot{\eta}_r - \dot{s}_1 \quad (45-3)$$

رابطه (45-3) را در معادله دینامیکی (40-3) قرار می‌دهیم :

$$I(\ddot{\eta}_r - \dot{s}_1) + F(\dot{\eta}) + G(\dot{\eta}, \Omega) + B_r(\dot{\eta}) + d_1(t) = \tau \quad (46-3)$$

با مرتب کردن رابطه بالا خواهیم داشت :

$$I\dot{s}_1 = I\ddot{\eta}_r + F(\dot{\eta}) + G(\dot{\eta}, \Omega) + B_r(\dot{\eta}) + d_1(t) - \tau \quad (47-3)$$

قانون کنترلی بر اساس روش مد لغزشی به صورت زیر معرفی می‌گردد :

$$\tau = \hat{\tau} + \tau_d$$

$$\hat{\tau} = \hat{I}\ddot{\eta}_r + \hat{F}(\dot{\eta}) + k_{d1}s_1$$

$$\tau_d = k_1 \frac{s_1}{\|s_1\|} \quad (48-3)$$

قانون کنترل پیشنهادی (48,3) را در (47,3) قرار می‌دهیم :

$$I\dot{s}_1 = \Gamma_1 - k_{d1}s_1 - k_1\tau_d \quad (49-3)$$

Γ_1 بردار عدم قطعیت مجتمع شامل عدم قطعیت پارامتری، دینامیک مدل نشده و اغتشاش می‌باشد :

$$\Gamma_1 = (I - \hat{I})\ddot{\eta}_r + (F(\dot{\eta}) - \hat{F}(\dot{\eta})) + G(\dot{\eta}, \Omega) + B_r(\dot{\eta}) + d_1(t) \quad (50-3)$$

k_1 حد بالای بردار عدم قطعیت مجتمع می‌باشد :

$$k_1 > \|\Gamma_1\|$$

اما دسترسی به حد بالای بردار عدم قطعیت مجتمع به سادگی امکان پذیر نمی‌باشد، می‌توان با استفاده از روش کنترل تطبیقی مقدار مطلوب k_1 جهت داشتن عملکرد مطلوب سیستم کنترل را بدست آورد بدین منظور تابع لیاپانوفی به صورت زیر تعریف می‌شود :

$$V_1(s_1, \tilde{k}_1) = 0.5s_1^T I s_1 + 0.5\gamma_1^{-1} \tilde{k}_1^2 \quad (51-3)$$

\tilde{k}_1 خطای تطبیق پارامتر است:

$$\tilde{k}_1 = k_1 - \hat{k}_1$$

از تابع لیاپانوف منتخب مشتق می‌گیریم :

$$\dot{V}_1(s_1, \tilde{k}_1) = (s_1^T I \dot{s}_1 - \gamma_1^{-1} \tilde{k}_1 \dot{\hat{k}}_1) \quad (52-3)$$

رابطه (49,3) را در رابطه بالا قرار می‌دهیم :

$$\dot{V}_1(s_1, \tilde{k}_1) = s_1^T \left(-k_{d1} s_1 + \Gamma_1 - \hat{k}_1 \frac{s_1}{\|s_1\|} \right) - \gamma_1^{-1} \tilde{k}_1 \dot{\hat{k}}_1 \quad (53-3)$$

همچنین داریم :

$$s_1^T \hat{k}_1 \frac{s_1}{\|s_1\|} = \hat{k}_1 \|s_1\|$$

$$s_1^T \Gamma_1 \leq \|s_1\| \|\Gamma_1\| \leq \|s_1\| k_1 \quad (54-3)$$

با قرار دادن (54-3) در (53-3) داریم :

$$\dot{V}_1(s_1, \tilde{k}_1) = -s_1^T k_{d1} s_1 + (k_1 \|s_1\| - \hat{k}_1 \|s_1\|) - \gamma_1^{-1} \tilde{k}_1 \dot{\hat{k}}_1$$

در نهایت با ساده‌سازی خواهیم داشت :

$$\dot{V}_1(s_1, \tilde{k}_1) = -s_1^T k_{d1} s_1 + \|s_1\| (k_1 - \hat{k}_1) - \gamma_1^{-1} \tilde{k}_1 \dot{\hat{k}}_1$$

$$\begin{aligned}\dot{V}_1(\mathbf{s}_1, \tilde{k}_1) &= -\mathbf{s}_1^T \mathbf{k}_{d1} \mathbf{s}_1 + \tilde{k}_1 \|\mathbf{s}_1\| - \gamma_1^{-1} \tilde{k}_1 \dot{\tilde{k}}_1 \\ \dot{V}_1(\mathbf{s}_1, \tilde{k}_1) &= -\mathbf{s}_1^T \mathbf{k}_{d1} \mathbf{s}_1 + \tilde{k}_1 (\|\mathbf{s}_1\| - \gamma_1^{-1} \dot{\tilde{k}}_1)\end{aligned}\quad (55-3)$$

قانون تطبیق به صورت زیر بدست می‌آید :

$$\begin{aligned}\tilde{k}_1 (\|\mathbf{s}_1\| - \gamma_1^{-1} \dot{\tilde{k}}_1) &= 0 \\ \dot{\tilde{k}}_1 &= \gamma_1 \|\mathbf{s}_1\|\end{aligned}\quad (56-3)$$

برای جلوگیری از واگرا شدن پارامتر میتوان از روش اصلاحی سیگما [33] به صورت رابطه زیر استفاده کرد :

$$\dot{\tilde{k}}_1 = \gamma_1 \|\mathbf{s}_1\| - \sigma_1 k_1 \quad (57-3)$$

که در آن σ_1 یک ثابت مثبت قابل تنظیم است.

۳-۳-۲ کنترل کننده حرکت انتقالی :

برای طراحی کنترل کننده حرکت انتقالی مشابه قسمت قبل عمل می‌کنیم، با توجه به این نکته که جرم کوادروتور را نامعلوم فرض کرده و مقدار آن را با استفاده از تطبیق بدست می‌آوریم.

معادله (۲۳-۲) را به صورت زیر مرتب می‌کنیم :

$$m(\ddot{\xi} + \mathbf{g}_z) + \mathbf{B}_t(\dot{\xi}) + \mathbf{d}_2(t) = \mathbf{U}_v \quad (58-3)$$

$\mathbf{d}_2(t)$ بردار اغتشاش، با فرض اینکه محدود به D_2 است :

$$\|\mathbf{d}_2(t)\| < D_2$$

همچنین مدل نامی و در دسترس ما به صورت زیر می‌باشد. \hat{m} مقدار تخمین زده شده جرم می‌باشد

$$\hat{m}(\ddot{\xi} + \mathbf{g}_z) + \mathbf{F}_{m2} = \mathbf{U}_v \quad (59-3)$$

\mathbf{F}_{m2} عدم قطعیت مجتمع می‌باشد :

$$\mathbf{F}_{m2} = (m - \hat{m})(\ddot{\xi} + \mathbf{g}_z) + \mathbf{G}(\dot{\eta}, \boldsymbol{\Omega}) + \mathbf{B}_t(\dot{\eta}) + \mathbf{d}_2(t)$$

بردار خطای \mathbf{e}_2 و سطح لغزش \mathbf{s}_2 را به صورت زیر تعریف می‌کنیم :

$$\mathbf{e}_2 = \xi_d - \xi = [x_d - x, y_d - y, z_d - z]$$

$$\mathbf{s}_2 = \dot{\mathbf{e}}_2 + \Lambda_2 \mathbf{e}_2 \quad (۶۰-۳)$$

$$\Lambda_2 = \begin{bmatrix} \lambda_{11}^2 & 0 & 0 \\ 0 & \lambda_{22}^2 & 0 \\ 0 & 0 & \lambda_{33}^2 \end{bmatrix}, \quad s_i^2 = \dot{e}_i^2 + \lambda_{ij}^2 e_i^2, \quad \lambda_{ii}^2 > 0, \quad \lambda_{ij}^2 = 0$$

$$\mathbf{e}_2, \dot{\mathbf{e}}_2 \rightarrow 0 \quad \text{as } t \rightarrow \infty$$

با مشتق گیری از \mathbf{s}_2 خواهیم داشت :

$$\dot{\mathbf{s}}_2 = \ddot{\mathbf{e}}_2 + \Lambda_2 \dot{\mathbf{e}}_2$$

$$\dot{\mathbf{s}}_2 = \ddot{\xi}_d - \ddot{\xi} + \Lambda_2 \dot{\mathbf{e}}_2 \quad (۶۱-۳)$$

$\ddot{\xi}_r$ را به صورت زیر تعریف می کنیم:

$$\ddot{\xi}_r = \ddot{\xi}_d + \Lambda_2 \dot{\mathbf{e}}_2 \quad (۶۲-۳)$$

در نتیجه $\ddot{\xi}$ را به صورت زیر بدست می آید :

$$\ddot{\xi} = \ddot{\xi}_r - \dot{\mathbf{s}}_2 \quad (۶۳-۳)$$

رابطه (۶۳-۳) را در (۵۸-۳) قرار می دهیم :

$$m(\ddot{\xi}_r + \mathbf{g}_z - \dot{\mathbf{s}}_2) + \mathbf{B}_t(\ddot{\xi}) + \mathbf{d}_2(t) = \mathbf{U}_v$$

$$m\dot{\mathbf{s}}_2 = m(\ddot{\xi}_r + \mathbf{g}_z) + \mathbf{B}_t(\ddot{\xi}) + \mathbf{d}_2(t) - \mathbf{U}_v \quad (۶۴-۳)$$

قانون کنترلی بر اساس مد لغزشی به صورت زیر معرفی می شود :

$$\mathbf{U}_v = \hat{\mathbf{U}}_v + \mathbf{U}_{vd}$$

$$\hat{\mathbf{U}}_v = \hat{m}(\ddot{\xi}_r + \mathbf{g}_z) + k_{d2} \mathbf{s}_2$$

$$\mathbf{U}_{vd} = \hat{k}_2 \frac{\mathbf{s}_2}{\|\mathbf{s}_2\|} \quad (۶۵-۳)$$

قانون کنترل (۶۵-۳) را به (۶۴-۳) اعمال می کنیم :

$$m\dot{\mathbf{s}}_2 = \tilde{m}(\ddot{\xi}_r + \mathbf{g}_z) - k_{d2} \mathbf{s}_2 + \Gamma_2 - \hat{k}_2 \mathbf{U}_{vd} \quad (۶۶-۳)$$

Γ_2 بردار عدم قطعیت مجتمع و \hat{k}_2 تخمین حد بالای بردار عدم قطعیت می باشد :

$$\Gamma_2 = \mathbf{B}_t(\ddot{\xi}) + \mathbf{d}_2(t)$$

$$k_2 > \|\Gamma_2\|$$

اکنون تابع لیاپانوفی به صورت (۶۷-۳) معرفی می‌کنیم :

$$V_2(\mathbf{s}_2, \tilde{k}_2, \tilde{m}) = 0.5m\mathbf{s}_2^T\mathbf{s}_2 + 0.5\gamma_m\tilde{m}^2 + 0.5\gamma_2\tilde{k}_2 \quad (۶۷-۳)$$

\tilde{m} و \tilde{k}_2 خطای تخمین و \hat{m} و \hat{k}_2 تخمین m, k_2 می‌باشند :

$$\tilde{m} = m - \hat{m}$$

$$\tilde{k}_2 = k_2 - \hat{k}_2$$

با مشتق گیری از تابع لیاپانوف خواهیم داشت :

$$\dot{V}_2(\mathbf{s}_2, \tilde{k}_2, \tilde{m}) = \mathbf{s}_2^T m \dot{\mathbf{s}}_2 - \gamma_m^{-1} \tilde{m} \dot{\tilde{m}} - \gamma_2^{-1} \tilde{k}_2 \dot{\tilde{k}}_2 \quad (۶۸-۳)$$

(۶۶-۳) را در رابطه (۶۸-۳) قرار می‌دهیم :

$$\begin{aligned} \dot{V}_2(\mathbf{s}_2, \tilde{k}_2, \tilde{m}) = & \mathbf{s}_2^T (\tilde{m}(\ddot{\xi}_r + \mathbf{g}_z) - \mathbf{k}_{d2}\mathbf{s}_2 + \Gamma_2 - \hat{k}_2 \mathbf{U}_{vd}) \\ & - \gamma_m^{-1} \tilde{m} \dot{\tilde{m}} - \gamma_2^{-1} \tilde{k}_2 \dot{\tilde{k}}_2 \end{aligned} \quad (۶۷-۳)$$

همچنین با استفاده از روابط زیر معادله (۶۷,۳) را به صورت (۶۸,۳) ساده می‌کنیم :

$$\mathbf{s}_2^T \Gamma_2 \leq \|\mathbf{s}_2\| \|\Gamma_2\| \leq \|\mathbf{s}_2\| k_2$$

$$\mathbf{s}_2^T \hat{k}_2 = \|\mathbf{s}_2\| \hat{k}_2$$

$$\begin{aligned} \dot{V}_2(\mathbf{s}_2, \tilde{k}_2, \tilde{m}) = & -\mathbf{s}_2^T \mathbf{k}_{d2} \mathbf{s}_2 + \mathbf{s}_2^T \tilde{m} (\ddot{\xi}_r + \mathbf{g}_z) + \|\mathbf{s}_2\| (k_2 - \hat{k}_2) \\ & - \gamma_m^{-1} \tilde{m} \dot{\tilde{m}} - \gamma_2^{-1} \tilde{k}_2 \dot{\tilde{k}}_2 \end{aligned}$$

$$\begin{aligned} \dot{V}_2(\mathbf{s}_2, \tilde{k}_2, \tilde{m}) = & -\mathbf{s}_2^T \mathbf{k}_{d2} \mathbf{s}_2 + \mathbf{s}_2^T \tilde{m} (\ddot{\xi}_r + \mathbf{g}_z - \gamma_m^{-1} \dot{\tilde{m}}) \\ & + \tilde{k}_2 (\|\mathbf{s}_2\| - \gamma_2^{-1} \dot{\tilde{k}}_2) \end{aligned} \quad (۶۸-۳)$$

در نهایت قوانین تطبیق به صورت زیر بدست می‌آیند :

$$\tilde{m} [\mathbf{s}_2^T (\ddot{\xi}_r + \mathbf{g}_z) + \gamma_m^{-1} \dot{\tilde{m}}] = 0 \implies \dot{\tilde{m}} = \gamma_m \mathbf{s}_2^T (\ddot{\xi}_r + \mathbf{g}_z)$$

$$\tilde{k}_2 (\|\mathbf{s}_2\| - \gamma_2^{-1} \dot{\tilde{k}}_2) = 0 \implies \dot{\tilde{k}}_2 = \gamma_2 \|\mathbf{s}_2\| \quad (۶۹-۳)$$

برای جلوگیری از واگرا شدن پارامترهای تطبیق به صورت زیر عمل می‌کنیم :

$$\begin{aligned}\dot{\hat{m}} &= \gamma_m \mathbf{s}_2^T (\ddot{\xi}_r + \mathbf{g}_z) - \sigma_m \hat{m} \\ \dot{\hat{k}}_2 &= \gamma_2 \|\mathbf{s}_2\| - \sigma_2 \hat{k}_2\end{aligned}\quad (70-3)$$

استفاده از قوانین کنترلی (71,3) و (72,3) باعث به وجود آمدن لرزش در سیگنال کنترل می‌شود، لرزش در سیگنال کنترل در عمل باعث ناپایداری سیستم می‌شود، برای جلوگیری از این اتفاق τ_d و U_{vd} را به صورت روابط (72,3) و (73,3) تغییر می‌دهیم :

$$\begin{aligned}\tau_d &= k_1 \frac{\mathbf{s}_1}{\|\mathbf{s}_1\| + \epsilon_1} & \epsilon_1 &> 0 \\ U_{vd} &= k_2 \frac{\mathbf{s}_2}{\|\mathbf{s}_2\| + \epsilon_2} & \epsilon_2 &> 0\end{aligned}\quad (71-3)$$

۳-۳-۳ بررسی پایداری

با انتخاب قوانین تطبیق به صورت (59-3) (69-3) و (70-3) داریم :

$$\begin{aligned}\dot{V}_1 &= -\mathbf{s}_1^T \mathbf{k}_{d1} \mathbf{s}_1 \leq 0 \\ \dot{V}_2 &= -\mathbf{s}_2^T \mathbf{k}_{d2} \mathbf{s}_2 \leq 0\end{aligned}\quad (72-3)$$

روابط فوق نشان می‌دهند که همچنانکه زمان به سمت بی‌نهایت میل می‌کند:

$$\dot{V}_1 \rightarrow 0 \quad \text{و} \quad \dot{V}_2 \rightarrow 0$$

که دلیل بر این دارد که :

$$\mathbf{s}_1 \rightarrow 0 \quad \text{و} \quad \mathbf{s}_2 \rightarrow 0$$

که نشان می‌دهد $e_1 \rightarrow 0$ ، $e_2 \rightarrow 0$ و $\dot{e}_1 \rightarrow 0$ ، $\dot{e}_2 \rightarrow 0$ بنابراین پایداری کل سیستم و همگرایی هر دو به وسیله قانون کنترل تطبیقی (65-3) و (48-3) تضمین می‌شود.

اثبات :

با در نظر گرفتن \dot{V}_2 و \dot{V}_1 بدست آمده در (72-3) کافی است نشان دهیم :

$$\dot{V}_1 \text{ و } \dot{V}_2 \rightarrow 0 \text{ as } t \rightarrow \infty \implies \mathbf{s}_1 \text{ و } \mathbf{s}_2 \rightarrow 0$$

V_1 و V_2 مثبت معین هستند لم باربالا نشان می‌دهد \dot{V}_1 و \dot{V}_2 به سمت صفر میل می‌کنند، در صورتی که پیوسته یکنواخت باشند و بطور خاص اگر \dot{V}_1 و \dot{V}_2 کراندار باشد :

$$\dot{V}_1 \text{ و } \dot{V}_2 \text{ کراندار} \implies \dot{V}_1 \text{ و } \dot{V}_2 \rightarrow 0 \implies s_1 \text{ و } s_2 \rightarrow 0$$

حال باید کراندار بودن \dot{V}_1 و \dot{V}_2 را اثبات نماییم. اگر از معادلات (۷۲-۳) مشتق بگیریم :

$$\dot{V}_1 = -2s_1^T k_{d1} \dot{s}_1$$

$$s_1 \text{ و } \dot{s}_1 \text{ کراندار} \implies \dot{V}_1 \text{ کراندار} \implies \dot{V}_1 \rightarrow 0 \implies s_1 \rightarrow 0$$

$$\dot{V}_2 = -2s_2^T k_{d2} \dot{s}_2$$

$$s_2 \text{ و } \dot{s}_2 \text{ کراندار} \implies \dot{V}_2 \text{ کراندار} \implies \dot{V}_2 \rightarrow 0 \implies s_2 \rightarrow 0$$

حال باید نشان دهیم s_1 ، \dot{s}_1 و s_2 ، \dot{s}_2 کراندار هستند با توجه به اینکه $V_1 > 0$ ، $V_2 > 0$ و $\dot{V}_1 \leq 0$ ، $\dot{V}_2 \leq 0$ و V_1 و V_2 کراندار باقی می‌مانند ، توابع V_1 و V_2 معرفی شده در (۵۱-۳) و (۶۷-۳) اشاره بر این دارد که s_1 و s_2 و \hat{k}_1 و \hat{k}_2 و \hat{m} کراندار هستند. همچنین با توجه به دینامیک‌های حلقه بسته در می‌یابیم \dot{s}_1 و \dot{s}_2 نیز کراندار هستند. که این نشان می‌دهد. با میل کردن زمان به سمت بی‌نهایت $e_1 \rightarrow 0$ ، $e_2 \rightarrow 0$ ، $\dot{e}_1 \rightarrow 0$ ، $\dot{e}_2 \rightarrow 0$ و پایداری کلی سیستم اثبات می‌شود.

فصل ۴

نتایج و شبیه سازی

مقدمه :

در این فصل کارایی کنترل کننده به وسیله شبیه سازی بررسی می شود. در بخش (۱-۴) معادله موتور استفاده شده برای کوادروتور معرفی می شود. در بخش (۲-۴) نتایج شبیه سازی مربوط به کنترل کننده ها شرح داده می شود. ابتدا کنترل کننده خطی ساز پسخورد بخش (۳-۳) شبیه سازی شده است، سپس نتایج استفاده از کنترل کننده مد لغزشی تطبیقی بخش (۲-۴) بررسی می شود. توجه به این نکته حائز اهمیت است که برای دستیابی بیشتر به نتایج واقعی، شبیه سازی با استفاده از مدل دینامیکی که هیچگونه ساده سازی در آن در نظر گرفته نشده، انجام شده است. پارامترهای به کار رفته در شبیه سازی در بخش (۴-۴) در جدول های (۱-۴) تا (۳-۴) ذکر شده است.

۱-۴ مدل دینامیکی عملگرها :

مدل دینامیکی عملگرها که با در نظر گرفتن تبدیلات بین دنده ها و مشخصات گردنده و دینامیک موتور بدست آمده است به صورت رابطه (۱-۴) می باشد [۳۱]. A, B, C ضرایب ثابت، v ولتاژ ورودی از روش PWM و ω_p سرعت چرخش گردنده ها بر حسب رادیان بر ثانیه می باشند. در عمل کنترل سرعت موتورها بر عهده چهار کنترل کننده سرعت الکترونیکی با روش مدولاسیون پهنای پالس است در این پایان نامه تاثیر دینامیک عملگرها از مدل حذف نشده و برای کنترل سرعت از کنترل کننده تناسبی انتگرالی ساده استفاده شده است.

$$\dot{\omega}_p = A\omega_p + B\omega_p^2 + Cv \quad (1-4)$$

در طراحی کنترل کننده حرکت چرخشی نیاز به مشتقات مرتبه اول و دوم زوایای چرخش و فراز می باشد، برای جلوگیری از مشتق گیری که موجب ناپایداری سیستم شود، از یک فیلتر به صورت رابطه (۲-۴) استفاده می شود:

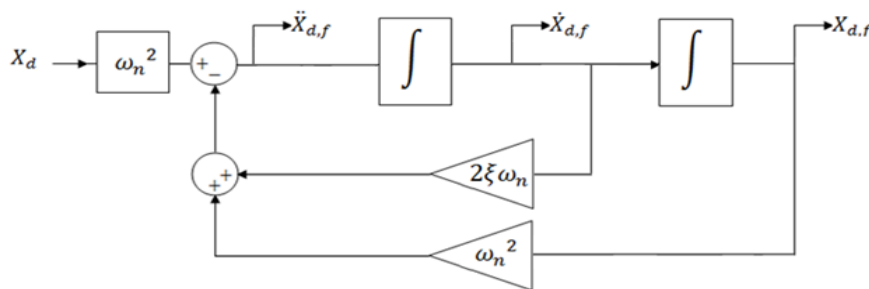
$$X_{d,filter} = \frac{\omega_n^2}{s^2 + 2\xi\omega_n s + \omega_n^2} X_d \quad (2-4)$$

رابطه بالا را به حوزه زمان می‌بریم :

$$\ddot{X}_{d,f} = \omega_n^2 X_d - 2\xi\omega_n \dot{X}_{d,f} - \omega_n^2 X_{d,f} \quad (۳-۴)$$

با استفاده از بلوک دیاگرام نشان داده شده در شکل (۵،۴) مشتقات مرتبه اول و دوم را به صورت نرم و

هموار در اختیار خواهیم داشت :



شکل (۴-۱) بلوک دیاگرام مشتق‌گیری نرم و هموار

۴-۲ نتایج شبیه‌سازی با استفاده از خطی سازی پسخورد

در این قسمت نتایج شبیه‌سازی کنترل خطی‌سازی پسخورد روی کوادروتور ارائه شده است. در شبیه‌سازی اول به بحث تنظیم و ردگیری مسیر مرجع توسط زوایای اوایلر و متغیر ارتفاع پرداخته می‌شود. در قسمت بعد نتایج شبیه‌سازی ردگیری یک مسیر مرجع توسط کوادروتور بررسی می‌شود. روش اول بدست آوردن زوایای مطلوب اوایلر شرح داده شد در فصل سوم را در این بخش بررسی می‌شود. و روش دوم در بخش مربوط به کنترل لغزشی تطبیقی استفاده می‌شود.

۴-۲-۱ شبیه‌سازی اول :

۴-۲-۱-۱ تنظیم

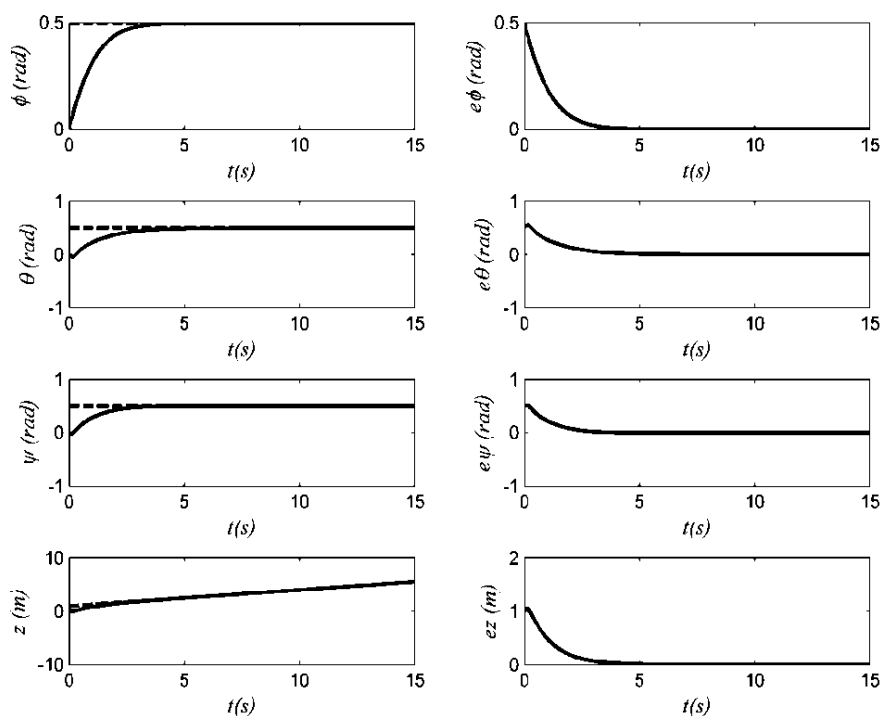
مقادیر مطلوب به صورت زیر انتخاب شده است و پارامترها در جداول انتهایی این فصل آورده شده است:

$$\varphi_d = 0.5[rad] \quad \theta_d = 0.5[rad] \quad \psi_d = 0.5[rad] \quad z_d = 2.5[m]$$

همچنین مقادیر اولیه به صورت زیر می‌باشد :

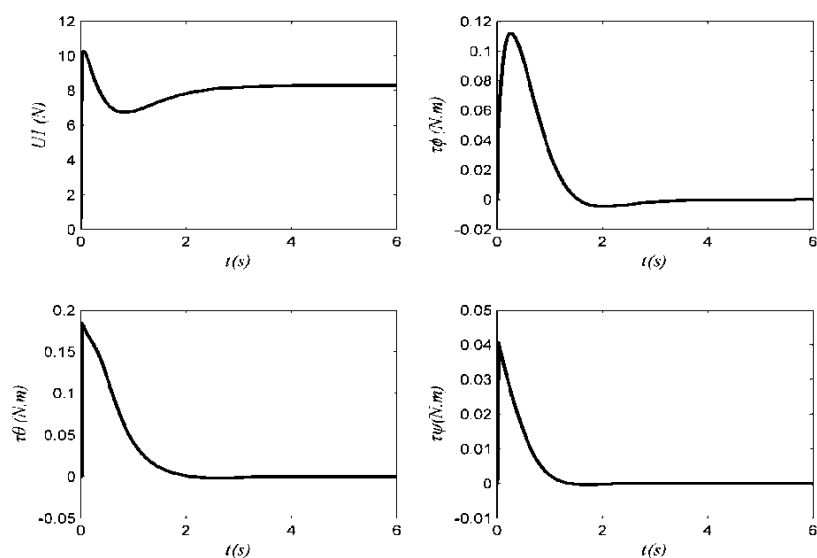
$$\varphi(0) = 0[rad] \quad \theta(0) = 0[rad] \quad \psi(0) = 0[rad] \quad z(0) = 0[m]$$

شبیه سازی در محیط سیمولینک نرم افزار متلب با زمان نمونه برداری $T = 0.01s$ برای مدت زمان ۶ ثانیه انجام می شود. شکل (۲-۴) زوایای اوایلر و ارتفاع و خطاهای مربوطه را نشان می دهد.



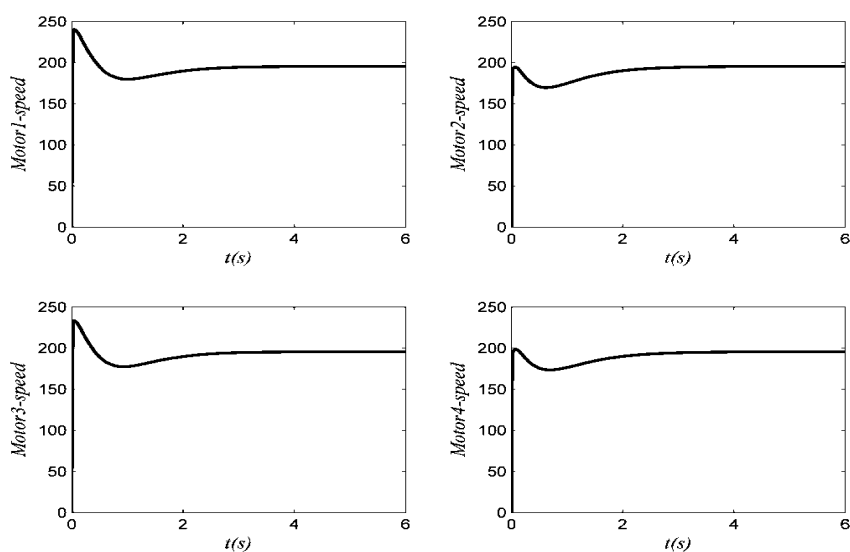
شکل (۲-۴) زوایای اوایلر و ارتفاع به همراه خطای تنظیم با خطی سازی پسخورد

شکل (۳-۴) سیگنال های کنترلی اعمال شده به مدل کوادروتور را می توان مشاهده کرد، تلاش کنترلی مربوط به زوایای اوایلر پس از رسیدن جهت گیری کوادروتور به مقادیر مطلوب به سمت عددی بسیار کوچک میل می کنند، سیگنال کنترل مربوط به ارتفاع برای غلبه بر وزن پرنده و باقی ماندن در ارتفاع مورد نظر روی عدد 8.28 ثابت می ماند.



شکل (۴-۳) ورودی‌های کنترل برای تنظیم $(\varphi, \theta, \psi, z)$ با خطی سازی پس‌خورد

همچنین سرعت گردنده‌ها در شکل (۴-۴) نشان داده شده است.



شکل (۴-۴) سرعت چرخش گردنده‌ها برای تنظیم $(\varphi, \theta, \psi, z)$ با خطی سازی پس‌خورد

۴-۲-۱-۲-۲ ردگیری :

مسیر مطلوب جهت ردگیری زوایای اوایلر و ارتفاع به صورت زیر انتخاب شده است :

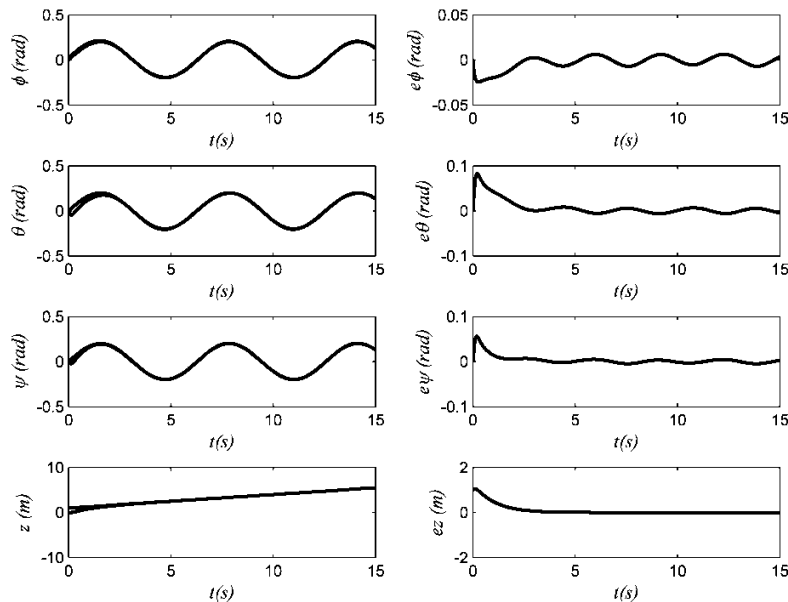
$$\varphi_d = 0.2\sin t \quad \theta_d = 0.2\sin t \quad \psi_d = 0.2\sin t \quad z_d = 1 + 0.3t$$

همچنین مقادیر اولیه به صورت زیر انتخاب می شود :

$$\varphi(0) = 0.5[\text{rad}] \quad \theta(0) = -0.5[\text{rad}] \quad \psi(0) = -0.3[\text{rad}] \quad z(0) = 0[\text{m}]$$

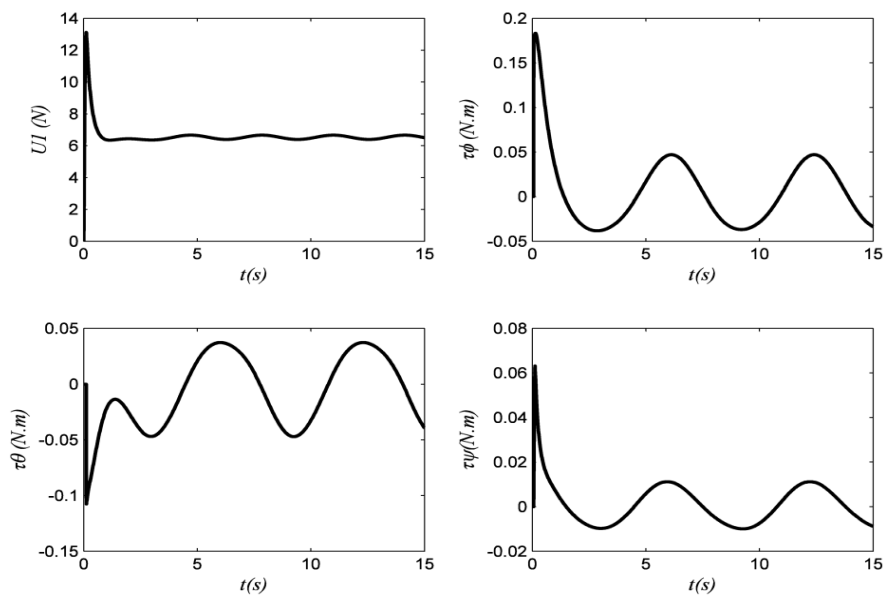
شبیه سازی با زمان نمونه برداری $T = 0.01\text{s}$ برای مدت زمان ۱۵ ثانیه انجام می شود. شکل (۴-۵)

زوایای اوایلر و ارتفاع را به همراه خطاها را نشان می دهد، حداکثر خطا برای زوایای اوایلر حدود 0.02 رادیان و برای ارتفاع حدود 0.001 متر می باشد.



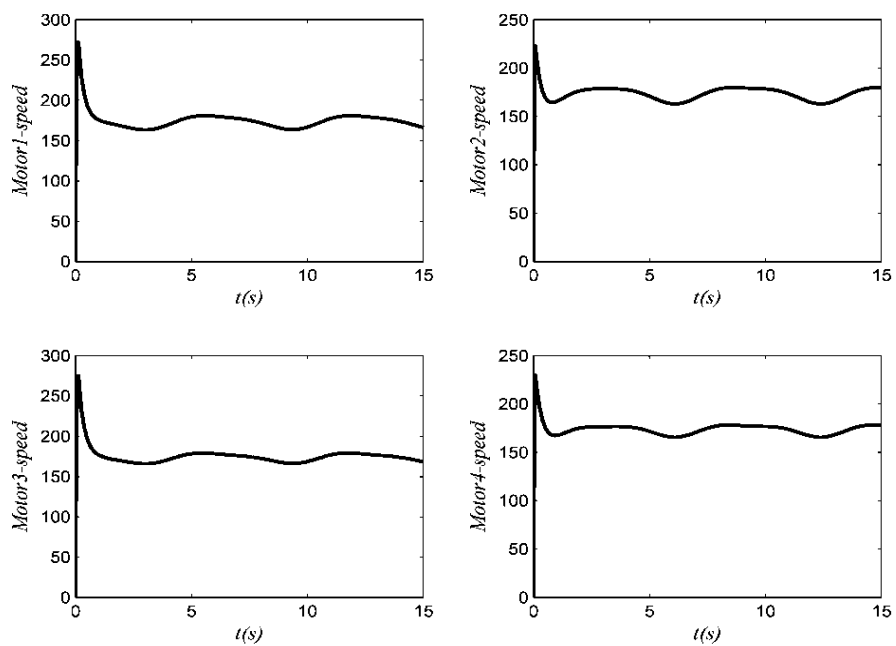
شکل (۴-۵) زوایای (φ, θ, ψ) و ارتفاع به همراه خطای ردگیری خطی سازی پس خورد.

در شکل (۴-۶) سیگنالهای کنترلی اعمال شده به مدل کوادروتور را می توان مشاهده کرد، ورودی های کنترلی مربوط به زوایای اوایلر برای ردگیری مسیر مرجع به صورت سینوسی نوسان می کنند، ورودی کنترل مربوط به ارتفاع با توجه به معادلات دینامیکی (۲-۴۰) مربوط به حرکت انتقالی که نشان می دهد. دینامیک ارتفاع وابسته به زوایای چرخش و فراز می باشد، برای غلبه بر اثر این زوایا روی ارتفاع به صورت سینوسی با دامنه کوچک نوسان می کند.



شکل (۴-۶) ورودی‌های کنترل ردگیری $(\varphi, \theta, \psi, z)$ با خطی‌سازی پسخورد.

همچنین سرعت چرخش گردنده‌ها در شکل (۴-۷) نشان داده شده است :



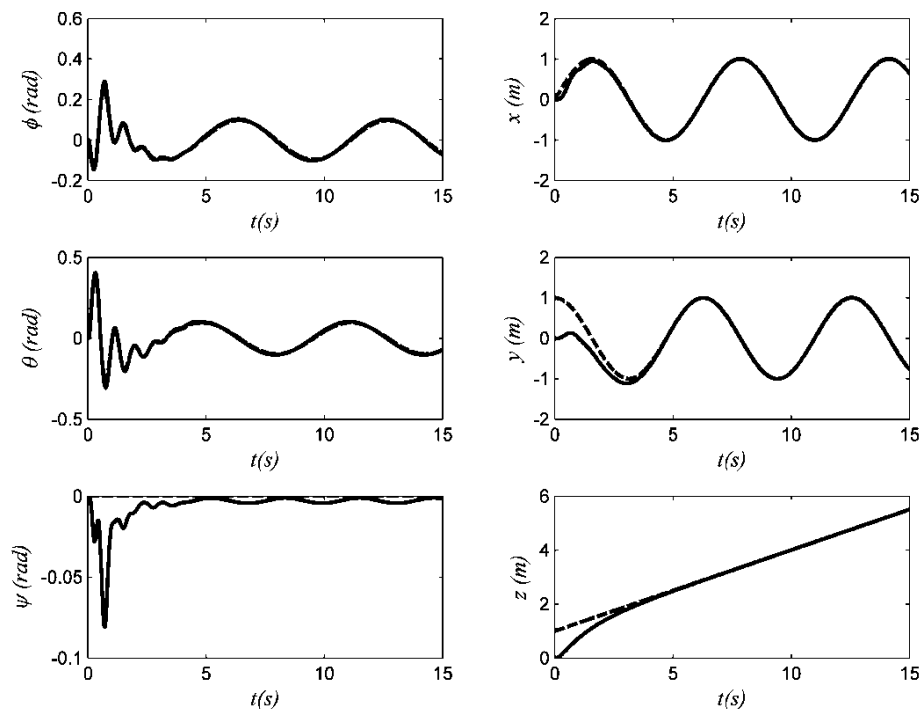
شکل (۴-۷) سرعت چرخش گردنده‌ها در حالت ردگیری $(\varphi, \theta, \psi, z)$ با خطی‌سازی پسخورد

۴-۲-۲ شبیه سازی دوم :

در بخش (۳-۳) دو روش محاسبه زوایای مطلوب چرخش و فراز برای حرکت کوادروتور روی محورهای افقی شرح داده شد در این قسمت روش اول به کار گرفته شده است. در این بخش به تحلیل نتایج به دست آمده از شبیه سازی ردگیری مسیر مرجع توسط کوادروتور می‌پردازیم. مسیر مطلوب حرکت کوادروتور به صورت زیر انتخاب شده است :

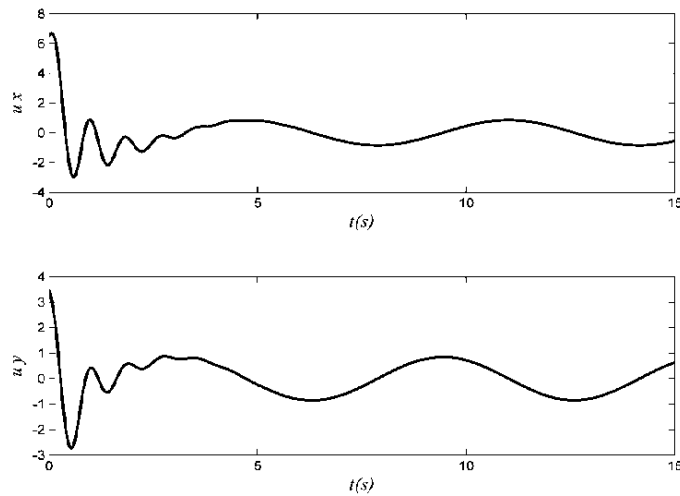
$$x_d = \sin t \quad y_d = \cos t \quad z_d = 1 + 0.3 t \quad \psi_d = 0$$

ردگیری مسیر مرجع توسط کوادروتور در شکل (۴-۸) نشان داده شده است، خطوط خط چین نشان دهنده مسیر مطلوب و خطوط کامل مسیر ردگیری شده واقعی را نشان می‌دهد :



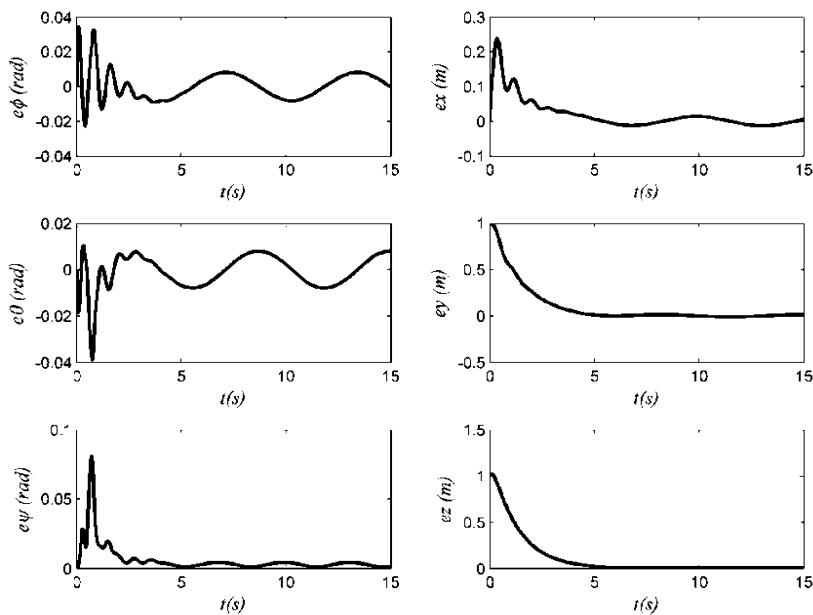
شکل (۴-۸) موقعیت مکانی و زاویه‌ای کوادروتور در حالت ردگیری با خطی سازی پس‌خورد

ورودی‌های کنترلی مجازی u_x و u_y را می‌توان در شکل (۴-۹) مشاهده کرد. تغییرات زمانی زوایای φ و θ دقیقاً مانند ورودی‌های u_x و u_y می‌باشد.



شکل (۹-۴) ورودی‌های کنترلی u_x و u_y .

شکل (۱۰-۴) خطای ردگیری مسیر مرجع و خطای حرکت چرخشی کوادروتور را نشان می‌دهد.



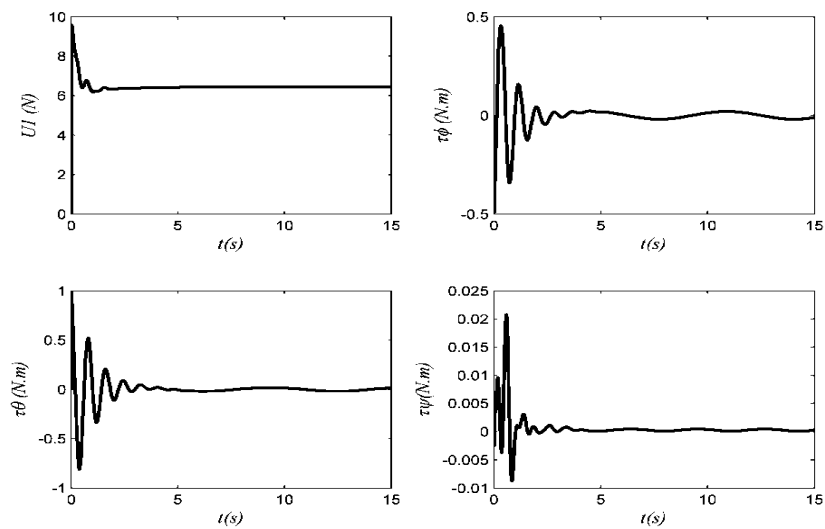
شکل (۱۰-۴) خطای ردگیری حرکت چرخشی و انتقالی کوادروتور با خطی سازی پس‌خورد.

بیشترین مقدار خطای حرکت انتقالی $e_{t-max} = [0.02 \ 0.02 \ 0.005](m)$ و بیشترین خطای حرکت

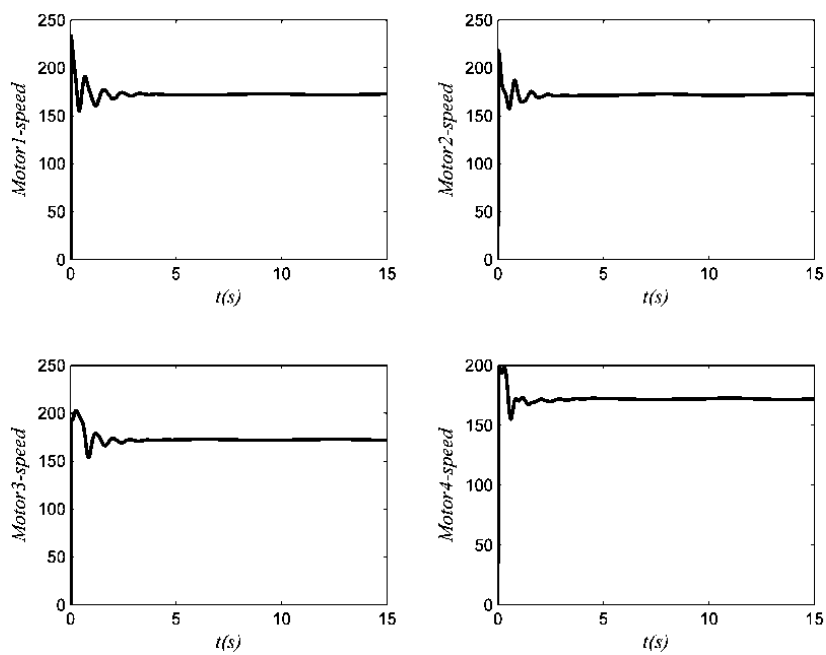
چرخشی $e_{r-max} = [0.01 \ 0.02 \ 0.025](rad)$ می‌باشد. شکل‌های (۱۱-۴) و (۱۲-۴) به ترتیب

قوانین کنترلی، سرعت گردنده‌ها را نشان می‌دهند. همانطور که در شکل (۱۲-۴) مشاهده می‌شود، برای

داشتن حرکت مارپیچ سرعت موتورها به صورت شبه سینوسی نوسان می‌کند.

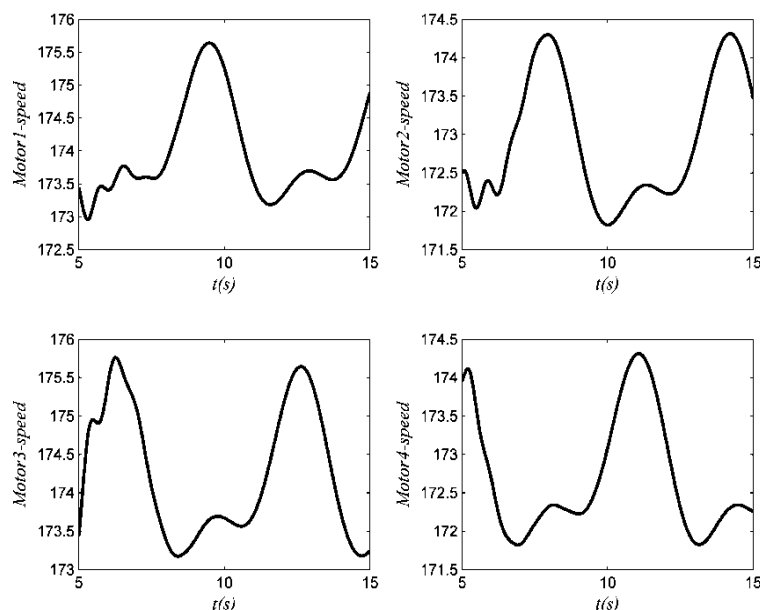


شکل (۴-۱۱) قوانین کنترل ردگیری با خطی سازی پسخورد



شکل (۴-۱۲) سرعت چرخش گردنده‌ها در حالت ردگیری با خطی سازی پسخورد

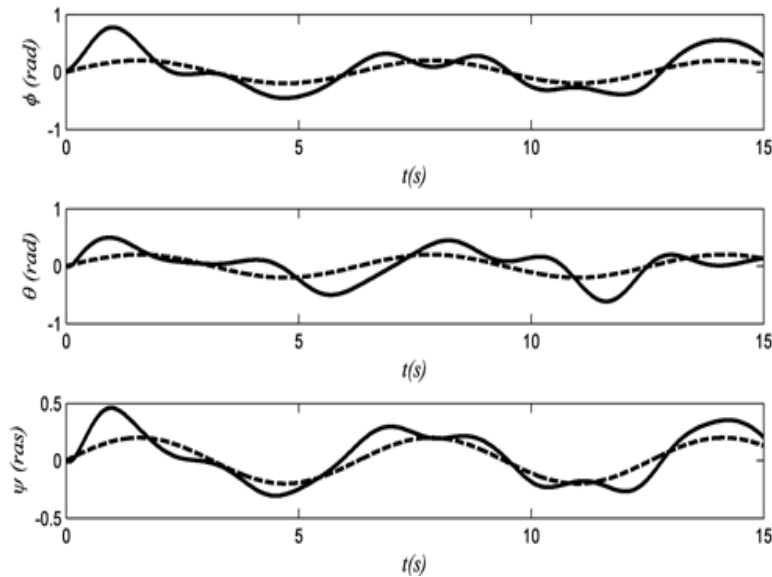
این تغییرات در شکل (۴-۱۳) به خوبی از نزدیک قابل مشاهده است.



شکل (۴-۱۳) تغییرات سرعت چرخش گردنده‌ها برای ردگیری

۳-۴ شبیه سازی با استفاده از کنترل کننده مد لغزشی تطبیقی

در این بخش شبیه سازی معادلات دینامیکی سیستم حرکت انتقالی و چرخشی را با حضور اغتشاش و دینامیک مدل نشده، با استفاده از کنترل کننده‌های طراحی شده در بخش (۳-۵) تحلیل و بررسی می‌شود. همچنین در کنترل کننده حرکت انتقالی از روش دوم که در بخش (۳-۴) توضیح داده شد استفاده شده است. و جرم کوادروتور با استفاده از روش کنترل تطبیقی تخمین زده می‌شود. در شبیه سازی از ۲۵ درصد نامعینی در پارامترهای ثابت سیستم استفاده شده است. ابتدا سیستم حرکت چرخشی کوادروتور به همراه کنترل کننده خطی ساز پسخورد، تحت اغتشاش باد قرار داده می‌شود، تا توان کنترل کننده در برابر اغتشاش سنجیده شود. همانطور که در شکل (۴-۱۳) مشاهده می‌شود ردگیری زوایای مطلوب به صورت نامناسب انجام شده است، که این امر در دراز مدت موجب ناپایداری و عدم دقت در انجام ماموریت و یا حتی با شدید بودن نیروی باد احتمال سقوط و صدمه دیدن کوادروتور وجود دارد.



شکل (۴-۱۴) جهت گیری زوایای اوپلر تحت تاثیر اغتشاش با خطی سازی پس‌خورد

برای مقاوم کردن سیستم در برابر اغتشاش از کنترل کننده پیشنهادی در بخش (۳-۳) استفاده می‌شود، به طوریکه سیستم دارای عدم قطعیت پارامتری و غیر پارامتری و تحت اغتشاش باد می‌باشد. مجدداً مسیر مطلوب جهت ردگیری به صورت زیر انتخاب می‌شود :

$$\varphi_d = 0.2\sin t \quad \theta_d = 0.2\sin t \quad \psi_d = 0.2\sin t \quad z_d = 1 + 0.3t$$

همچنین مقادیر اولیه به صورت زیر می‌باشد :

$$\varphi(0) = 0.5[\text{rad}] \quad \theta(0) = -0.5[\text{rad}] \quad \psi(0) = -0.3[\text{rad}] \quad z(0) = 0[\text{m}]$$

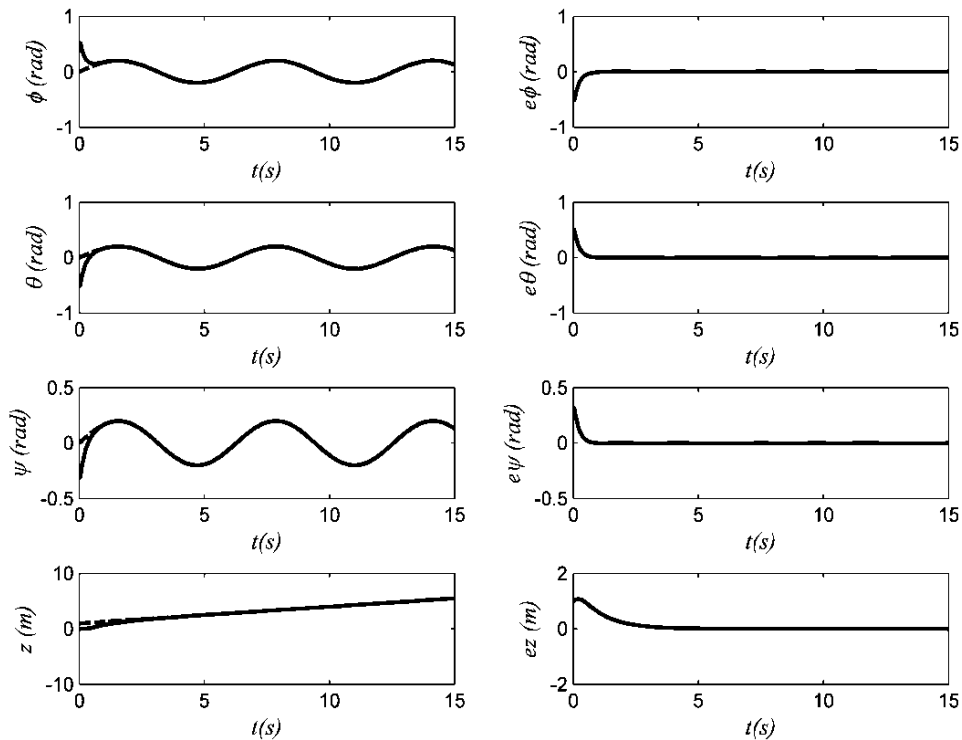
اغتشاش باد به صورت روابط زیر در نظر گرفته است :

$$d_\varphi = 2.5(\sin t(0.8\pi t) + \cos(0.7\pi t) + \cos(0.3\pi t) + \sin(\pi t) + \cos(0.6\pi t))$$

$$d_\theta = 2.5(\cos t(0.8\pi t) + \sin(0.7\pi t) + \sin(0.3\pi t) + \cos(\pi t) + \sin(0.6\pi t))$$

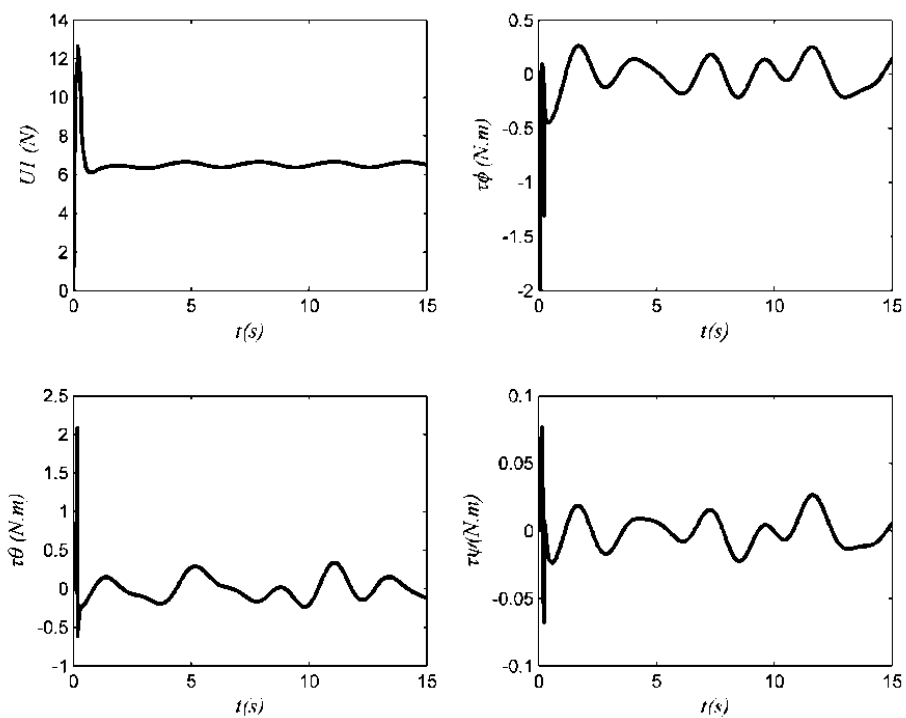
$$d_\psi = 1.5(\cos t(0.8\pi t) + \sin(0.7\pi t) + \sin(0.3\pi t) + \cos(\pi t) + \sin(0.6\pi t))$$

شبیه سازی زمان نمونه برداری $T = 0.01s$ برای ۱۵ ثانیه انجام می شود. شکل (۴-۱۵) زوایای اوایلر و ارتفاع به همراه نمودارهای خطا را نشان می دهد.

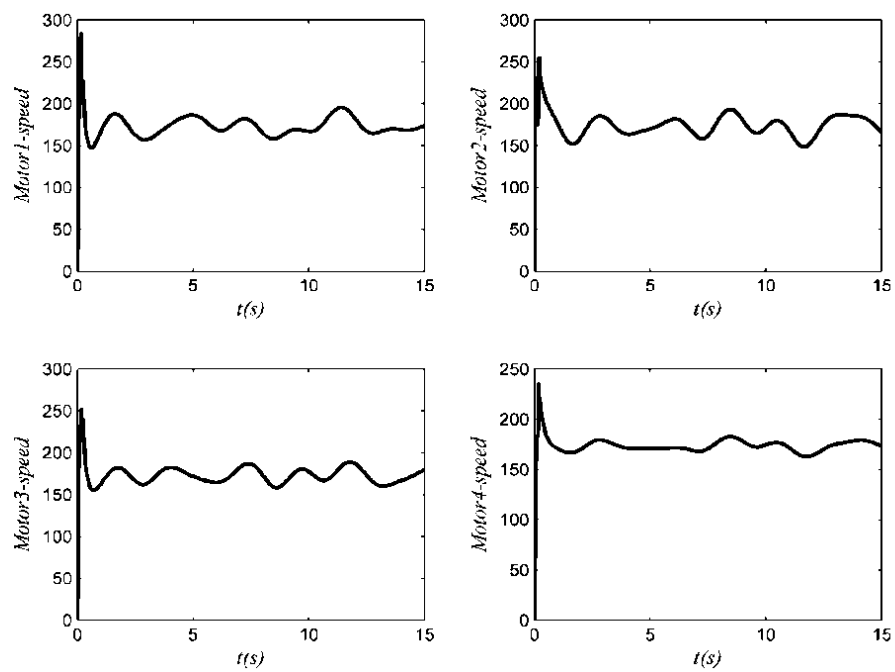


شکل (۴-۱۵) ردگیری زوایای (φ, θ, ψ) و ارتفاع به همراه خطا کنترل کننده لغزشی تطبیقی

خطای زوایای اوایلر و ارتفاع را نمایش می دهد، حداکثر خطا برای زوایای اوایلر حدود ۰.۰۱ رادیان می باشد. در شکل (۴-۱۶) سیگنال های کنترلی اعمال شده به کوادروتور و شکل (۴-۱۷) سرعت چرخش گردنده ها را نشان می دهند، ورودی های کنترلی مربوط به زوایای اوایلر برای ردگیری مسیر به صورت سینوسی نوسان می کنند، سیگنال کنترل مربوط به ارتفاع با توجه به اینکه معادله دینامیکی مربوط به ارتفاع وابسته به زوایای چرخش و فراز می باشد، برای غلبه بر اثر این زوایا روی ارتفاع به صورت سینوسی با دامنه کوچک نوسان می کند.

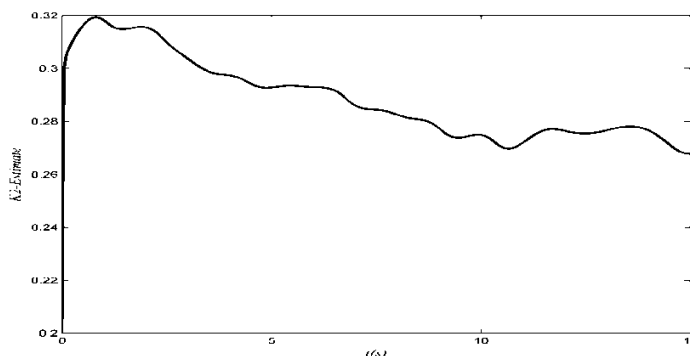


شکل (۴-۱۶) قوانین کنترل مربوط به کنترل کننده لغزشی تطبیقی در حضور اغتشاش



شکل (۴-۱۷) سرعت چرخش گردنده‌ها با کنترل کننده لغزشی تطبیقی در حضور اغتشاش

در شکل (۴-۱۸) حد بالای عدم قطعیت که توسط کنترل کننده لغزشی تطبیقی تخمین زده شده است مشاهده می‌شود.



شکل (۴-۱۸) تخمین حد بالای عدم قطعیت

ملاحظه شد که کنترل کننده مقاوم لغزشی تطبیقی طراحی شده در فصل سوم به خوبی توانست برخلاف کنترل کننده خطی ساز پس‌خورد در حضور اغتشاش پایداری و ردگیری مسیر تعیین شده برای سیستم حرکت چرخشی را تضمین کند، اکنون به بررسی نتایج شبیه سازی کوادروتور در ردگیری مسیر مرجع مارپیچ در حضور اغتشاش روی سیستم، حرکت انتقالی و چرخشی و همین‌طور با در نظر گرفتن دینامیک مدل نشده و عدم قطعیت پارامتری می‌پردازیم. مانند قسمت قبل مسیر ردگیری مرجع به صورت زیر انتخاب می‌شود:

$$x_d = 2 \sin t \quad y_d = 2 \cos t \quad z_d = 1 + 0.3 t \quad \psi_d = 0$$

شرایط اولیه همگی صفر می‌باشند و اغتشاش باد از ثانیه ۸ تا ۲۰ به سیستم اعمال می‌شود که به صورت روابط زیر در نظر گرفته شده اند:

$$W_x = 0.5[\sin(0.6\pi t) + \cos(0.8\pi t)]$$

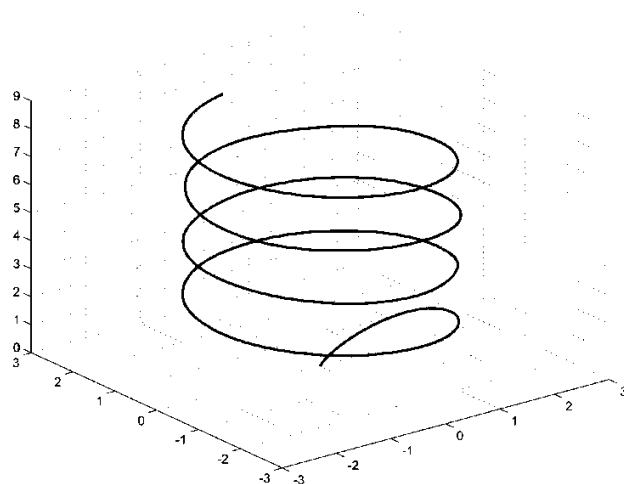
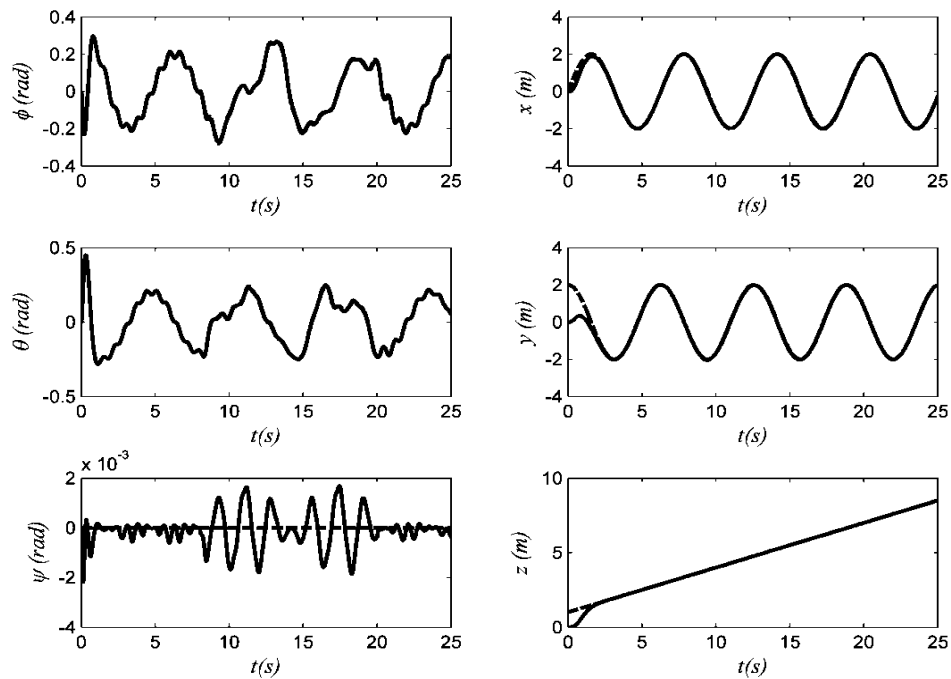
$$W_y = 0.5[\sin(0.8\pi t) + \cos(0.6\pi t)]$$

$$W_\phi = 20(\sin(5\pi t) + \cos(4\pi t))$$

$$W_\theta = -20(\sin(4\pi t) + \cos(5\pi t))$$

$$W_\psi = 2(\sin(4\pi t) + \cos(3\pi t))$$

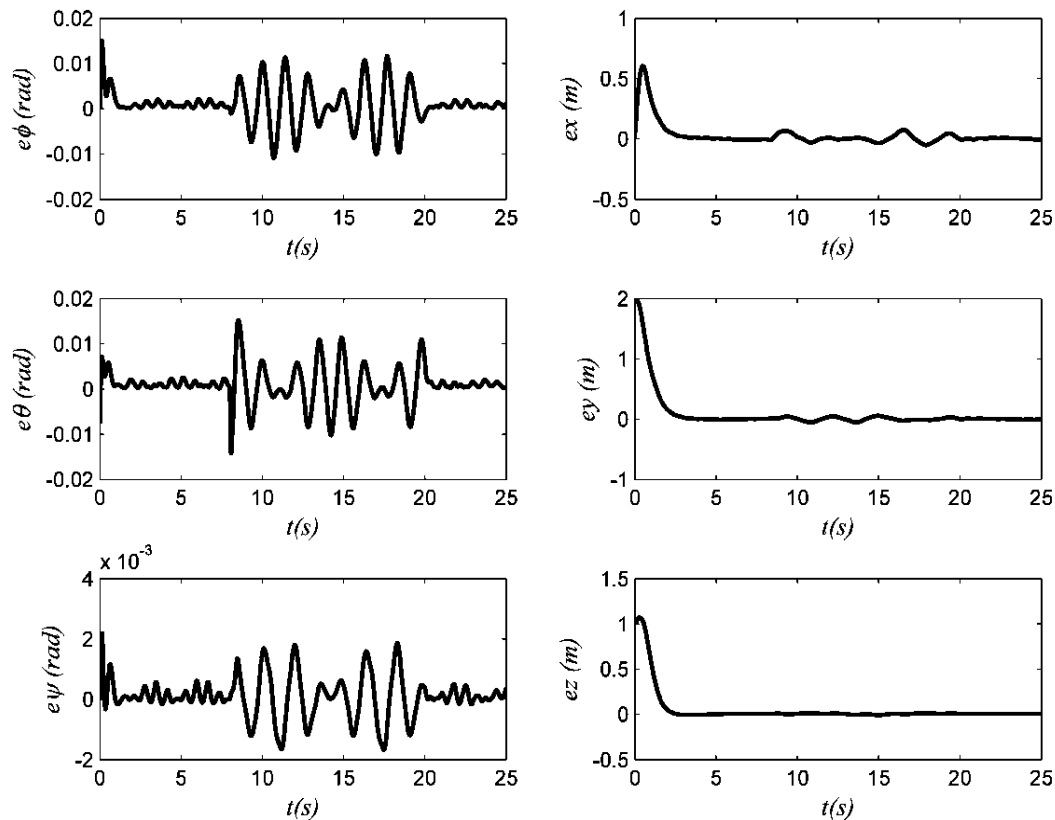
در شکل (۴-۱۹) ردگیری مسیر مرجع توسط کوادروتور و جهت گیری زوایای اوایلر در حضور اغتشاش نشان داده شده است.



شکل (۴-۱۹) ردگیری مسیر توسط کوادروتور در حضور اغتشاش با استفاده از کنترل کننده لغزشی تطبیقی خطای ردگیری مسیر مرجع برای حرکت انتقالی و چرخشی در شکل (۴-۲۰) نشان داده شده است. بیشترین مقدار خطای حرکت انتقالی $e_{t-max} = [0.08 \ 0.08 \ 0.02](m)$ و بیشترین خطای

حرکت چرخشی $e_{r-max} = [0.01 \ 0.015 \ 0.005](rad)$ می باشد. اگرچه این مقدار خطا در

حرکت انتقالی از حالت بدون اغتشاش بیشتر است اما در برابر حفظ تعادل کوادروتور قابل قبول می باشد.

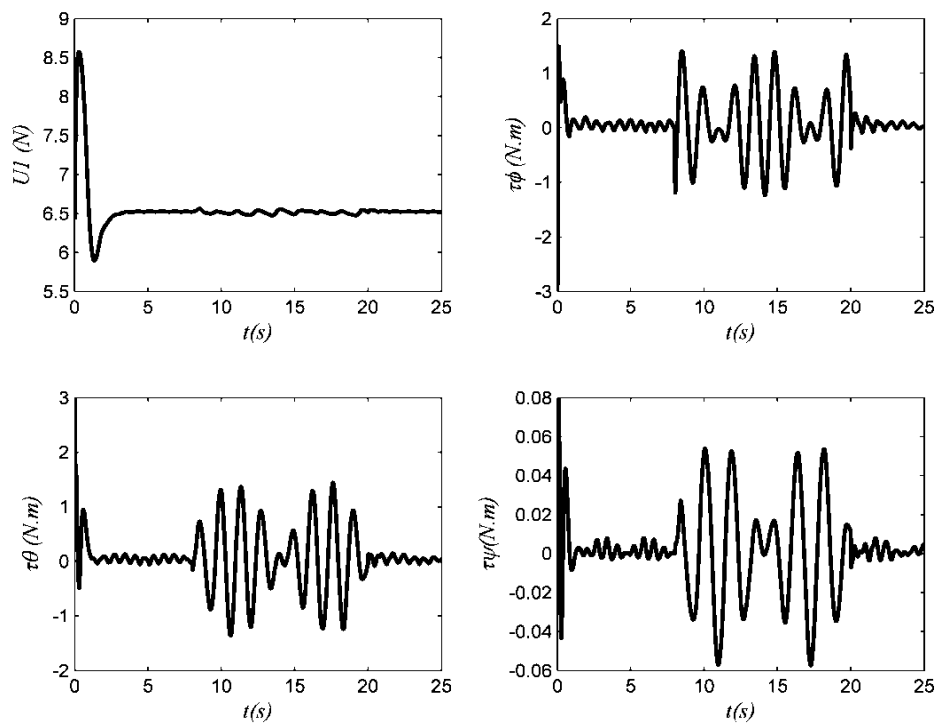


شکل (۴-۲۰) خطای ردگیری حرکات چرخشی و انتقالی در حضور اغتشاش با استفاده از کنترل کننده لغزشی تطبیقی

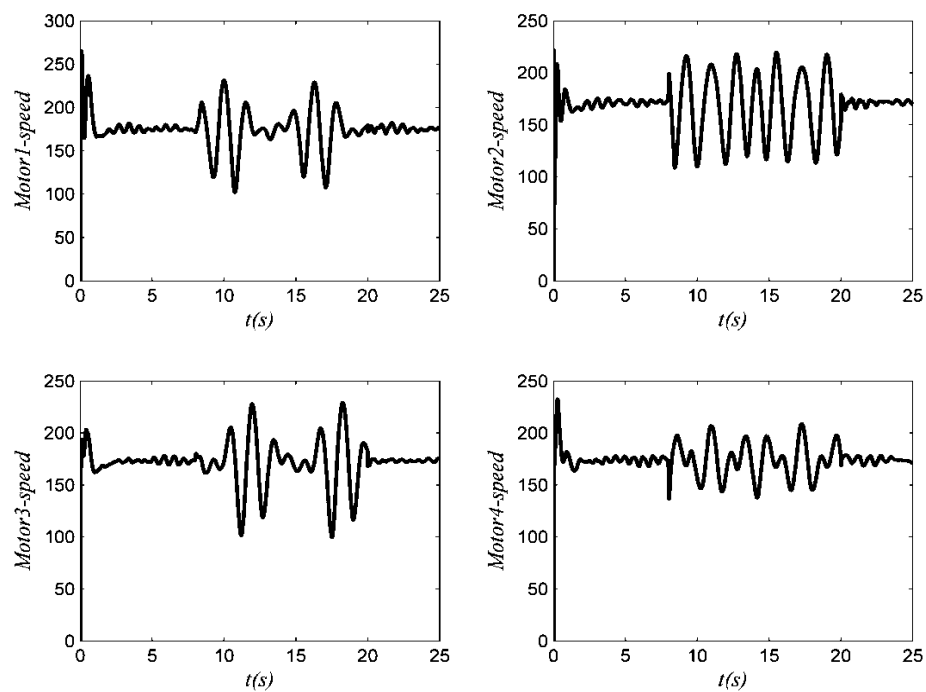
ورودی های کنترل و سرعت چرخش گردنده ها در شکل های (۴-۲۱) و (۴-۲۲) نشان داده شده است،

ملاحظه می شود تلاش کنترلی در بازه اعمال اغتشاش برای حفظ تعادل کوادروتور بیشتر شده است،

همچنین سرعت چرخش گردنده ها نیز متناسب با تاثیر اغتشاش تغییر می نماید.



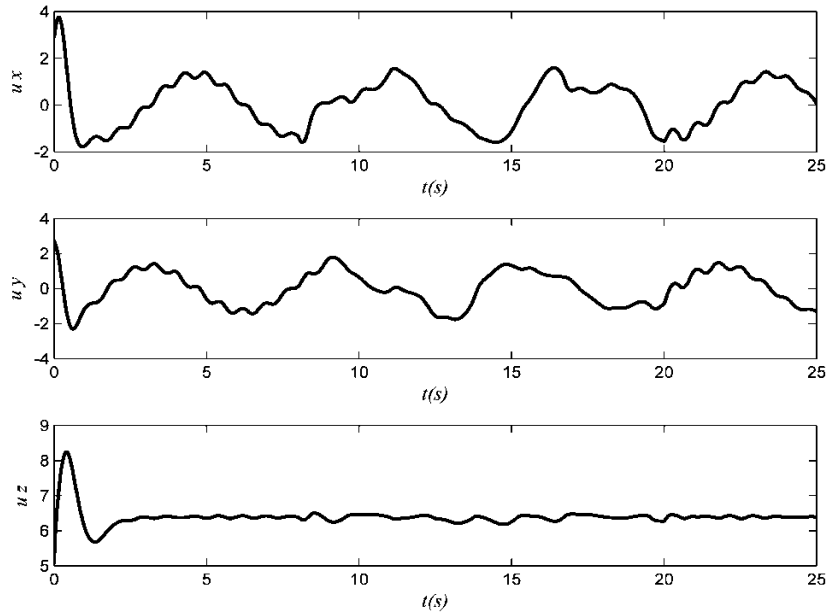
شکل (۴-۲۱) ورودی‌های کنترلی برای حالت ردگیری در حضور اغتشاش با استفاده از کنترل کننده لغزشی تطبیقی



شکل (۴-۲۲) سرعت‌های زاویه‌ای برای حالت ردگیری در حضور اغتشاش با استفاده از کنترل کننده لغزشی تطبیقی

ورودی های کنترل مجازی (u_x, u_y, u_z) به صورت شکل (۴-۲۳) می باشند، ملاحظه می شود که

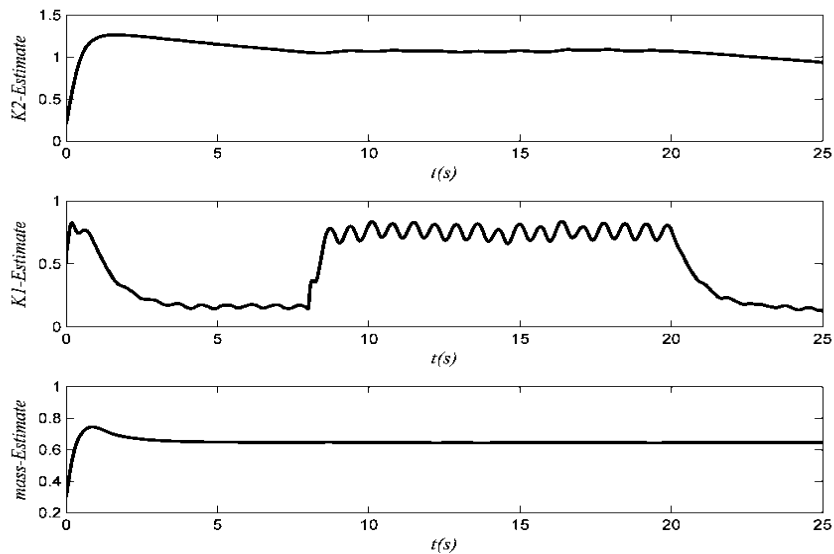
تغییرات زوایای φ و θ نسبت به زمان دقیقا مانند ورودی های کنترلی u_x, u_y می باشد.



شکل (۴-۲۳) ورودی های مجازی (u_x, u_y, u_z)

پارامترهای تخمین در شکل (۴-۲۴) نشان داده شده است مزیت استفاده از روش اصلاح شده سیگما در

جلوگیری از واگرا شدن پارامترها و ناپایداری سیستم در این شکل ها به خوبی قابل مشاهده است.



شکل (۴-۲۴) پارامترهای تخمین زده شده توسط کنترل کننده لغزشی تطبیقی

۴-۴ پارامترهای شبیه سازی

در این قسمت پارامترهای مربوط به کنترل کننده ها و کوادروتور در محیط شبیه سازی در سه جدول زیر نشان داده شده است.

جدول (۱-۴) پارامترهای بکار رفته در خطی ساز پسخورد

مقدار	ضریب کنترلر
4	$k_{p\varphi}$
4.5	$k_{d\varphi}$
4	$k_{p\theta}$
4.5	$k_{d\theta}$
5	$k_{p\psi}$
6	$k_{d\psi}$
5	k_{px}
5	k_{dx}
5	k_{py}
5	k_{dy}
5	k_{pz}
5	k_{dz}

جدول (۴-۲) پارامترهای بکار رفته در کنترل کننده لغزشی تطبیقی

ضریب کنترلر	مقدار
k_{d1}	0.3
k_{d2}	0.3
k_{d3}	0.3
k_{d4}	0.8
k_{d5}	0.8
k_{d6}	0.8
λ_{φ}	5
λ_{θ}	5
λ_{ψ}	5
λ_x	2.5
λ_y	2.5
λ_z	3.5
ϵ_t	0.2
ϵ_r	0.2
σ_t	0.1
σ_r	0.1
σ_m	0.05
γ_t	0.6
γ_r	0.6
γ_m	0.1

جدول (۳-۴) پارامترهای مربوط به شبیه سازی کوادرتور

نماد	واحد	مقدار
m	kg	0.65
l	$meter$	0.24
I_x	$Kg.m^2$	8.5×10^{-3}
I_y	$Kg.m^2$	8.5×10^{-3}
I_z	$Kg.m^2$	14.2×10^{-3}
I_r	$Kg.m^2$	104×10^{-6}
k_{r1}	$N/rad/s$	0.18
k_{r2}	$N/rad/s$	0.15
k_{r3}	$N/rad/s$	0.26
k_{t1}	$N/m/s$	0.25
k_{t2}	$N/m/s$	0.18
k_{t3}	$N/m/s$	0.19
K_f	$N.m/rad/s$	54.2×10^{-6}
K_m	$N.m/rad/s$	1.1×10^{-6}

نتیجه‌گیری و پیشنهادات :

در این پژوهش با ترکیب دو روش مد لغزشی و تطبیقی کنترل‌کننده مقاومی جهت پایداری و ردگیری مسیر مرجع توسط یک کوادروتور در حضور اغتشاش باد، دینامیک مدل نشده و نامعینی پارامتری طراحی شد. کنترل‌کننده لغزشی تطبیقی پیشنهاد شده در زمان اعمال اغتشاش و همین‌طور عدم اطلاع کامل از ساختار اثرات آیرودینامیکی و سایر عدم قطعیتها به خوبی مقدار مورد نیاز جهت غلبه بر تغییرات ناخواسته را همراه با کاهش لرزش سیگنال کنترل تخمین زده و در قانون کنترل قرار داده تا تعادل کوادروتور حفظ شده و از مسیر تعیین شده منحرف نشود.

همانطور که در فصل مربوط به شبیه‌سازی نشان داده شد، در صورت عدم استفاده از یک کنترل‌کننده مقاوم در حضور اغتشاش باد و سایر عوامل نامطلوب، ردگیری زوایای مطلوب اوایل به درستی صورت نمی‌گیرد هر چند موجب ناپایداری سیستم در محیط شبیه‌سازی نمی‌شود اما در عمل قطعا باعث سقوط کوادروتور و در بهترین حالت موجب ردگیری ناموفق همراه با خطای قابل توجه می‌شود.

در این تحقیق زاویه جهت یا همان چرخش حول محور عمودی صفر در نظر گرفته شده است، به عنوان یک پیشنهاد برای کارهای آینده می‌شود حرکت انتقالی کوادروتور را با تنظیم زاویه جهت انجام داد. همچنین استفاده از روش‌های نیرومندی مانند فازی نوع دو و ترکیب آن با روش تطبیقی جهت غلبه بر عدم قطعیت‌های پارامتری و غیرپارامتری می‌توان مد نظر قرار داد.

به جهت نزدیک شدن به جواب‌های واقعی‌تر می‌توان از مدل‌هایی که به طور خاص به عنوان اغتشاش باد معروف هستند استفاده کرد. همچنین علاوه بر اعمال اغتشاش بر دینامیک کوادروتور از تاثیر آن بر روی سیستم عملگرها هم استفاده کرد.

- [1] Suicmez E. C., (2012), Msc Thesis, "Trajectory Tracking of A quadrotor Unmanned Aerial Vehicle Via Attitude And Position Control" , The Graduate School Of Natural And Applied Science Middle East Technical.
- [2] ElKholy H ., (2011), Msc Thesis, "Dynamic Modeling and Control of a Quadrotor Using Linear and Nonlinear Approaches", Department of Automatic ControlLund University.
- [3] <http://krossblade.com/history-of-quadcopters-and-multirotors/>
- [4] Altug E., Ostrowski J. P. and Mahony R., (2003) "Control of a Quadrotor Helicopter Using Visual Feedback", Proceedings of the IEEE, International Conference on Robotics and Automation, WashingtonDC, USA.
- [5] Castillo P., Lozano R. and Dzul A., (2004) "Real-time Stabilization and Tracking of a Four-Rotor Mini Rotorcraft", *Journal of IEEE Transactions on Control systems Technology*, 12, 4, pp 510.
- [6] Bouabdallah S., Noth A. and Siegwart R., (2004),"PID vs LQ control techniques applied to an indoor micro quadrotor", *In Intelligent Robots and Systems*, 10, 5, pp 2451.
- [7] Li J. and Li Y., (2011) "Dynamic analysis and PID control for a quadrotor", *In Mechatronics and Automation (ICMA)*, 2011 IEEE International Conference on Mechatronics and Automation, P 573, Beijing, China.
- [8] De Lellis Costa M., (2011), Phd Thesis, "Modeling, Identification and Control of a Quadrotor Aircraft" , Czech Technical University in Prague.
- [9] Efe M.O., (2011) "Neural network assisted computationally simple pid control of a quadrotor UAV", *Journal of IEEE Transactions on Industrial Informatics*, 7 , 2, pp 354.
- [10] Mian A. A . and Wang D., (2008) "Dynamic Modeling and nonlinear control strategy for an under-actuated quadrotor rotorcraft", *Journal of Zhejiang University SCIENCE*, 9, 4, pp 539.
- [11] Kendoul F., Yu Z. and Nonami K., (2010) "Guidance and nonlinear control system for autonomous flight of minirotorcraft unmanned aerial vehicles", *Journal of Field Robotics*, 27,3, pp 334.

- [12] Hee D., Jin Kim H. and Sastry S., (2009) "Feedback Linearization vs. Adaptive Sliding Mode Control for a Quadrotor Helicopter", *International Journal of Control Automation and Systems*, pp 419.
- [13] Madani T. and Menallegue A., (2006) "Backstepping Control for a Quadrotor Helicopter", Proceedings of the IEEE/RSJ International Conference on Intelligent Robots and System, P 3255, Beijing, China.
- [14] Nagaty A., Saeedi S., Thibault C., Seto M., and Li H., (2013) "Control and navigation framework for quadrotor helicopters", *Journal of Intelligent and Robotic Systems*, 70, 1, pp 1.
- [15] Zheng F. and Weinan G., (2012) "Adaptive backstepping control of an indoor microquadrotor", *Research Journal of Applied Sciences*, 4, 21, pp 4216.
- [16] Mohd Basri M. A., Husain A. R. and Danapalasingam K. A., (2014) "Enhanced Backstepping Controller Design with Application to Autonomous Quadrotor Unmanned Aerial Vehicle", *J Intell Robot Syst*, 79, 2, pp 295.
- [17] Bouabdallah S. and Siegwart R., (2005) "Backstepping and sliding-mode techniques applied to an indoor micro quadrotor", Proceedings of the 2005 IEEE International Conference on Robotics and Automation, P 2247, Barcelona, Spain.
- [18] Fresk E. and Nikolakopoulos G., (2013) " Full Quaternion Based Attitude Control for a Quadrotor ", European Control Conference(ECC), P 3864, Zurich, Switzerland.
- [19] Emran J.B. and Yesildirek A., (2005) "Nonlinear Composite Adaptive Control of Quadrotor", *International Journal of Digital Information and Wireless Communications*, 4, 2, pp 213.
- [20] Mohammadi M. and Mohammad shari A., (2013) "Decentralized adaptive stabilization control for a quadrotor UAV", First RSI/ISM International Conference on Robotics and Mechatronics (ICRoM), P 288, Tehran. Iran.
- [21] Islam S., Liu P.X . and El saddik A., (2014) "Nonlinear Adaptive Control For Quadrotor flying Vehicle", *International Journal of Nonlinear Dynamics and Chaos in Engineering Systems*, 78, 1, pp 113.
- [22] Das A., Lewis F. L. and Subbarao K., (2011) "Sliding Mode Approach to Control Quadrotor Using Dynamic Inversion", *Challenges and Paradigms in Applied Robust Control*, pp 552.

- [23] Xu R. and Ozguner u., (2006) "Sliding Mode Control of a Quadrotor Helicopter", Proceedings of the 45th IEEE Conference on Decision and Control, P 4957, San Diego, CA, USA.
- [24] Zheng E.H., Xiong J.J. and Luo J.L., (2014) "Second order sliding mode control for a quadrotor UAV", *ISA Transaction*, 53, 4, pp1350.
- [25] Mirzaie M., Shabani Nia F. and Mohammadi H., (2011) "Applying Adaptive Fuzzy Sliding Mode Control to an Underactuated System", 2nd International Conference on Control, Instrumentation and Automation, P 654, Shiraz, Iran.
- [26] Bouhali O. and Boudjedir H., (2011) "Neural Network Control with Neuro-Sliding mode Observer Applied to Quadrotor Helicopter", International Symposium on Innovations in Intelligent Systems and Applications (INISTA), P 24, Istanbul, Turkey.
- [27] Rinaldi F., Chiesa S. and Quagliotti F., (2013) "Linear Quadratic Control for Quadrotors UAVs Dynamics and Formation Flight", *Journal of Intelligent & Robotic Systems*, 70,1, pp 203.
- [28] Raffo G.V., Ortega M.G. and Rubio F.R., (2008), "Backstepping/nonlinear H_{∞} control for path tracking of a quadrotor unmanned aerial vehicle", American Control Conference, P 3356, Seattle, Washington DC, USA.
- [29] Borji S.M., Kalhor A. and Atashgah M., (2016) "Robust Nonlinear Hand MPC Control for Path Tracking of a Quadrotor through Estimation of System Parameters", *Madares Mechanical Engineering*, 16, 7, pp 32.
- [30] Ireland M. L., (2014), Phd Thesis, "Investigations in Multi-Resolution Modelling of the Quadrotor Micro Air Vehicle", College of Science and Engineering University of Glasgow.
- [31] Bresciani T., (2008), Msc Thesis, "Modelling ,Identification and Control of a Quadrotor Helicopter", Department of Automatic Control Lund University.
- [32] Zuo Z., (2009) "Trajectory tracking control design with,command-filtered compensation for a,quadrotor", *IET Control Theory & Applications*, 4, 11, pp 2343.
- [33] Ioannou P. and Sun J., (1996) "*Robust Adaptive Control*", Prentice-Hall.

Abstract

In this thesis, an unmanned quad_rotor modeling with using Newton Euler method and a robust adaptive tracking control system is designed for it. Quad_rotor is a device with six degrees of freedom and four actuator and placed in category of under_actuated systems. The suggested controller in this thesis consists of two inner and outer control loops. Inner loop controls the Euler angles and outer loop is for controlling the quadrotor position and translational motion, and calculating the desired angles for trajectory tracking. First of all with using feedback linearization methode design a controller for inner and outer loop, since the model is nonlinear and consist disturbance is required to design a robust control system for stabilization and tracking the desired path. This system must be capable of retaining the quadrotor balance in the presence of the disturbance, undesired aerodynamical forces and Measurement error of constant parameters. In this thesis by utilizing the adaptive sliding mode, a controller has been designed in which there is no need for the uncertainty range to be given and its upper bound is estimated as a scalar number. In order to prevent diverging adaptive parameters, the sigma-modification is used in adaption laws and also, to achieve suitable performance in various load, the total mass is estimated adaptively. The control design is based on the Lyapunov theory and the robust stability of system in the presence of the disturbance have been shown.

Keywords :Sliding mode control, Adaptation rule, Quadrotor, Euler Angel



Shahrood University of Technology

Faculty of Electrical & Robotic Engineering

MSc Thesis in Electrical Engineering of Control

Adaptive sliding mode for a quadrotor with unknown mass of cargo in presence of wind turbulence

By: Ali Mottahedi

Supervisor:

Dr Ali Akbarzade kalat

September 2016